

Neutrinooszillationen

Schule für Astroteilchenphysik, Obertrubach-Bärnfels, 6.10.-15.10. 2004

Christian Weinheimer

Institut für Kernphysik,

Westfälische Wilhelms-Universität Münster, 48149 Münster

Email: weinheimer@iskp.uni-bonn.de



Einführung

Lösung der atmosphärischen Neutrinoanomalie:
Neutrinooszillation

Bestätigung mit Beschleunigernerutrinos

Lösung des solaren Neutrinorätsel

Bestätigung mit Reaktorneutrinos

Offene Fragen für die Zukunft / zukünftige Exp.

Zusammenfassung

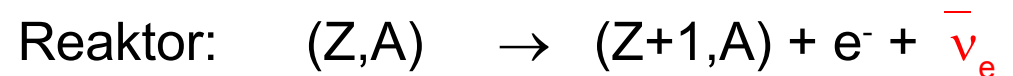
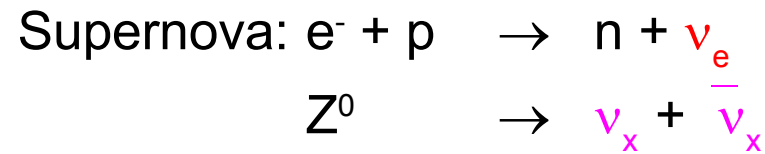
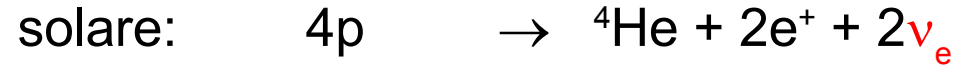
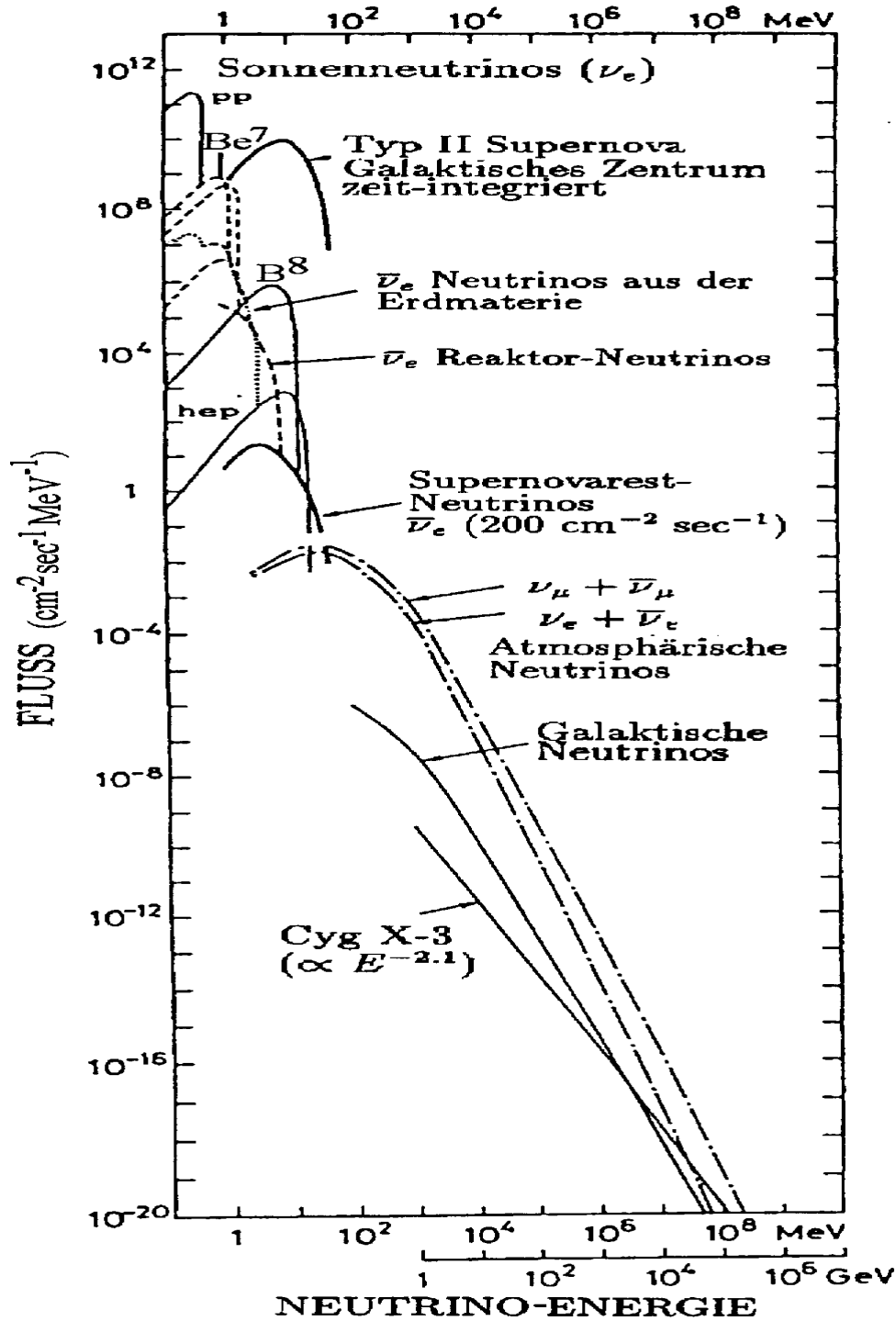


Meilensteine der Neutrinophysik

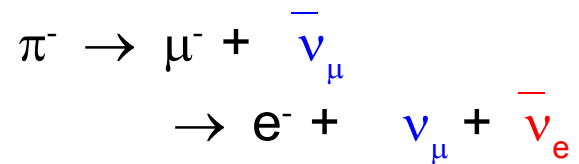
1930	Pauli	Neutrino postuliert	
1956	Cowan & Reines	exp. Nachweis des Elektronantineutrinos	
1957/58	Wu, Goldhaber	Verletzung der Parität, Linkshändigkeit des ν	
1962	Lederman, Schwarz, Steinberger	Entdeckung des Myonneutrinos	ν -Beschleunigerphysik ↓
seit 1970	Davis, Nobelpreis 2002	Solares Neutrinodefizit	solare ν -Physik ↓
1987	Kamiokande Nobelpreis 2002	Nachweis von Neutrinos von SN1987a	ν -Astrophysik ↓
1989	LEP-Experimente	aus Z^0 -Breite: 3 Neutrinos	
1998	Super-Kamiokande	Nachweis der Oszillation atmosph. ν	$m(\nu) \neq 0$ ↓
2000	Donut	Nachweis des Tauneutrinos	
2001,2002	SNO + Super-Kam., Gallex,...	Evidenz für Oszillation solarer Neutrinos	
2002	KamLAND	Bestätigung der solaren Neutrinososzillation (LMA Lösung)	

⇒ sehr aktives & wachsendes Forschungsgebiet der Kern-, Teilchen- und Astrophysik

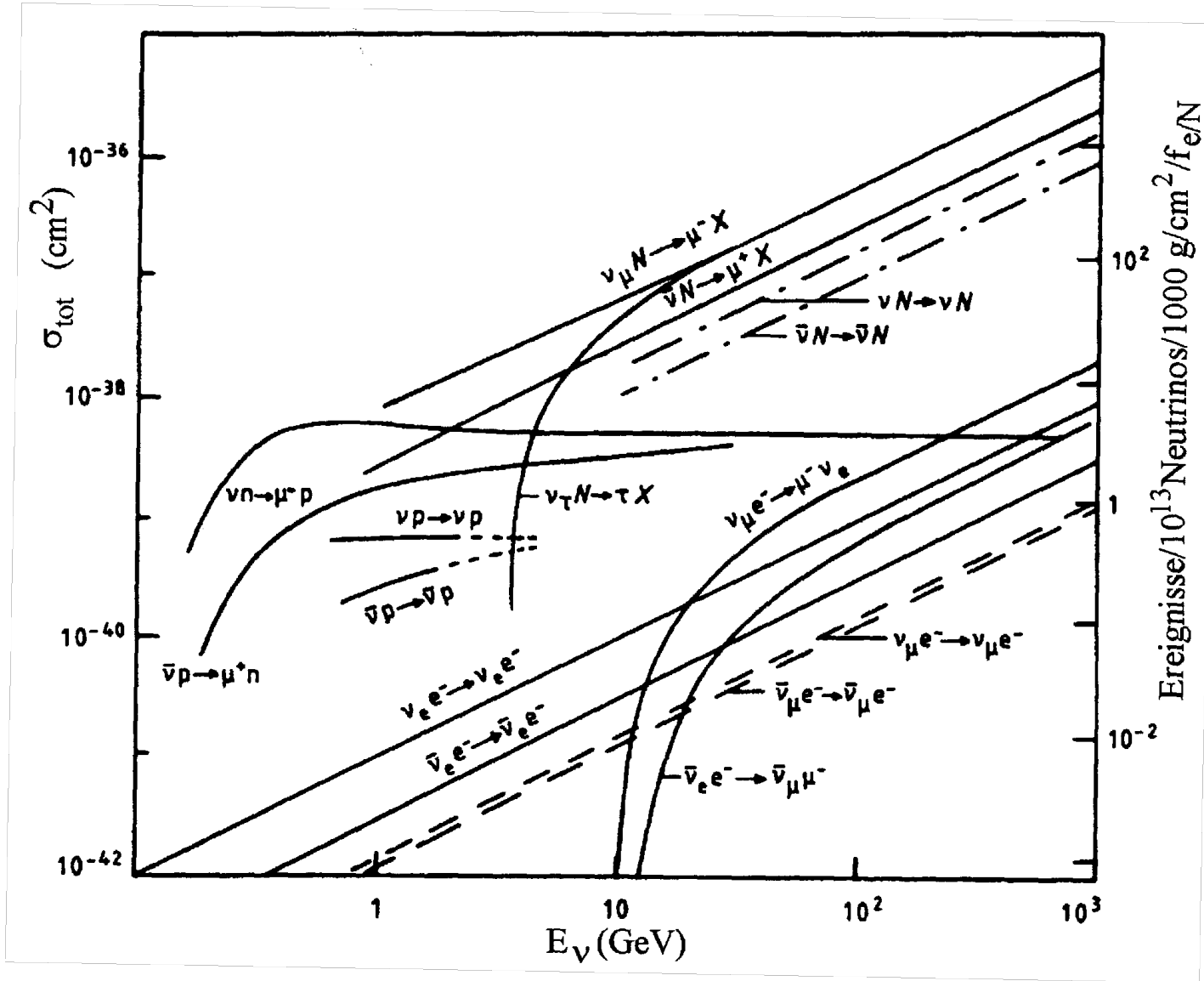
Neutrinoquellen und -spektren



Beschleuniger,
atmosphärisch:



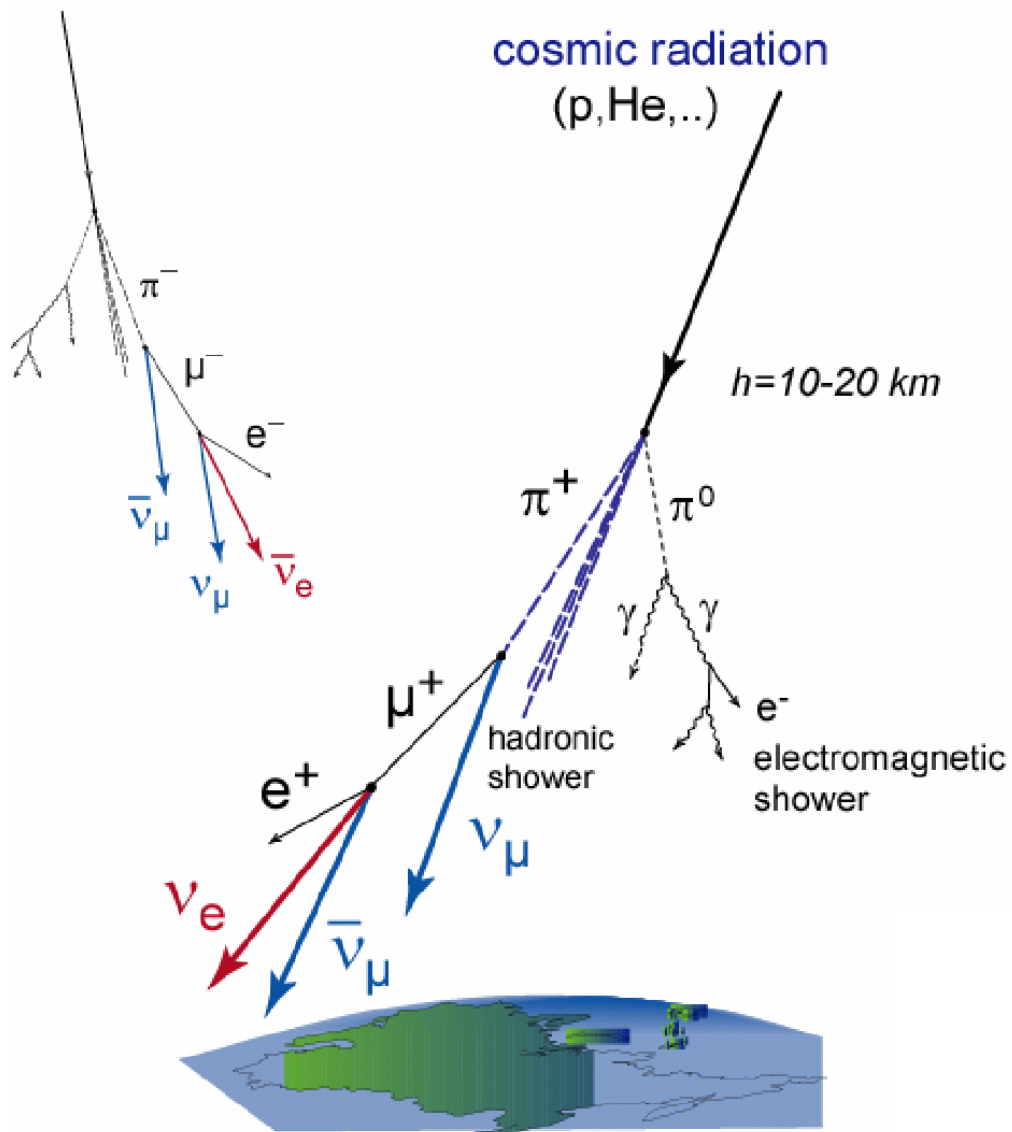
ν -Wirkungsquerschnitte



ν -Fermion-Wirkungsquerschnitte: $\sigma \propto s = m_f^2 + 2E_\nu m_f$, d.h. $s \propto E_\nu$

Neutrinooszillation: Erste klare Evidenz 1998

Atmosphärische Neutrinos



Wechselwirkung von kosmischer Strahlung (p, α , ..) in äußerer Atmosphäre:

$\Rightarrow \pi^\pm, K^\pm, \dots$

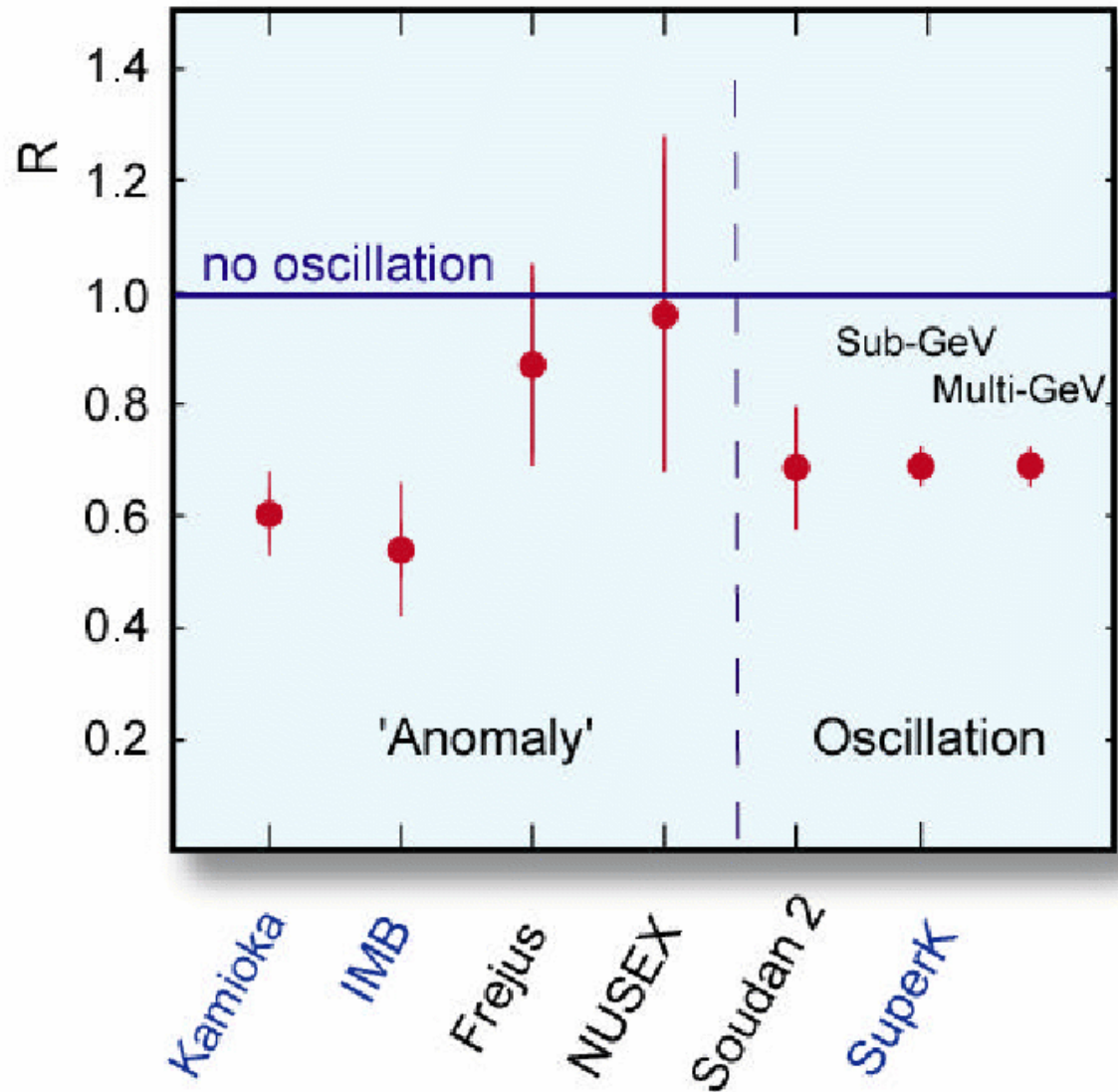
$$\begin{aligned} \pi^+ &\rightarrow \mu^+ + \nu_\mu \\ &\rightarrow e^+ + \bar{\nu}_\mu + \nu_e \end{aligned}$$

$$\begin{aligned} \pi^- &\rightarrow \mu^- + \bar{\nu}_\mu \\ &\rightarrow e^- + \nu_\mu + \bar{\nu}_e \end{aligned}$$

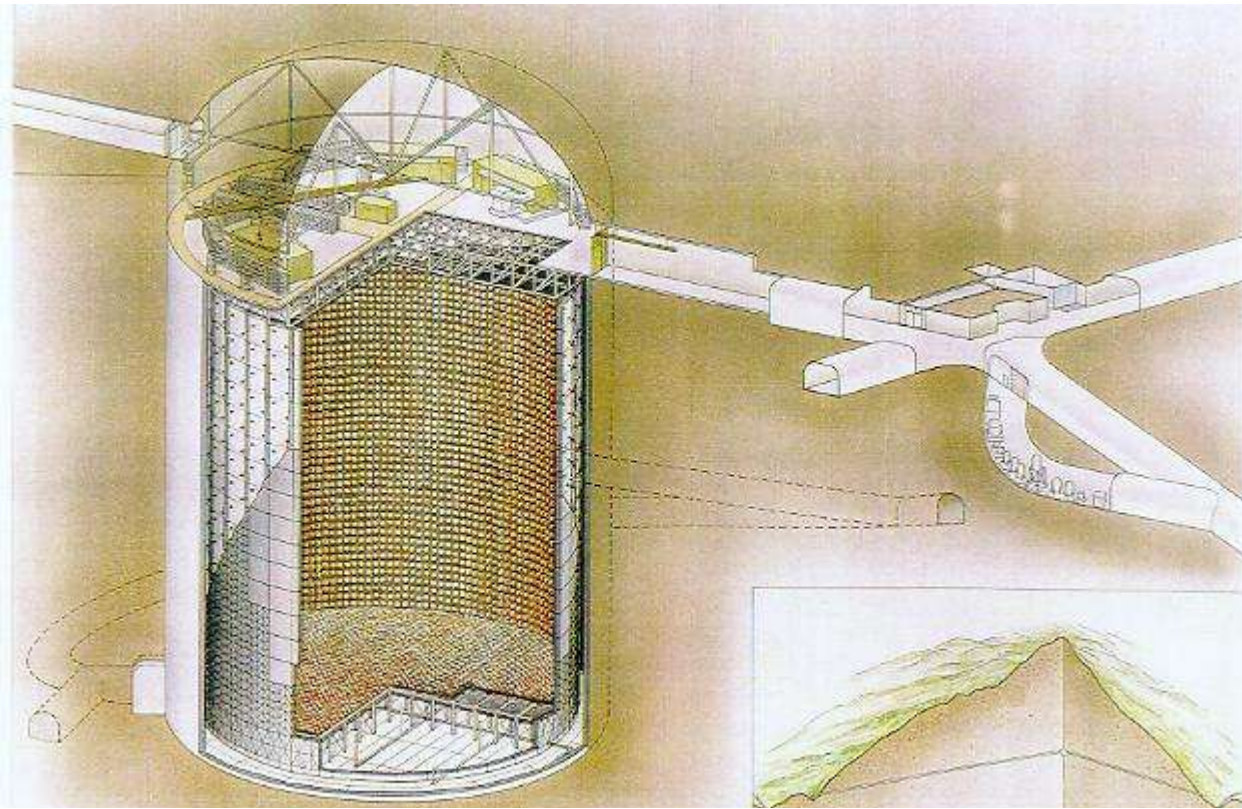
$$\Rightarrow \frac{\# \bar{\nu}_\mu^{(-)}}{\# \nu_e^{(-)}} \geq 2$$

Erster Hinweis: Verhältnis ν_{μ}/ν_e :

$$R = \frac{(\# \nu_{\mu}^{(-)} / \# \nu_e^{(-)})_{\text{exp}}}{(\# \nu_{\mu}^{(-)} / \# \nu_e^{(-)})_{\text{MC}}}$$



Super-Kamiokande



H₂O Cherenkov-Detektor

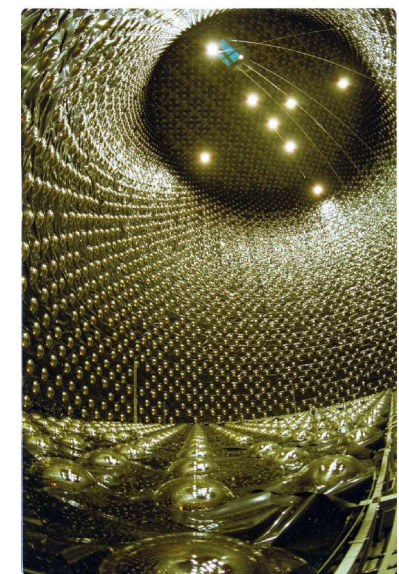
H₂O: 50 000 t

40 m hoch, 40 m Ø

11146 Photomultiplier

50 cm Ø

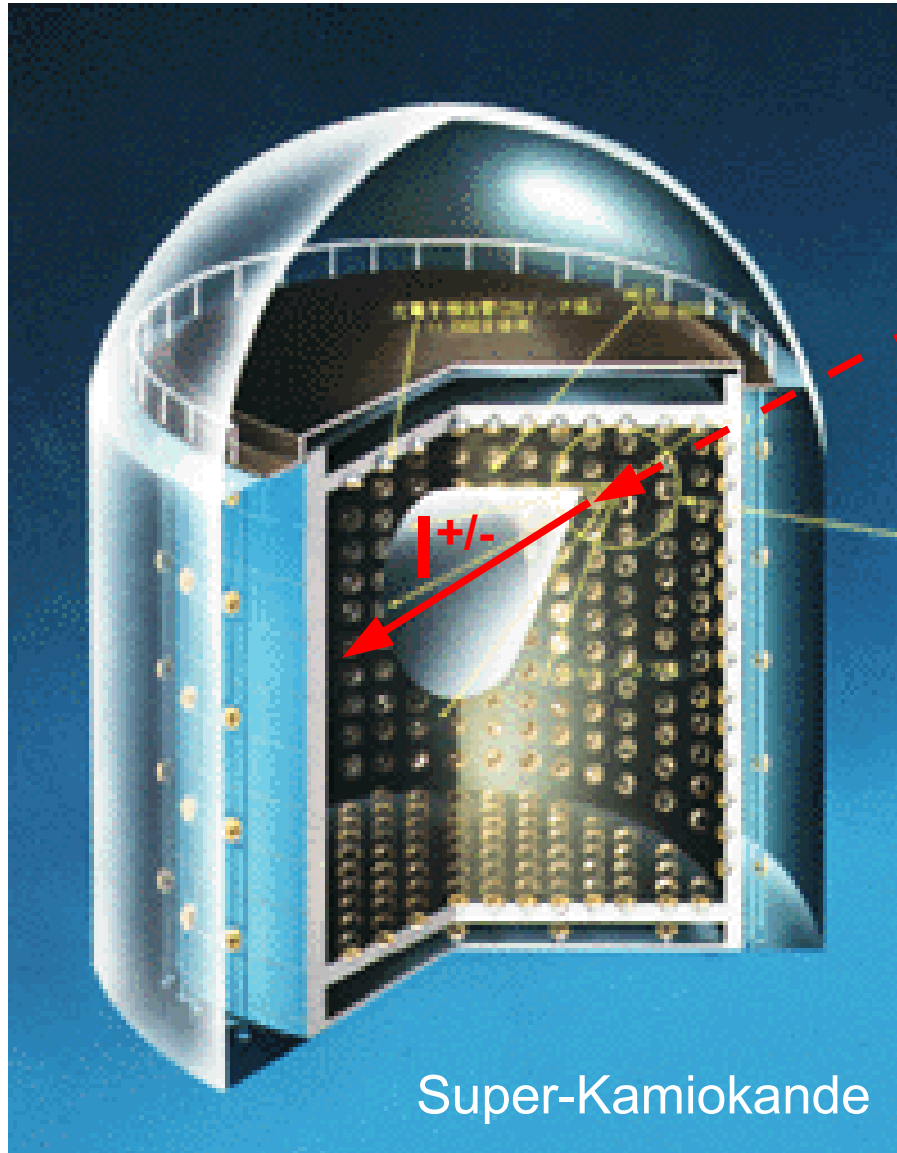
1 km tief in Kamioka Mine,
Japan



ab
Dez. 2002
SK II
5200 PMTs

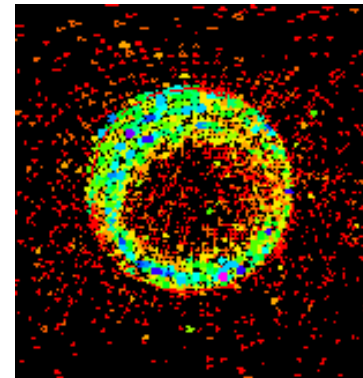


Atmosphärische Neutrinos in SK

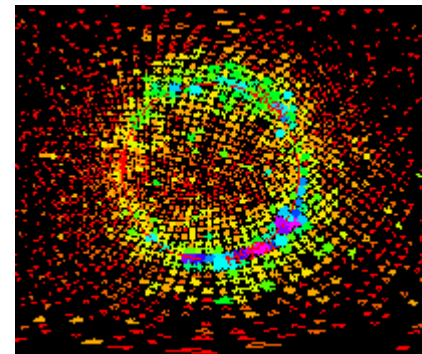


Cherenkov-Kegel:

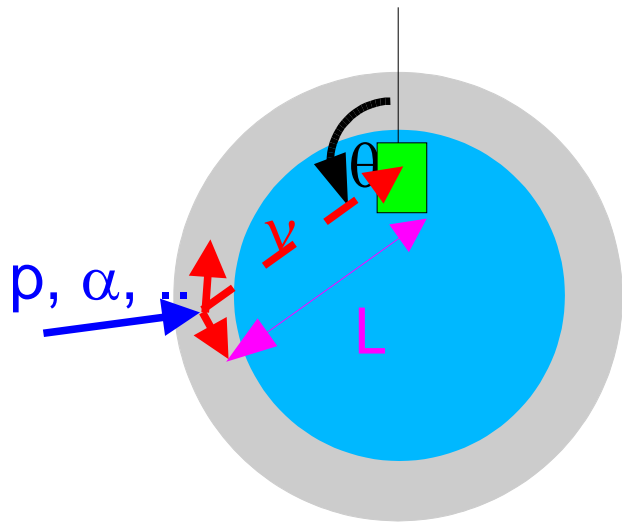
- Energie
 - Richtung
 - Elektron/Myon-Unterscheidung
- Myonen: scharfer Ring



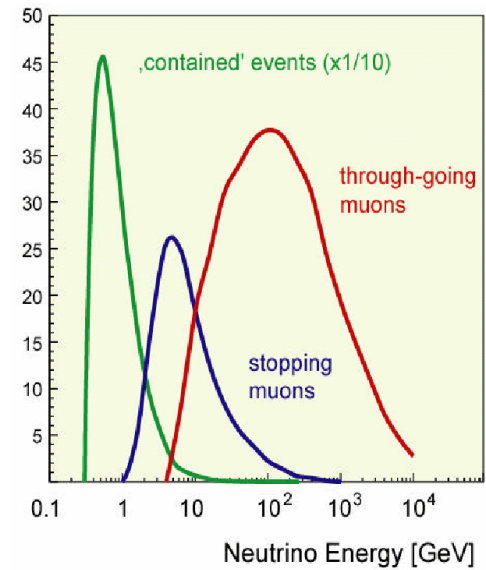
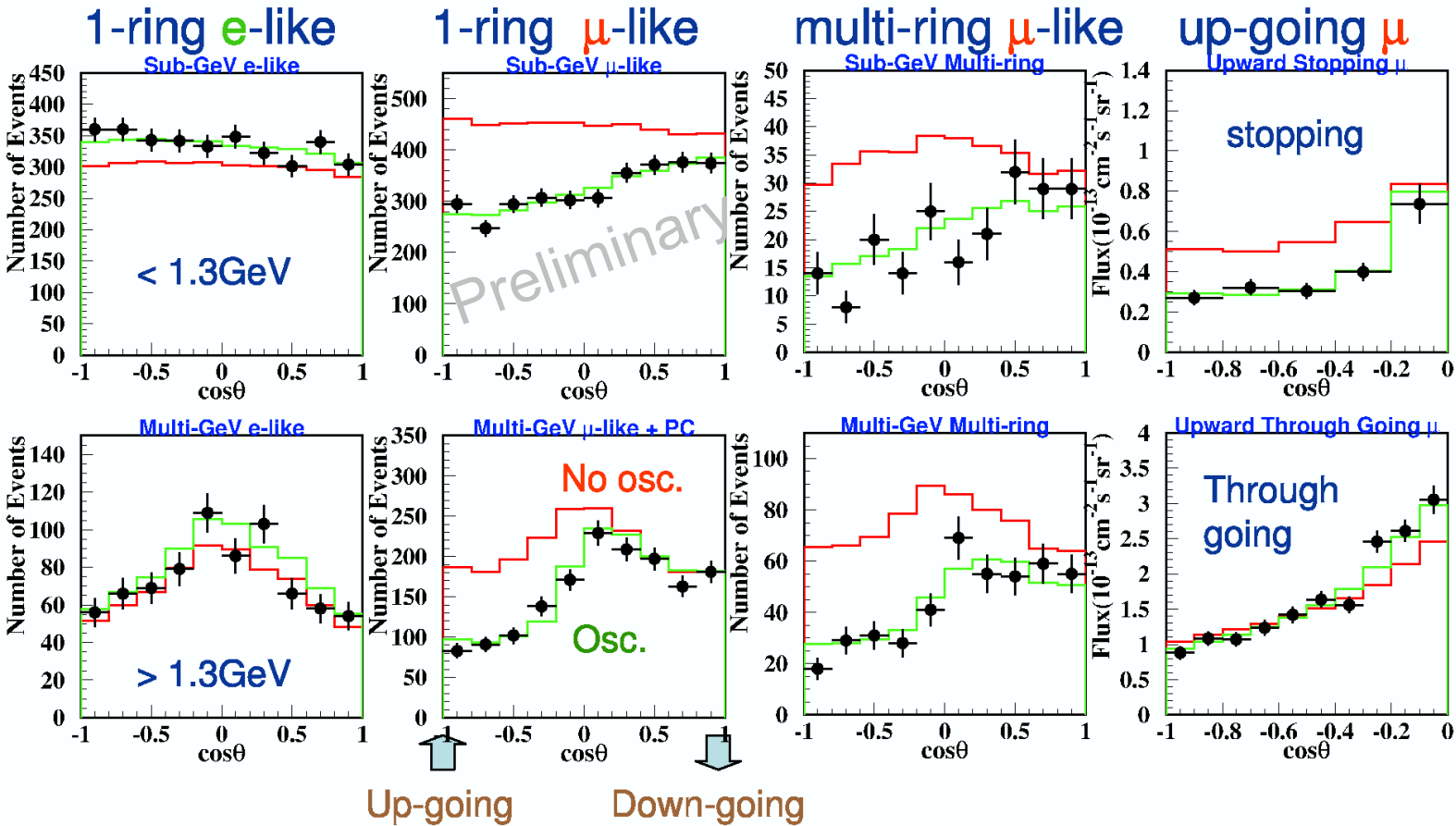
Elektronen: verwaschener Ring
(Vielfach-Streuung, EM-Schauer)



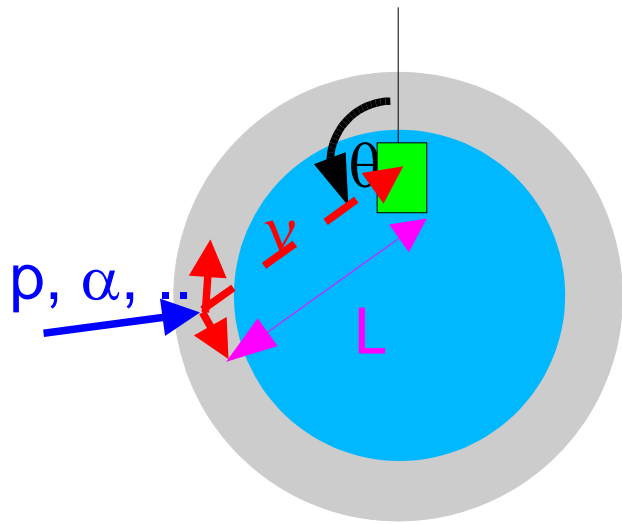
Winkelverteilung von ν_e und ν_μ bei SK



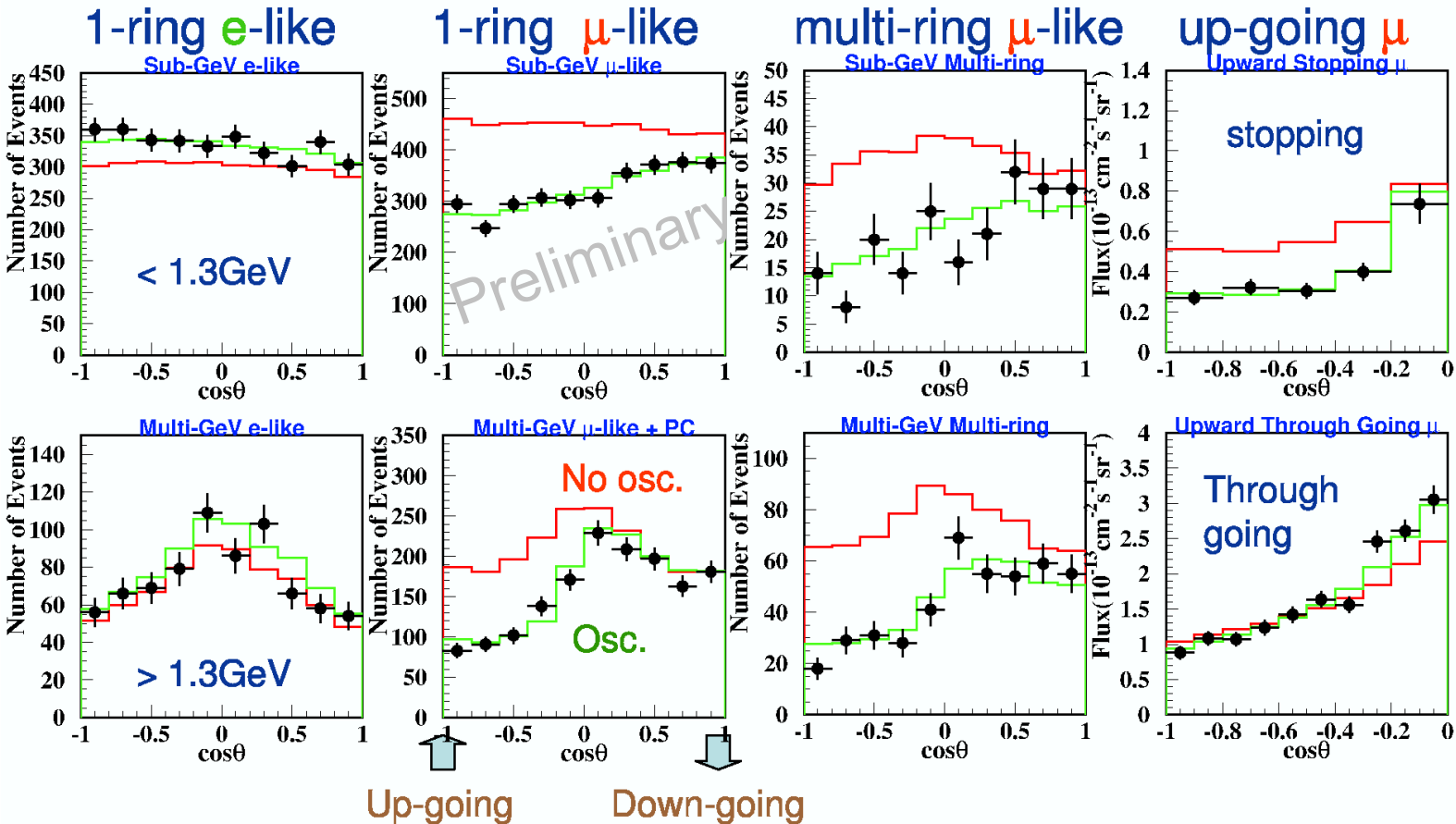
1489day FC+PC data + 1646day upward going muon data



Winkelverteilung von ν_e und ν_μ bei SK



1489day FC+PC data + 1646day upward going muon data



⇒ Klares, energieabh. Defizit von von unten kommenden Myonneutrinos
 Alle Datensätze und Analysen (FC, PC, up-going μ , NC enhanced): kompatibel mit $\nu_\mu \rightarrow \nu_\tau$ -Oszillation ($\Delta m^2 \approx 2 \times 10^{-3} \text{ eV}^2$, $\sin^2(2\theta) \approx 1$)

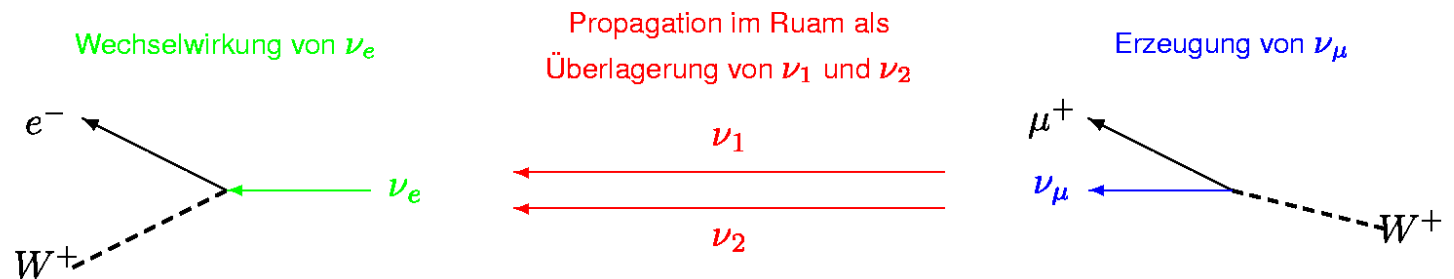
Neutrinooszillation im Vakuum

Annahmen: 1) **ν -Mischung:** $\nu_\alpha = U \nu_i$ ($\alpha = e, \mu, \tau$; $i = 1, 2, 3$, U nicht-trivial)

z.B. 2-Flavor-Mischung:
$$\begin{pmatrix} \nu_e \\ \nu_\mu \end{pmatrix} = \begin{pmatrix} \cos \theta & \sin \theta \\ -\sin \theta & \cos \theta \end{pmatrix} \cdot \begin{pmatrix} \nu_1 \\ \nu_2 \end{pmatrix}$$

2) $m_i := m(\nu_i)$ sind verschieden \Rightarrow **mind. ein $m(\nu_i) \neq 0$**

2 Flavour-Fall:



$$P(\nu_\mu \rightarrow \nu_e) = \left| \begin{pmatrix} 1 \\ 0 \end{pmatrix} \begin{pmatrix} \cos \theta & \sin \theta \\ -\sin \theta & \cos \theta \end{pmatrix} \underbrace{\begin{pmatrix} e^{-iE_1 t} & 0 \\ 0 & e^{-iE_2 t} \end{pmatrix}}_{\begin{pmatrix} e^{-i\sqrt{p^2+m_1^2}t} & 0 \\ 0 & e^{-i\sqrt{p^2+m_2^2}t} \end{pmatrix} = e^{-i(p+m_1^2/2p)t} \cdot \begin{pmatrix} 1 & 0 \\ 0 & e^{-i\frac{m_2^2-m_1^2}{2p}t} \end{pmatrix}} \begin{pmatrix} \cos \theta & -\sin \theta \\ \sin \theta & \cos \theta \end{pmatrix} \begin{pmatrix} 0 \\ 1 \end{pmatrix} \right|^2$$

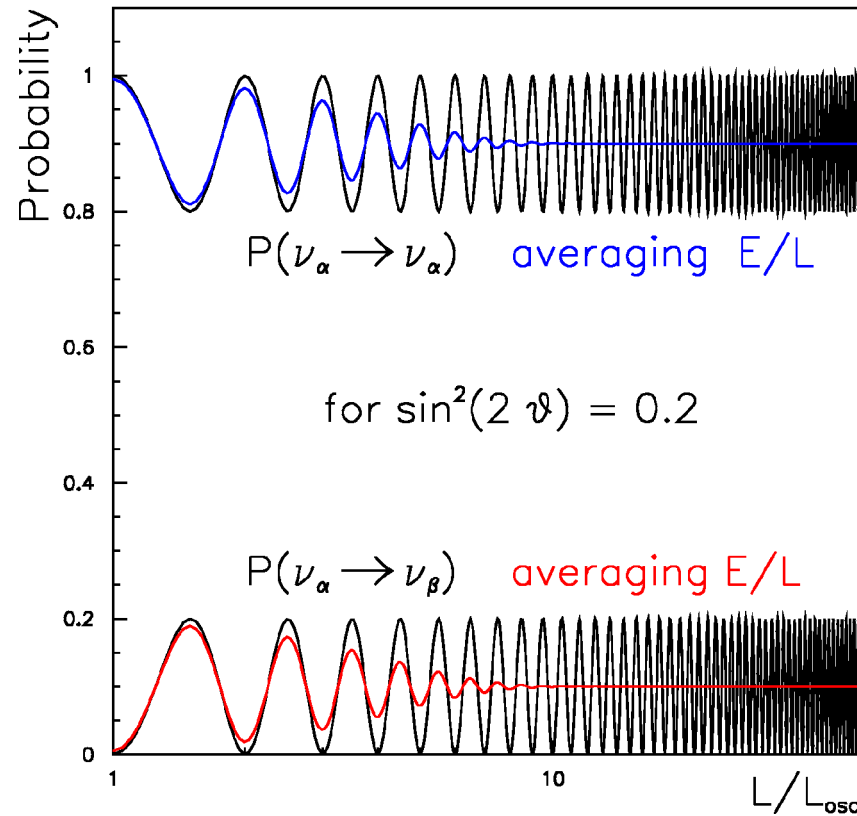
$$P(\nu_\mu \rightarrow \nu_e) = \sin^2(2\theta) \cdot \sin^2\left(\frac{\Delta m^2 \cdot L}{4E}\right) = \sin^2(2\theta) \cdot \sin^2\left(\frac{\pi L}{\lambda_{osz}}\right)$$

$$\text{mit } \lambda_{osz} = \frac{4\pi \cdot E}{\Delta m^2} = 2.5 \text{ km} \cdot \frac{E[\text{GeV}]}{\Delta m^2[\text{eV}^2]}$$

Neutrinooszillation

Oscillation Probability

2 Flavour-Fall:



3 Flavour-Mischung:

Generelle Oszillationsformel:

$$P(\nu_\alpha \rightarrow \nu_\beta) = \left| \sum_i U_{\beta i} \exp^{-i(E_i t)} U_{\alpha i}^* \right|^2$$

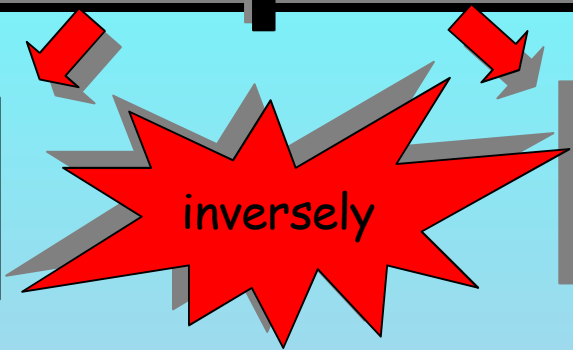
Two aspects of mixing

vacuum
 mixing
 angle

$$\nu_e = \cos\theta \nu_1 + \sin\theta \nu_2$$

$$\nu_\mu = -\sin\theta \nu_1 + \cos\theta \nu_2$$

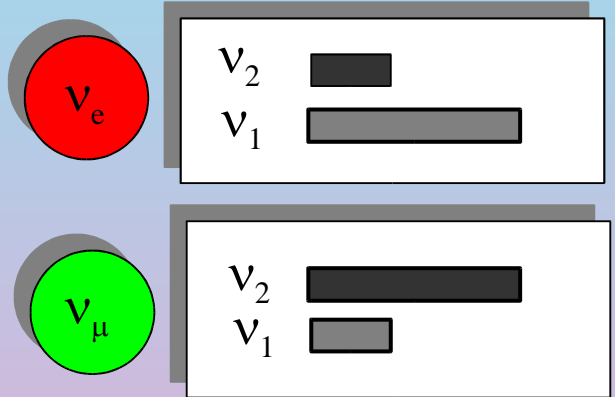
coherent mixtures
 of mass eigenstates



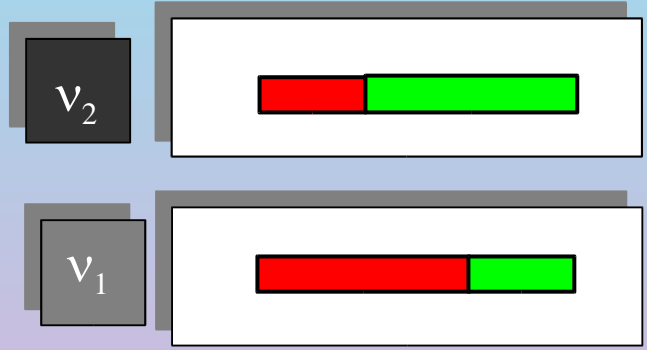
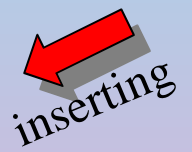
$$\nu_2 = \sin\theta \nu_e + \cos\theta \nu_\mu$$

$$\nu_1 = \cos\theta \nu_e - \sin\theta \nu_\mu$$

flavor composition of
 the mass eigenstates

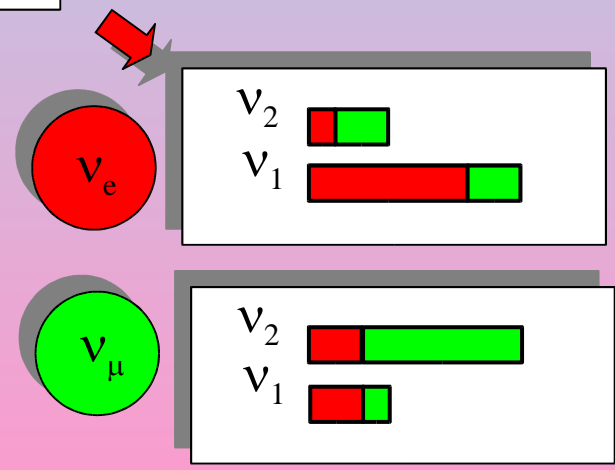


wave
 packets



Flavors of eigenstates

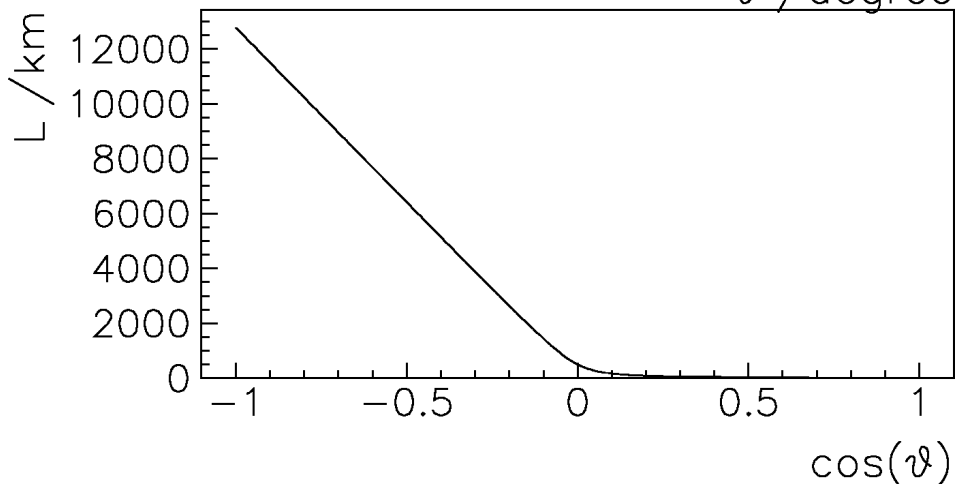
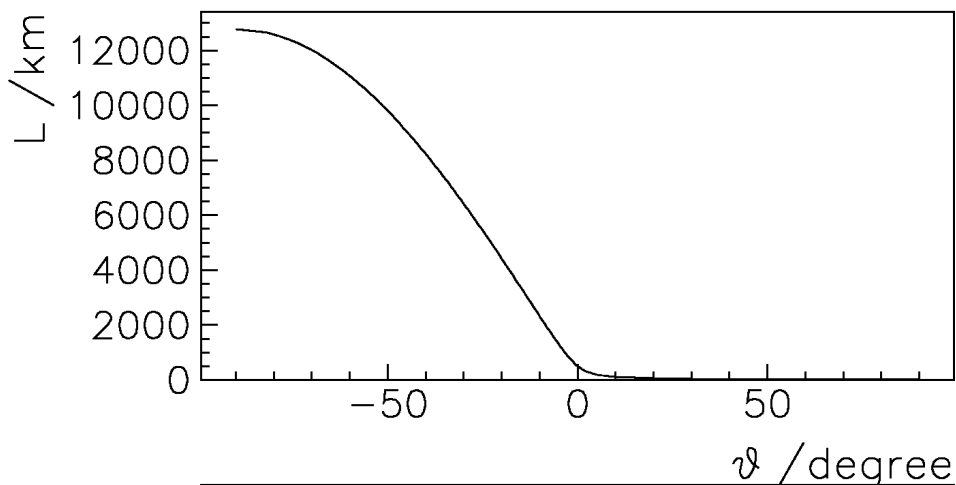
The relative phases
 of the mass states
 in ν_e and ν_μ
 are opposite



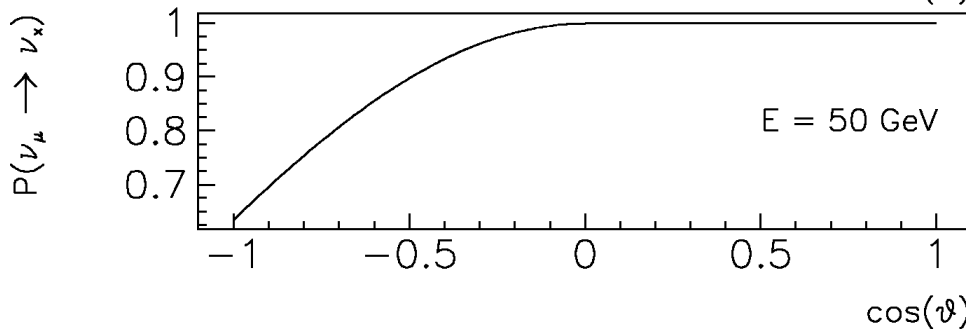
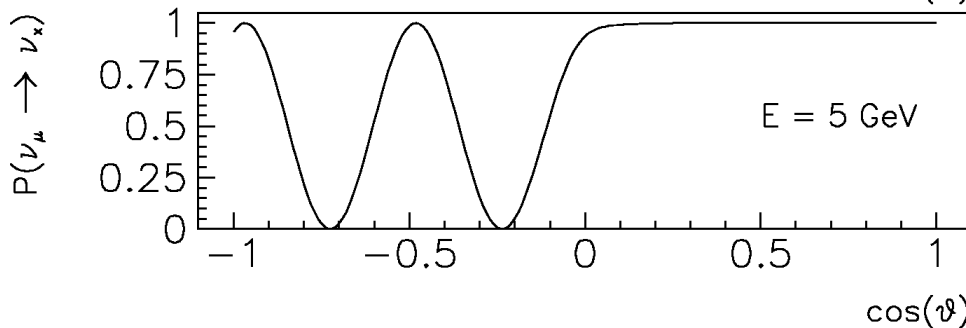
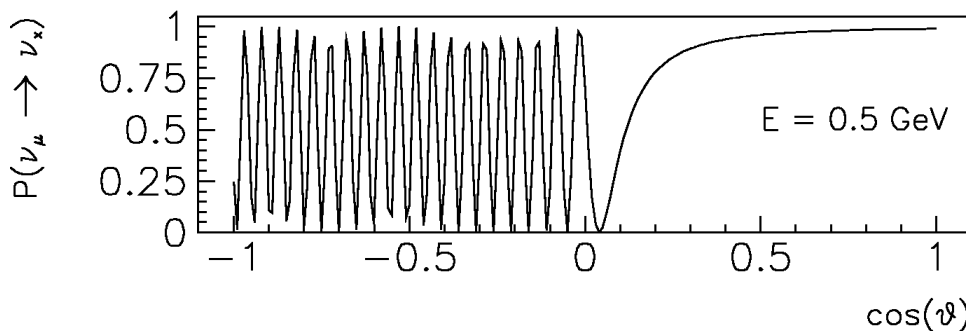
Interference of the parts of
 wave packets with the same
 flavor depends on the
 phase difference $\Delta\phi$
 between ν_1 and ν_2

Erwartung für SK-Daten

Propagation length of atmospheric neutrinos



$\sin^2(\vartheta) = 1$ and $\Delta m^2 = 0.002 \text{ eV}^2$



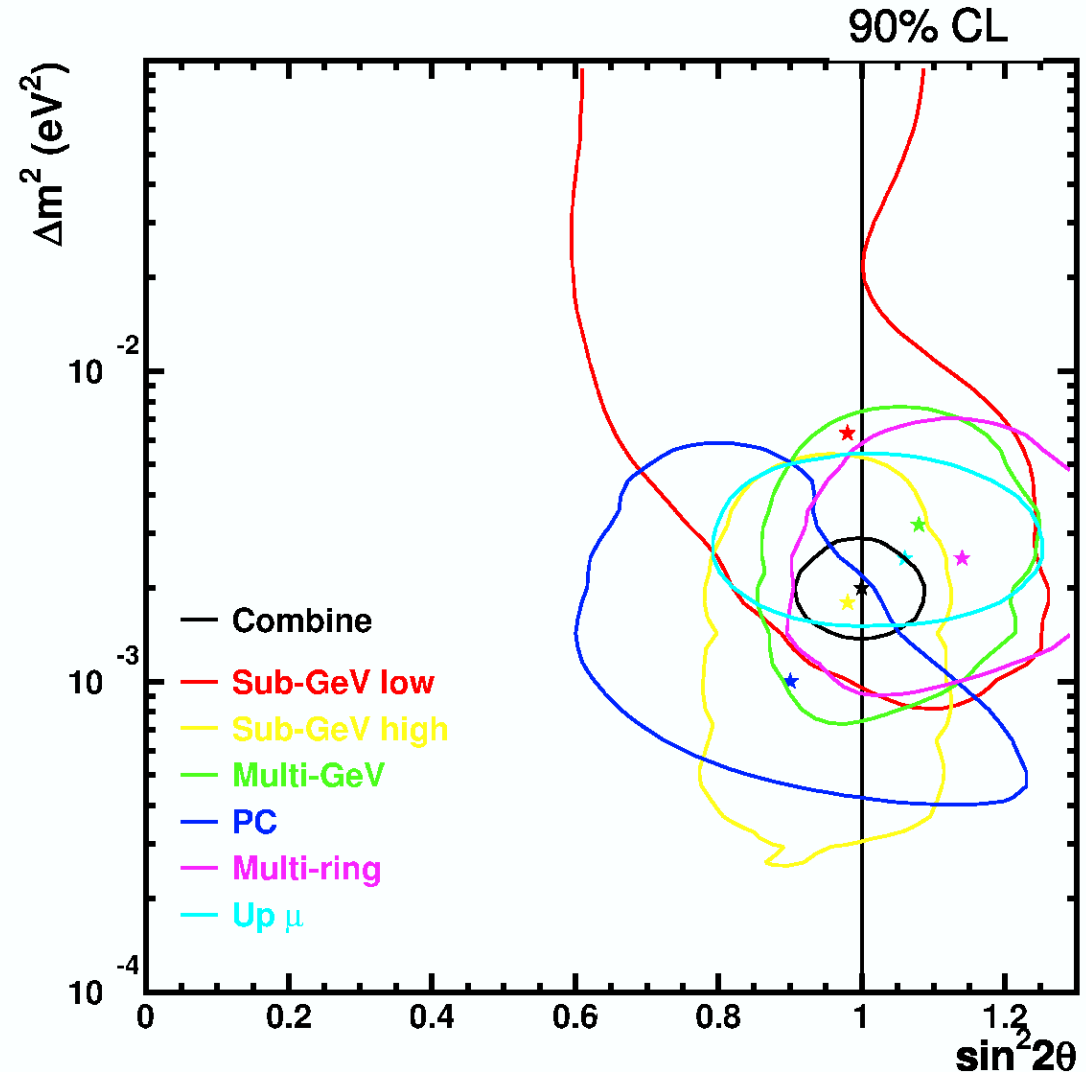
Analyse der atmosphärischen SK-Daten

Improvements

- ν flux
(1dimensional \rightarrow 3d.)
- ν interaction models
(based on K2K near data)
- Detector simulation
- Event reconstruction



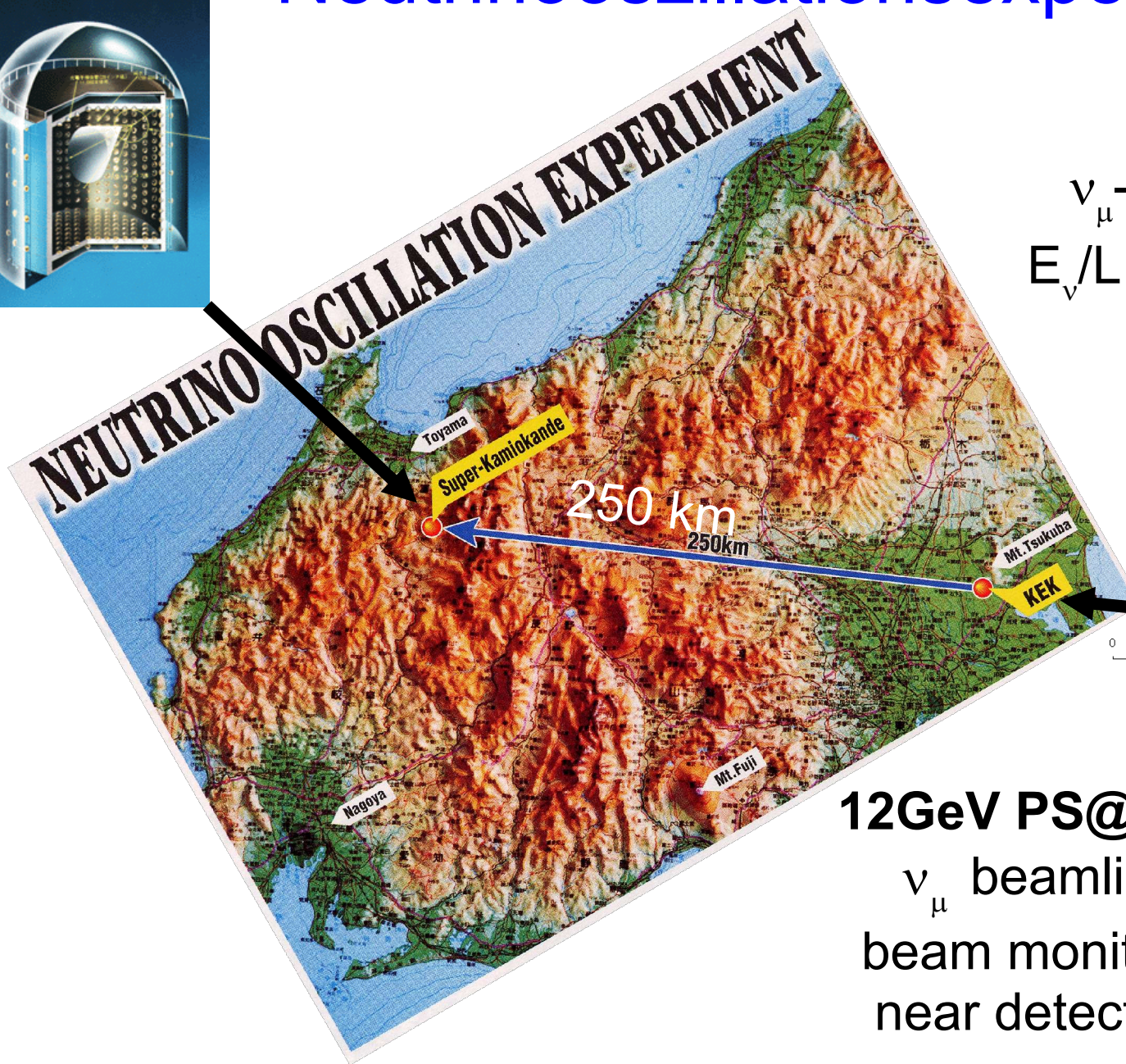
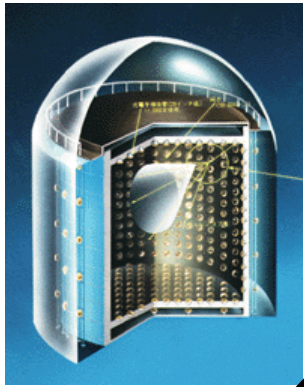
Each change contributes to the shift in the allowed (Δm^2) region.



Alle Datensätze und Analysen sind kompatibel mit

$\nu_\mu \rightarrow \nu_\tau$ -Oszillation: $\Delta m^2 \approx 2 \times 10^{-3} \text{ eV}^2$ und $\sin^2(2\theta) \approx 1$ (maximale Mischung)

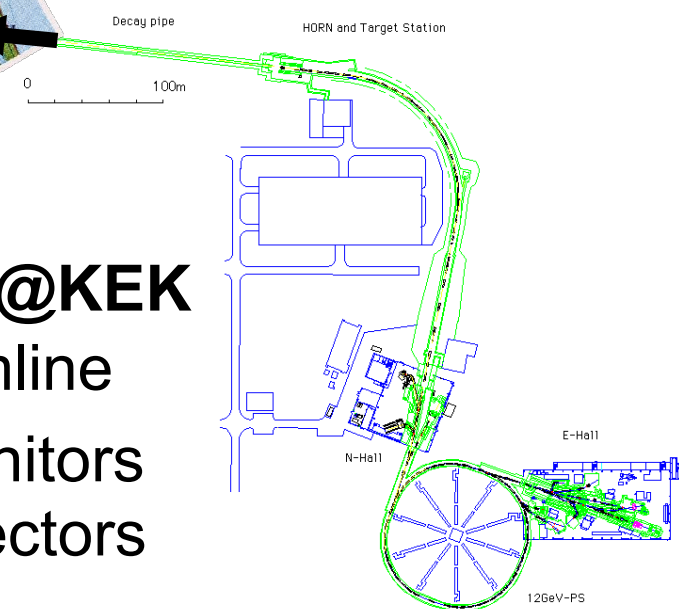
Überprüfung durch K2K „long baseline“ Neutrinooszillationsexperiment



Suche nach
 ν_{μ} -disappearance:
 $E_{\nu}/L = 1.3\text{GeV}/250\text{km}$

12GeV PS@KEK

ν_{μ} beamline
beam monitors
near detectors



K2K-Ergebnisse

K2K-I

von März 1999 ~ Juli 2001

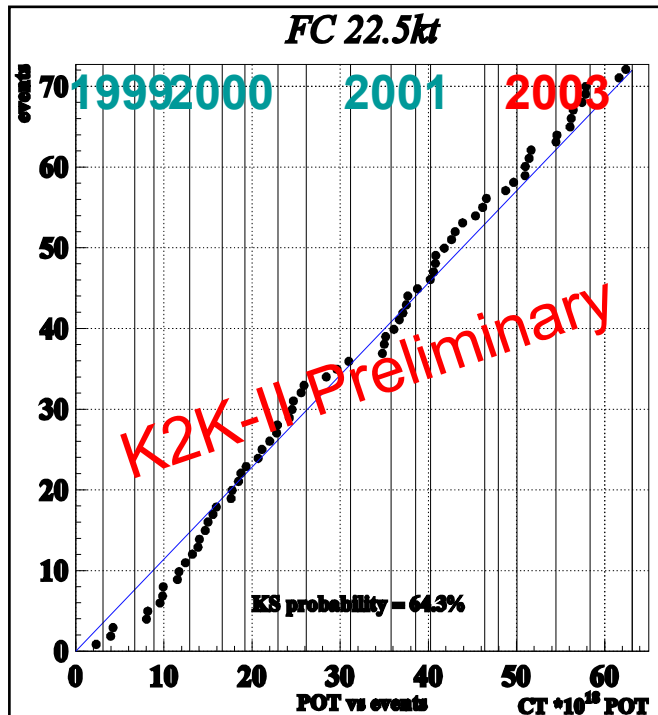
erwartete #: 80.1 +6.2-5.4

gemessen #: 56

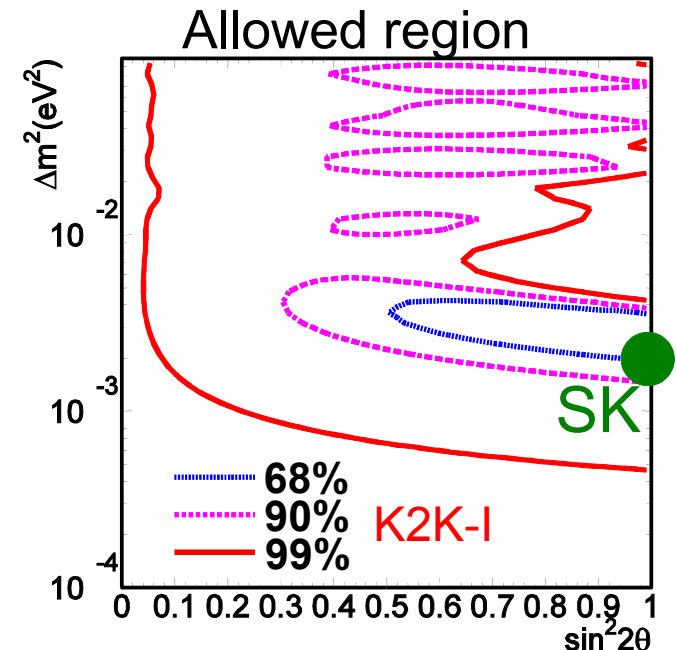
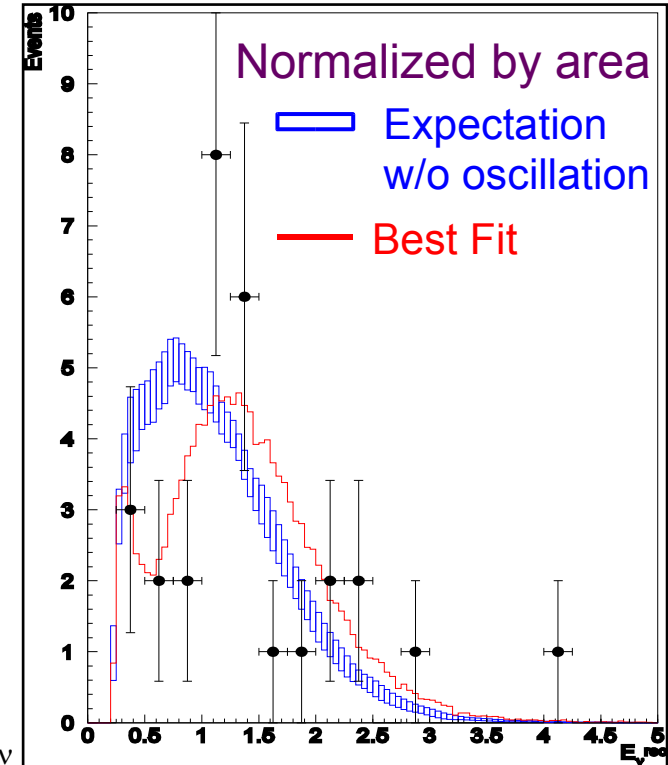
$\Delta m^2 = 1.5 \sim 3.9 \times 10^{-3} \text{ eV}^2$

@ $\sin^2 2\theta = 1$ (90%CL)

Nullhypothese: <1%



reconstructed E_ν



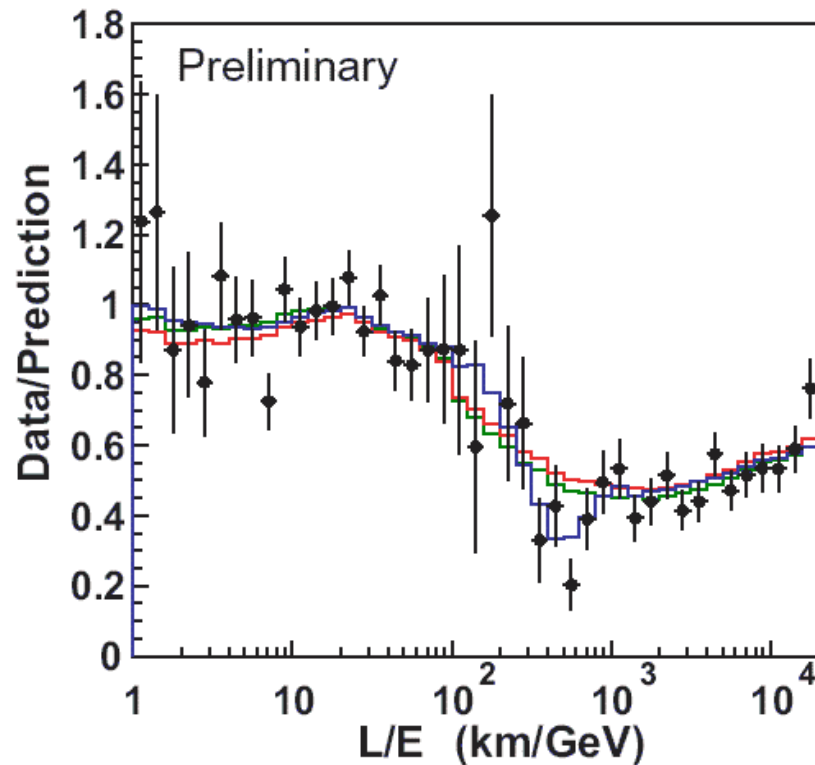
Atmosphärische Neutrinos: wirklich Neutrinooszillation ?

Neutrino oscillation : $P_{\mu\mu} = 1 - \sin^2 2\theta \sin^2(1.27 \frac{\Delta m^2 L}{E})$

Neutrino decay : $P_{\mu\mu} = (\cos^2 \theta + \sin^2 \theta \times \exp(-\frac{m}{2\tau} \frac{L}{E}))^2$

Neutrino decoherence : $P_{\mu\mu} = 1 - \frac{1}{2} \sin^2 2\theta \times (1 - \exp(-\gamma_0 \frac{L}{E}))$

— Oscillation	$\chi^2_{\min} = 37.8/40$ d.o.f
— Decay	$\chi^2_{\min} = 49.2/40$ d.o.f $\rightarrow \Delta\chi^2 = 11.4$
— Decoherence	$\chi^2_{\min} = 52.4/40$ d.o.f $\rightarrow \Delta\chi^2 = 14.6$

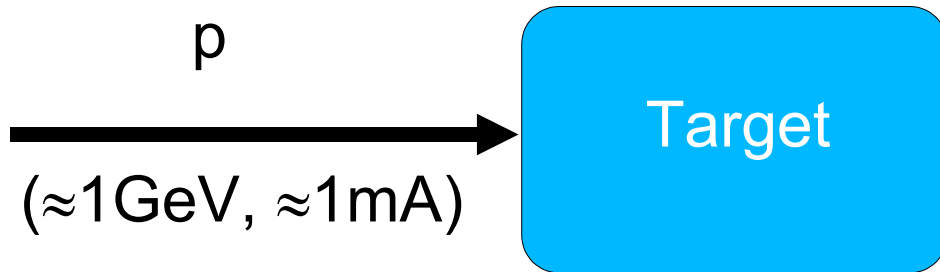


3.4 σ to ν decay

3.8 σ to ν decoherence

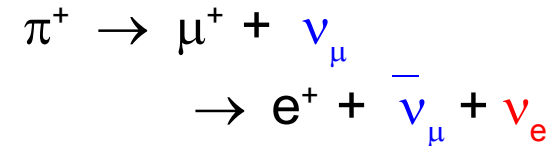
First dip observed in data cannot be explained by alternative hypotheses

$\bar{\nu}_\mu - \bar{\nu}_e$ Neutrinooszillationsexperimente an Beamstop- Quellen (ISIS/RAL, LAMPF/Los Alamos)

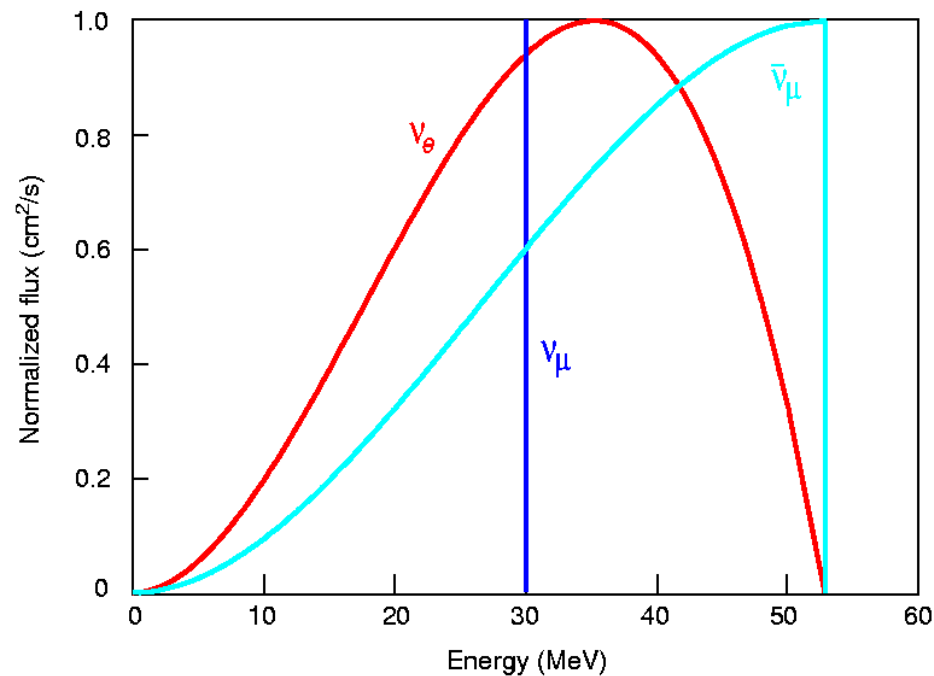


Protonen auf Target $\Rightarrow \pi^\pm$

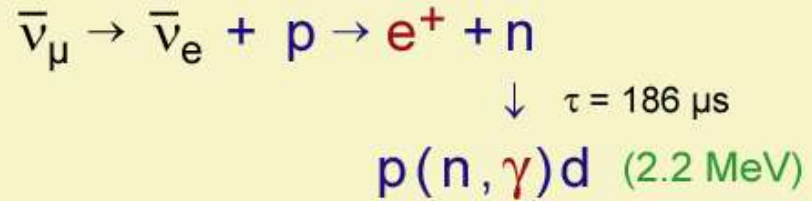
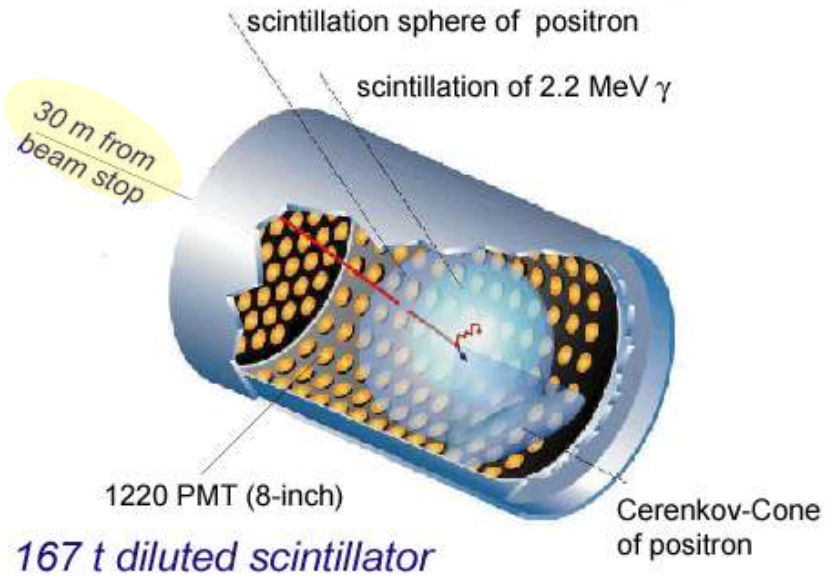
π^- wird von Kernen absorbiert



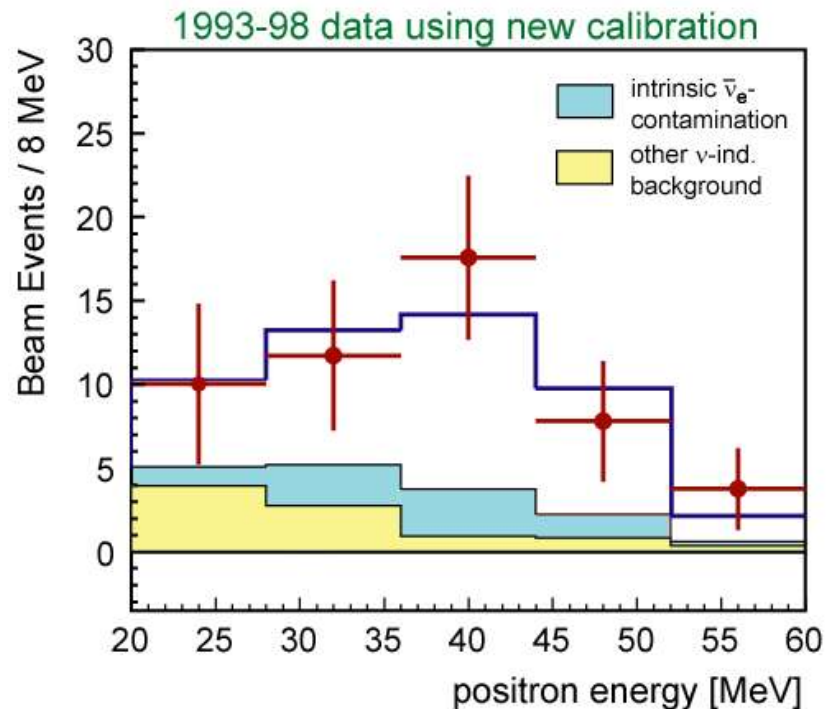
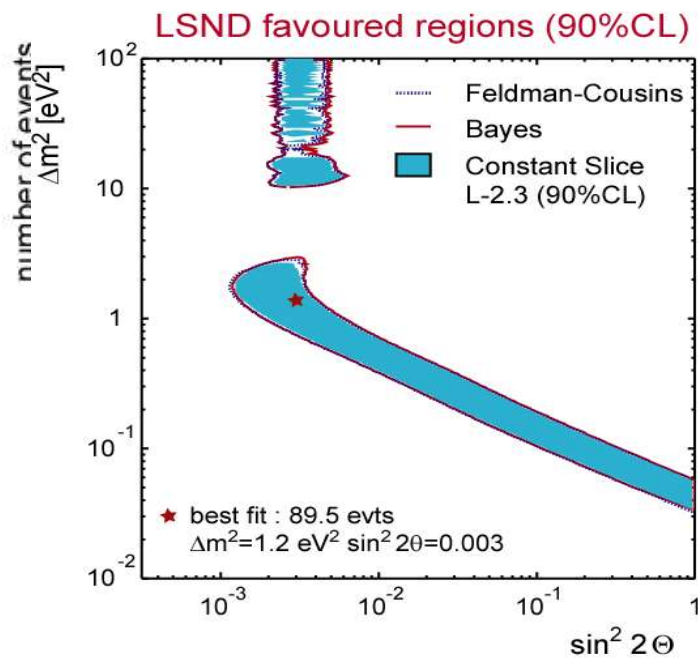
\Rightarrow keine $\bar{\nu}_e$!



$\bar{\nu}_\mu - \bar{\nu}_e$ appearance: LSND-Experiment/Los Alamos



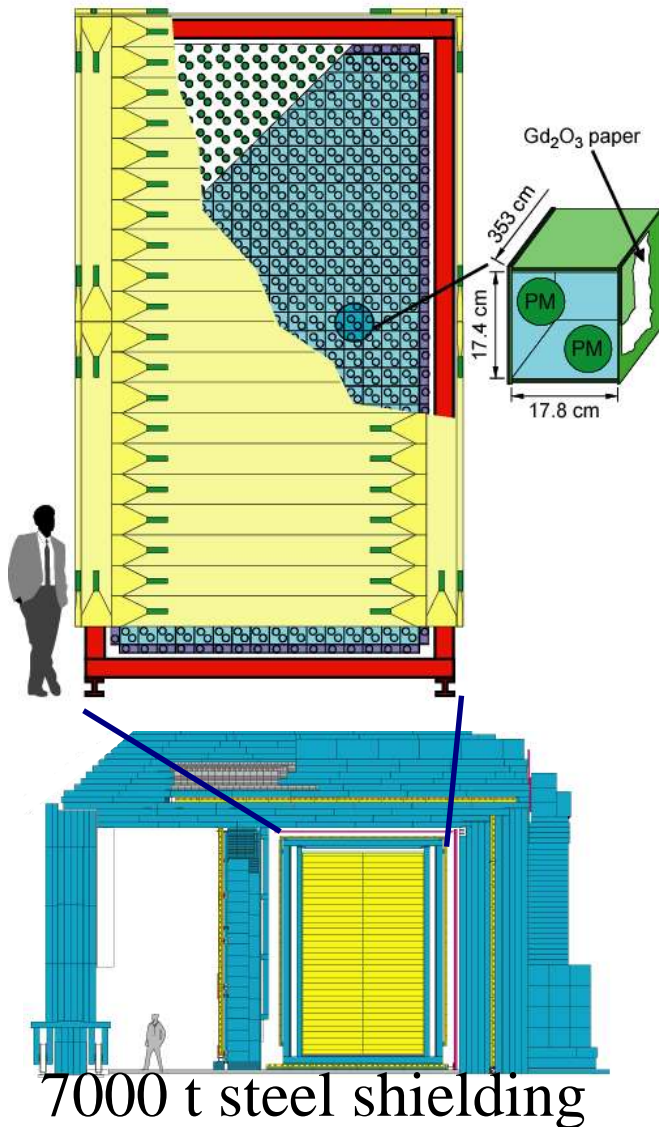
- (49.1 ± 9.4) (beam on-beam off) excess
- (16.9 ± 2.3) neutrino induced background
- (32.2 ± 9.4) event excess (attr. to oscillations)



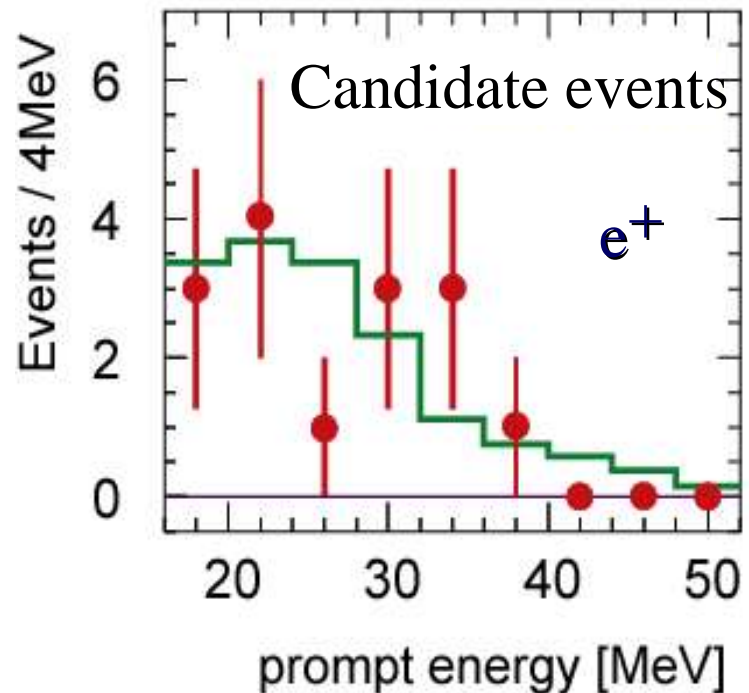
Karmen II am Rutherford Laboratory/UK

KARMEN2: looking for $\nu_{\mu}-\nu_e$ appearance at ISIS (1997-2001)

56 t high resolution liquid scintillator at **d=17m**
but: much more compact & simple target (!)



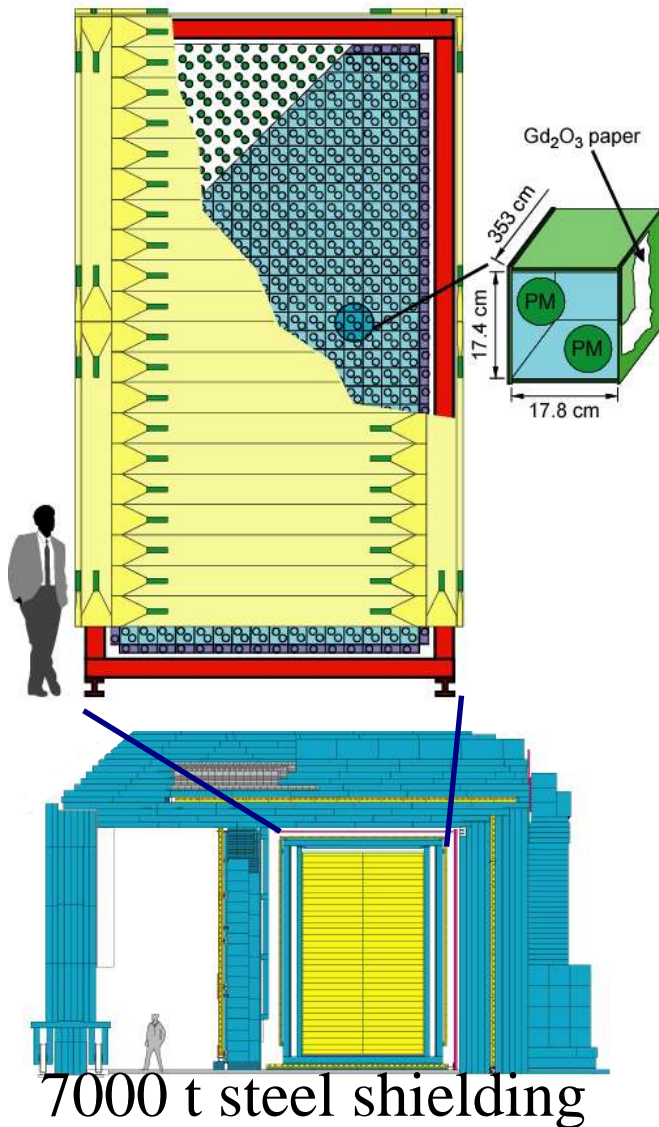
KARMEN2 oscillation results
4y of measuring after upgrade:



Karmen II am Rutherford Laboratory/UK

KARMEN2: looking for $\nu_{\mu}-\nu_e$ appearance at ISIS (1997-2001)

56 t high resolution liquid scintillator at **d=17m**
but: much more compact & simple target (!)



KARMEN2 oscillation results
4y of measuring after upgrade:

15 candidate events

**(15.8 ± 0.5) background
events are expected**

cosmic background : 3.9 ± 0.2 evts

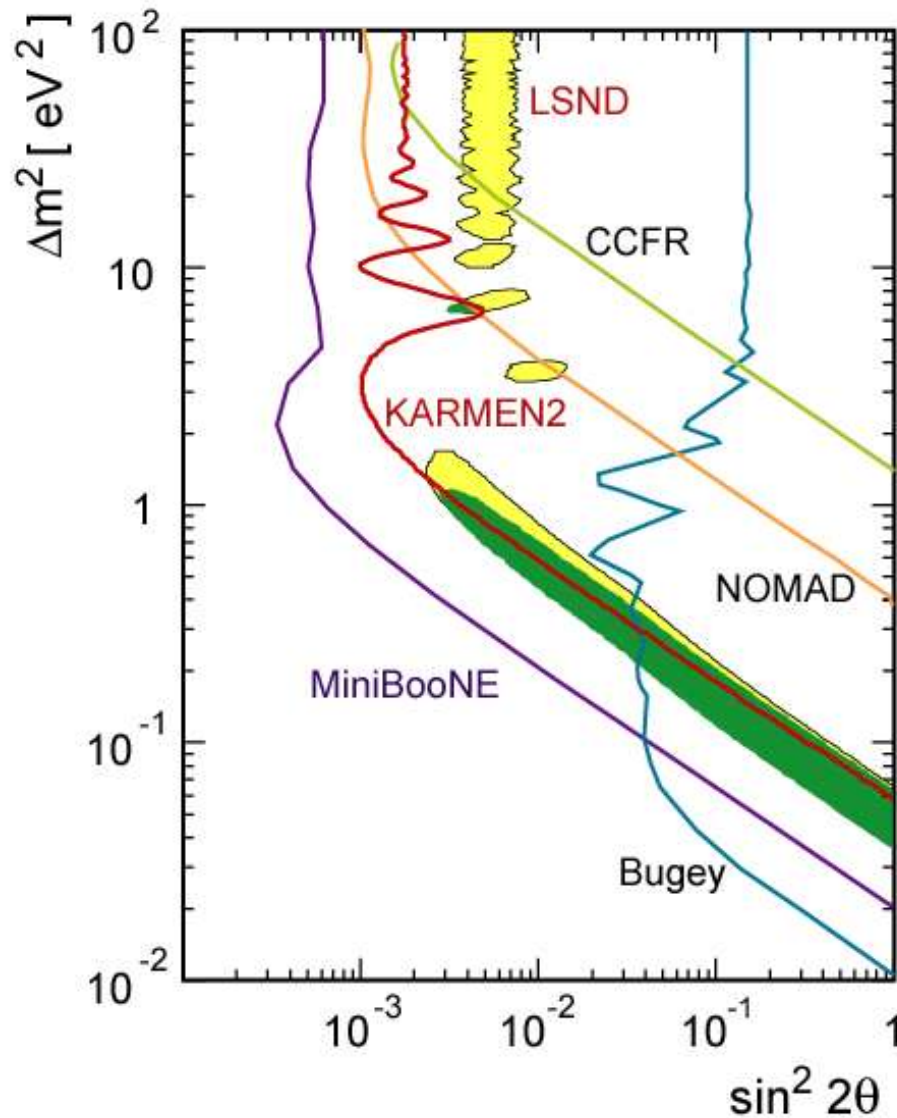
ν_e -induc. excl. CC : 5.1 ± 0.2 evts

ν_e -ind. CC & rand. γ : 4.8 ± 0.3 evts

intrin. contamination : 2.0 ± 0.2 evts

no oscillation excess

Endgültige LSND- und Karmen II-Resultate



4y KARMEN2 data taking 2/97 - 2/02

unified (frequentist) approach

Feldman-Cousins

oscillation limit :

$$\sin^2 2\theta < 1.7 \times 10^{-3} \text{ (90\% CL.)}$$

large Δm^2

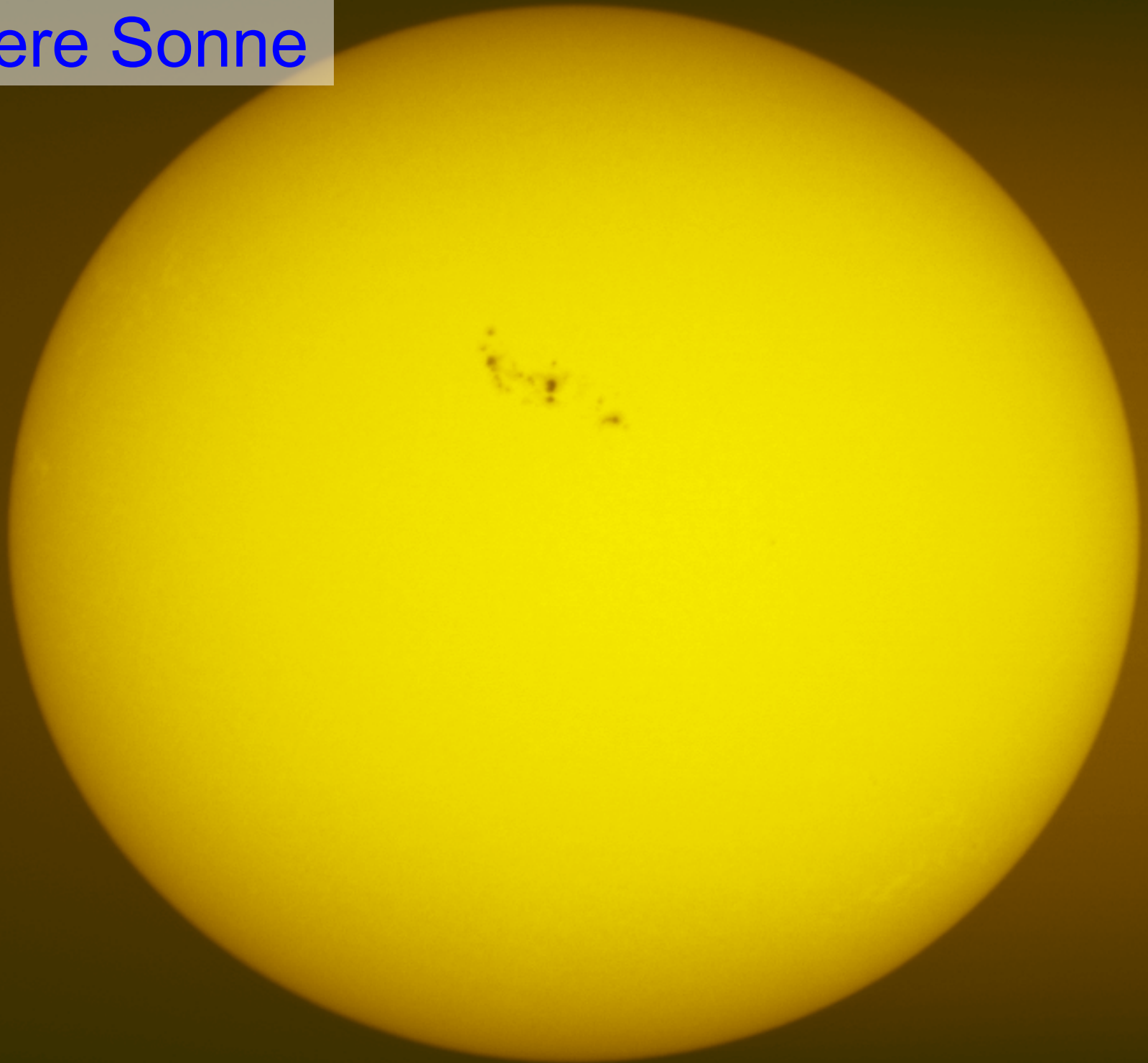
oscillation sensitivity :

$$\sin^2 2\theta < 1.6 \times 10^{-3} \text{ (90\% CL.)}$$

KARMEN2 excludes a significant part of the LSND parameter space

**Compatibility analysis:
LSND&KARMEN2
incompatible at individual 64% CL.**

Unsere Sonne



Unsere Sonne

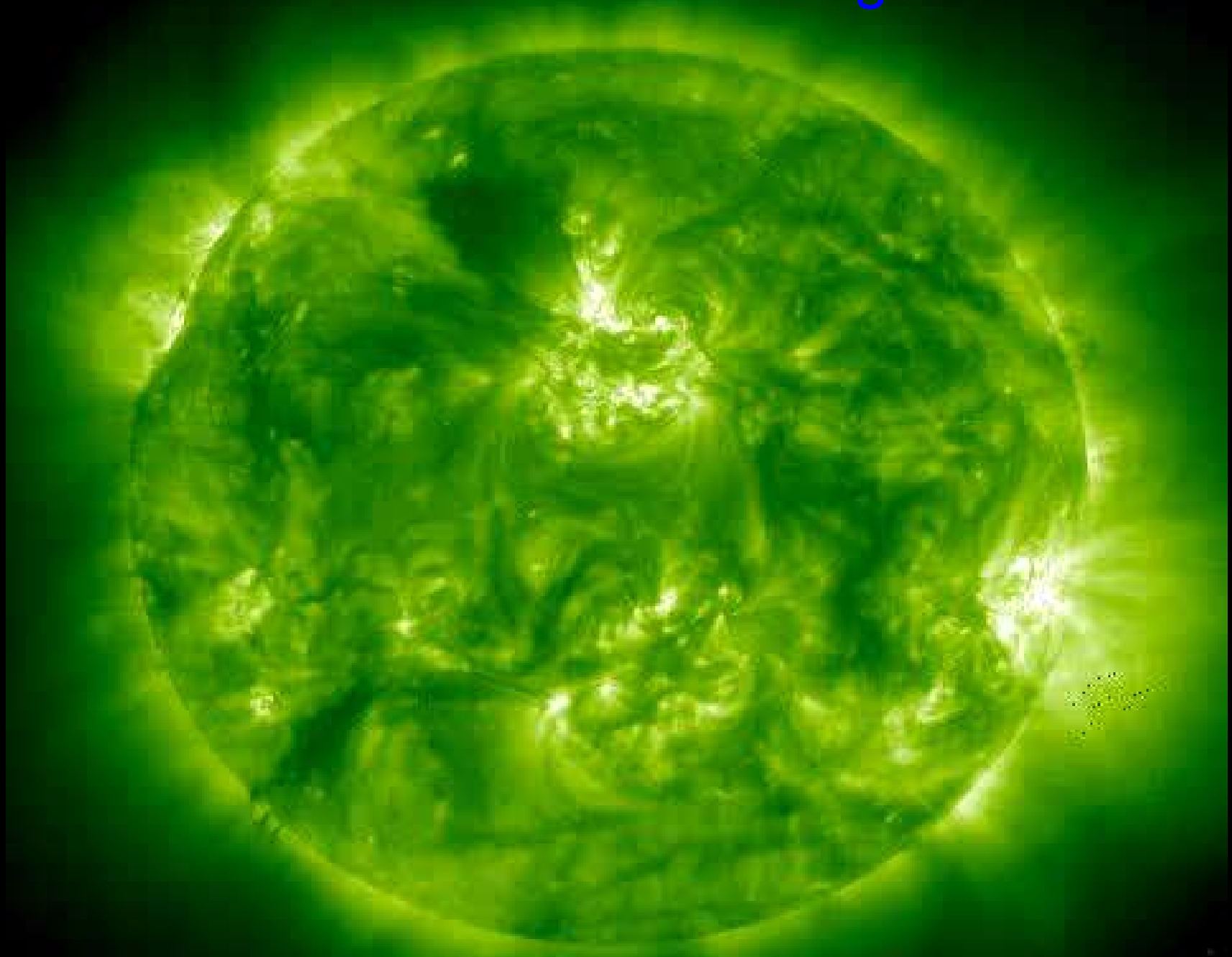
Parameter:

- Masse $M_{\odot} := 1.99 \cdot 10^{30} \text{ kg}$
- Alter $4.6 \cdot 10^9 \text{ y}$
- Leuchtkraft $2.41 \cdot 10^{39} \text{ MeV/s}$
- Zentrumstemperatur $15.6 \cdot 10^6 \text{ K}$
- Zentrumsdichte 148 g/cm^3

Annahmen des Standardsonnenmodells:

- Rotationssymmetrie
- Thermodynamisches Gleichgewicht
- keine Magnetfelder
- Gasball im hydrodynamischen Gleichgewicht
- Energietransfer durch Strahlung (Stefan-Boltzmann)
+ Konvektion (Temp.-Grad > adiab. Limit: $R > 0.7R_{\odot}$)
- Energieproduktion durch Kernfusion
(pp-Kette: 98.4%, CNO-Zyklus: 1.6%)

Die Sonne bei einer Wellenlänge von 195\AA

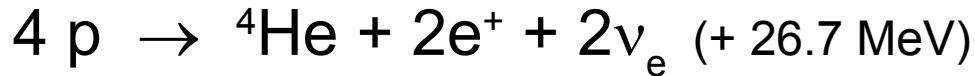


1999/12/24 05:36:10

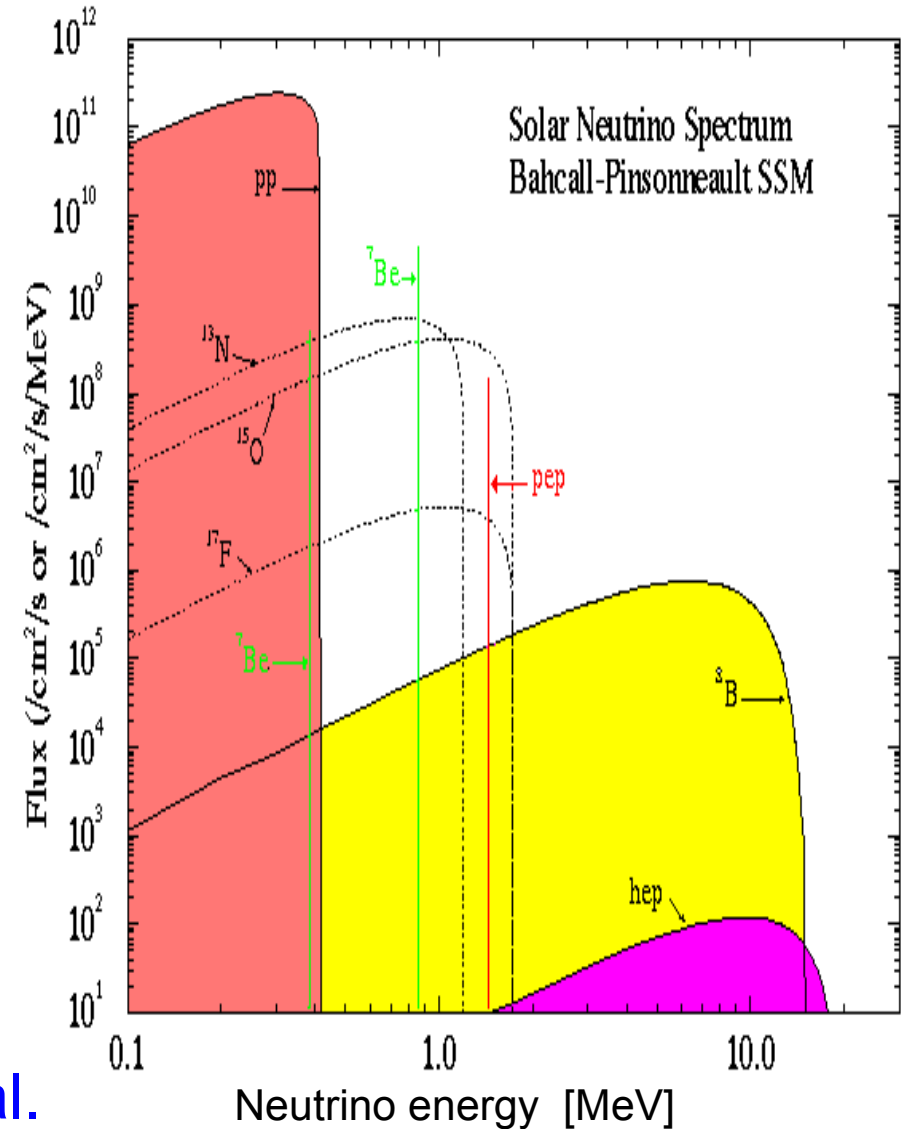
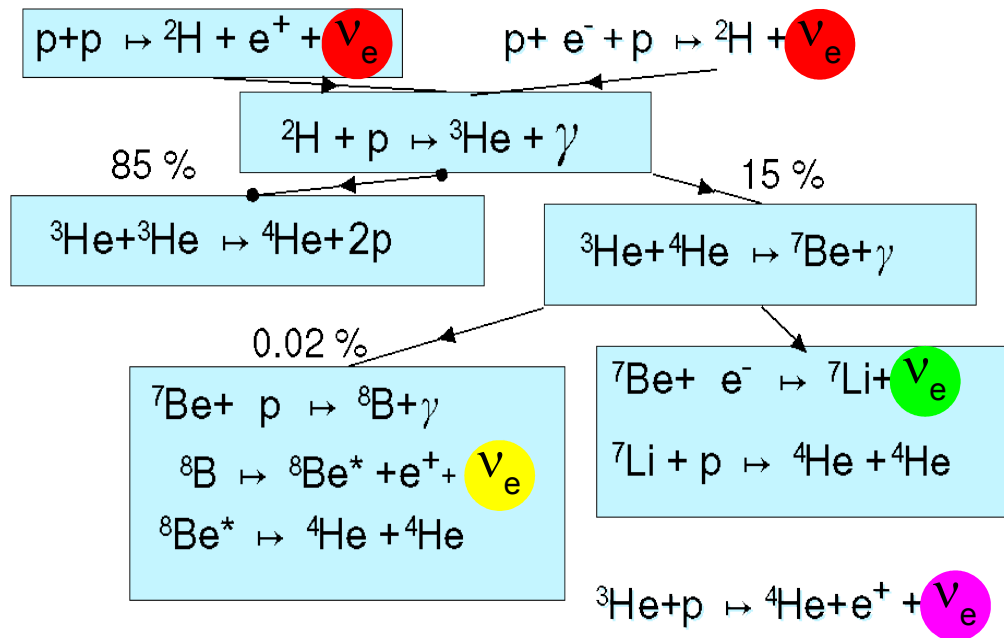
Extreme ultraviolet Imaging Telescope EIT des SOHO Satelliten

Blick ins Innere der Sonne: solare Neutrinos

Kernfusion im Herzen der Sonne:



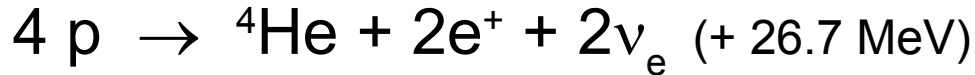
genauer:



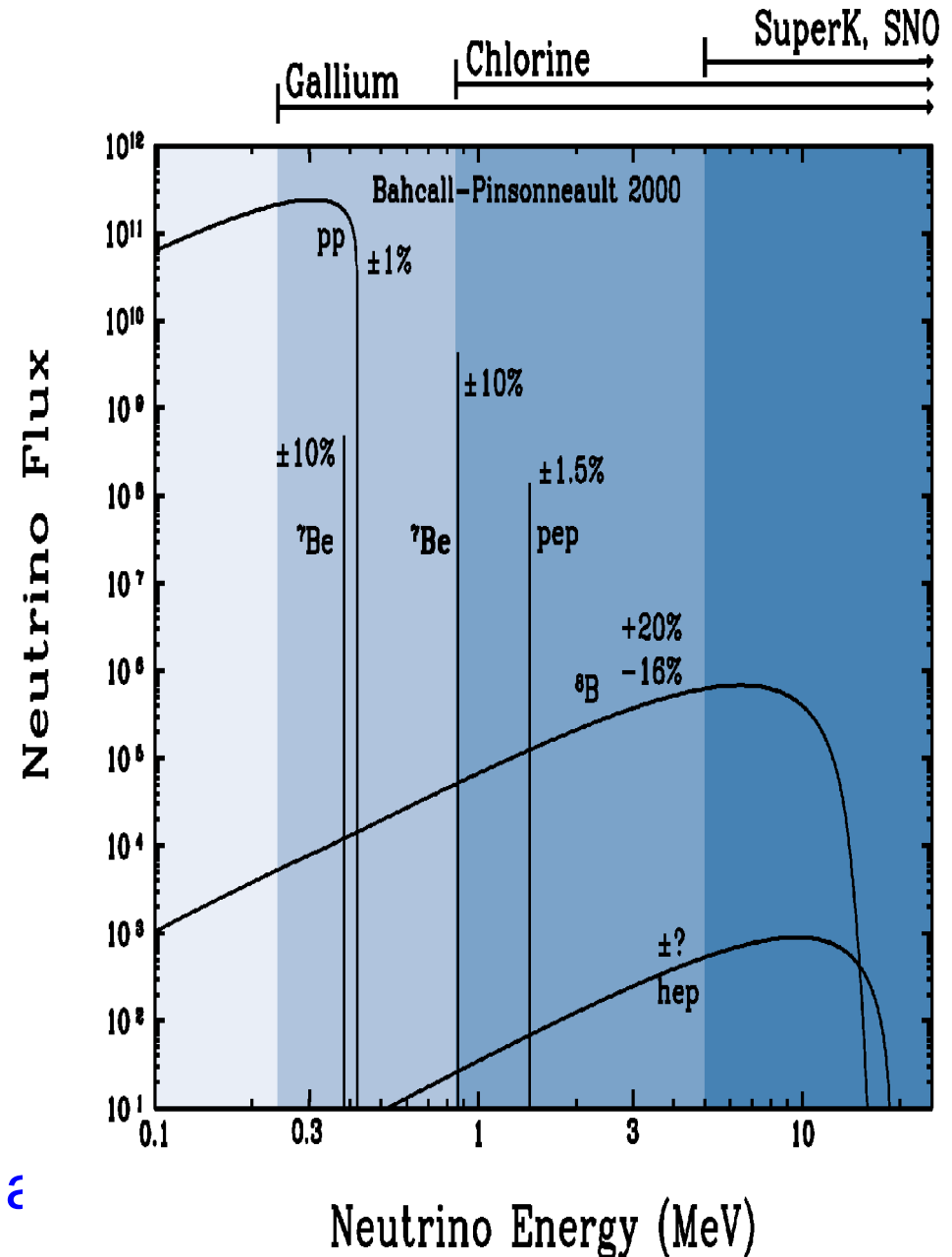
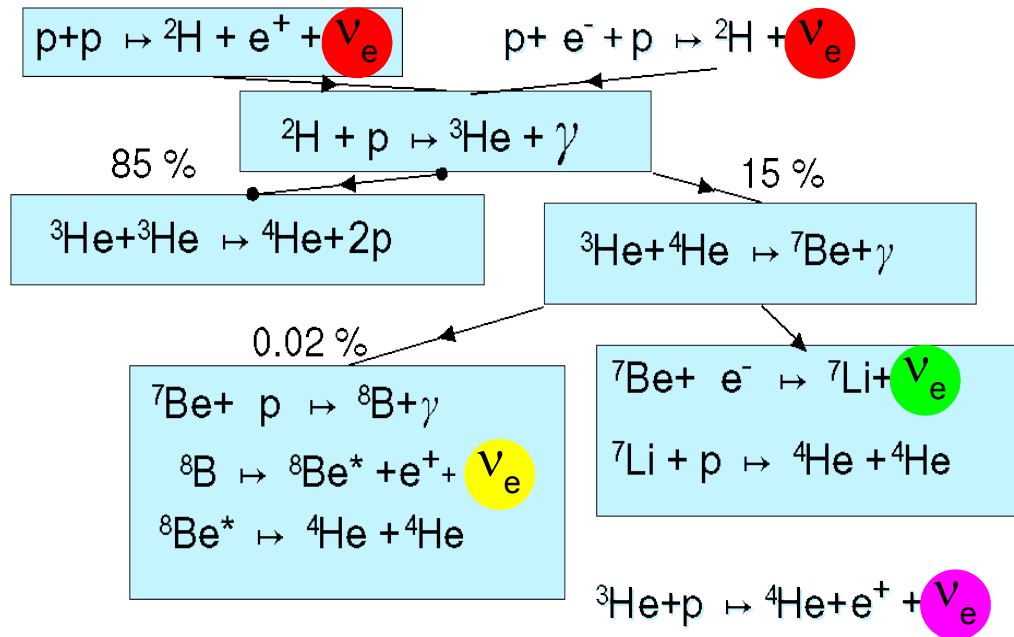
Standard-Sonnenmodell: J. Bahcall et al.
auf der Erde:
65 Milliarden Neutrinos pro s und cm^2

Blick ins Innere der Sonne: solare Neutrinos

Kernfusion im Herzen der Sonne:



genauer:



Standard-Sonnenmodell: J. Bahcall et al.
auf der Erde:

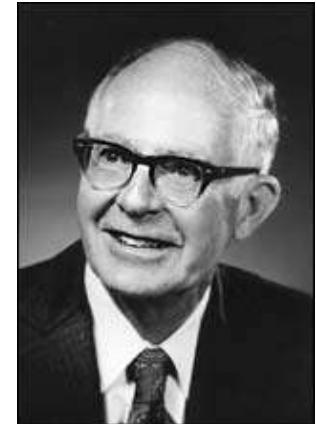
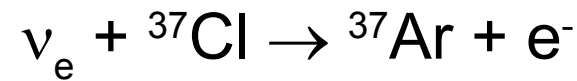
65 Milliarden Neutrinos pro s und cm^2

Das Chlor Experiment von Ray Davis

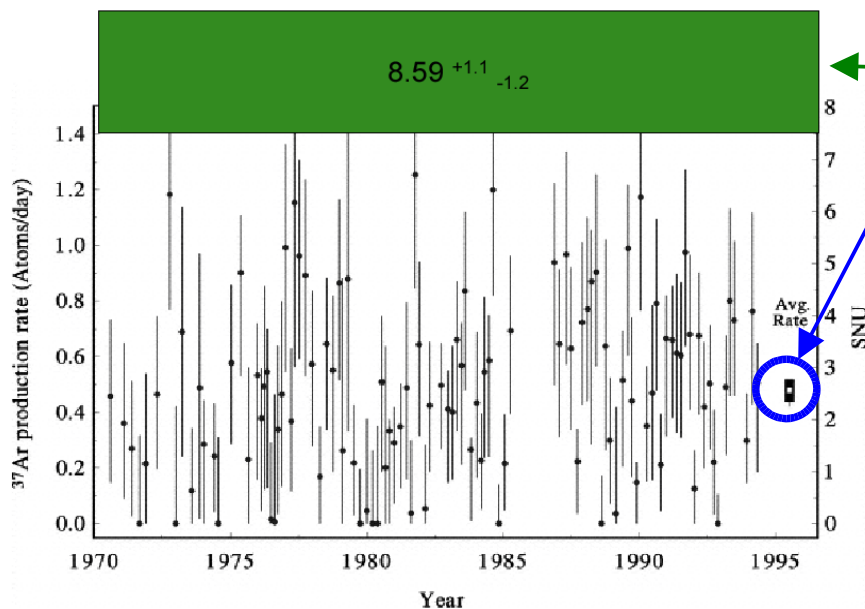
Nobelpreis 2002



380000 l
Perchlorethylen
in der Homestake Miene



Ausspülen des ${}^{37}\text{Ar}$ (0.5 Atom/Tag !)
und radiochemischer Nachweis



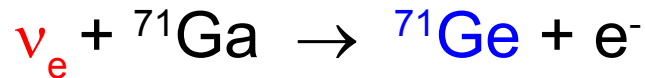
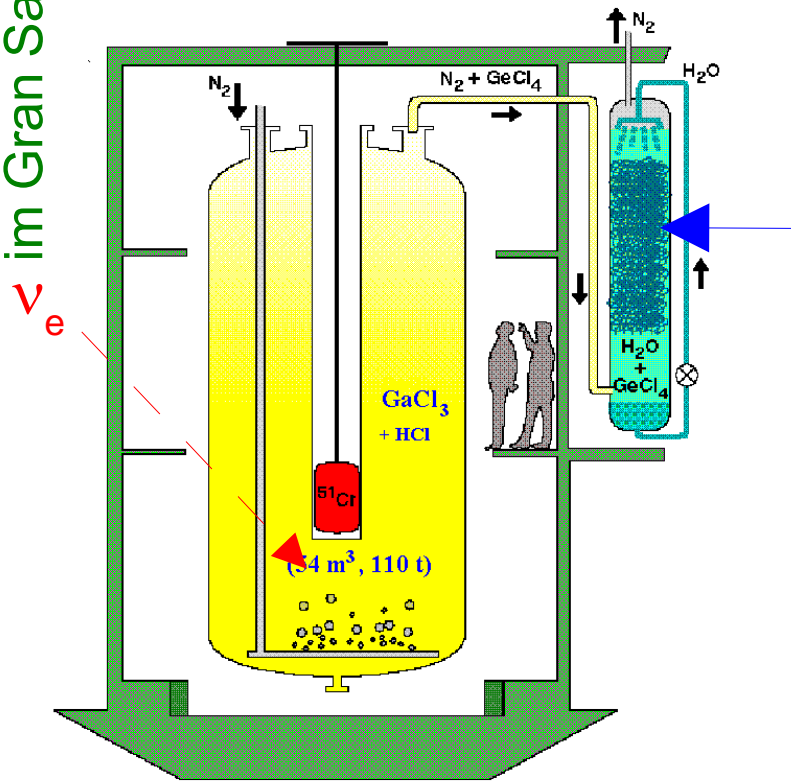
Resultat ist nur 30% von Erwartung

- Ist das Experiment falsch?
- Ist die Theorie der Sonne falsch?
- **Verhalten sich die Neutrinos anders?**

GALLEX und andere Galliumexperimente

- GALLEX (später GNO), SAGE):
Inverser β -Zerfall von solaren ν_e an Gallium (^{71}Ga)

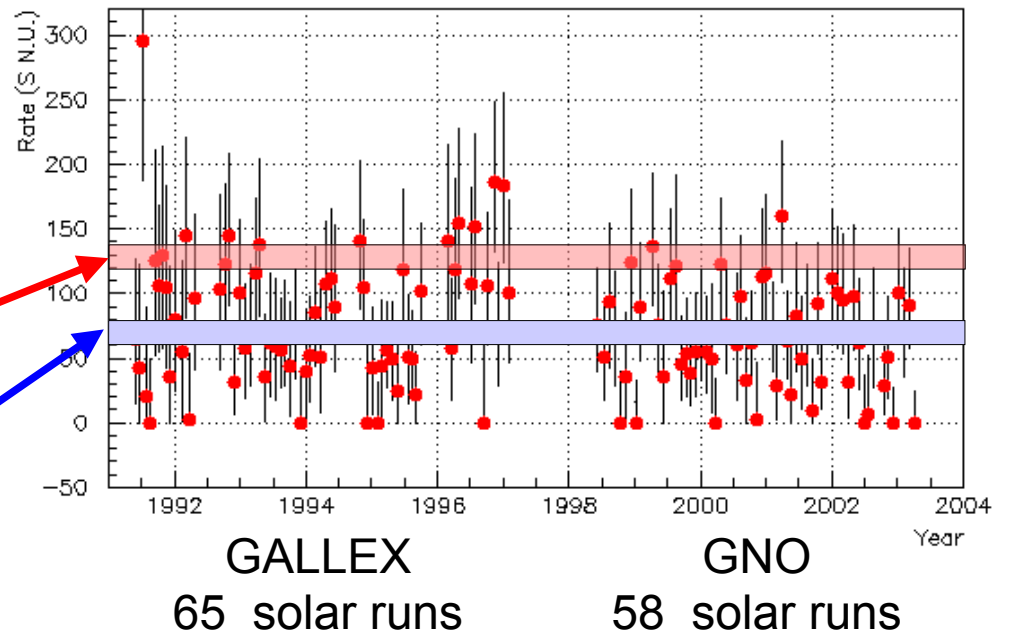
GALLEX
im Gran Sasso



radiochemischer Nachweis:

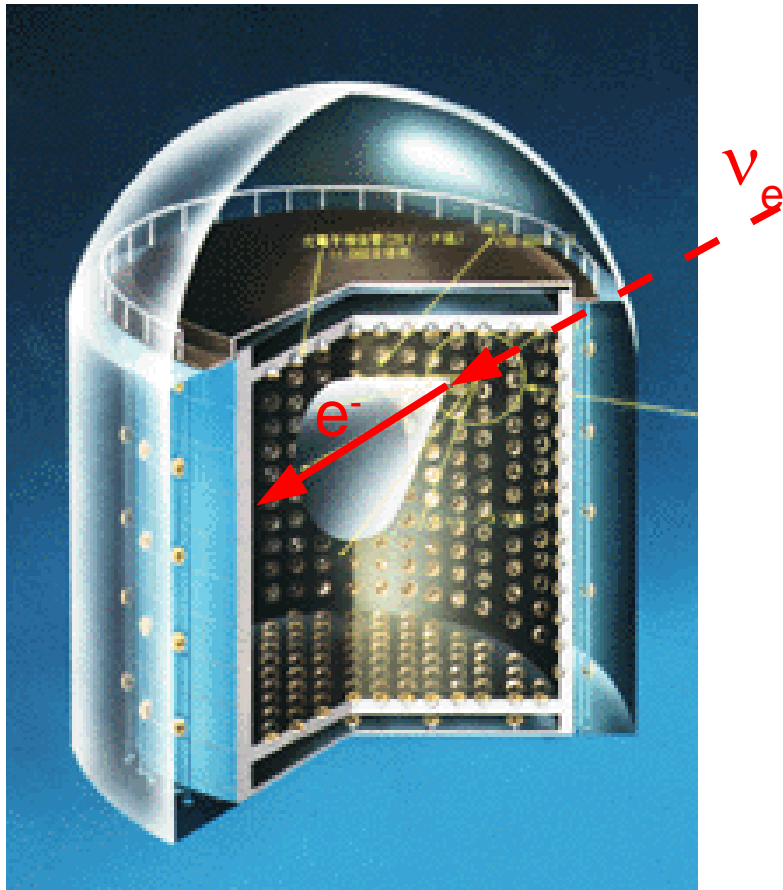
- 1) Chemische Abtrennung von ^{71}Ge
 - 2) Nachweis durch radioaktiven Rückzerfall
- Nachweiseffizienz $\approx 90\%$ (geeicht mit ν -Quelle)

SSM(BP)	128^{+9}_{-7}	SNU
GALLEX	$77.5 \pm 6.2^{+4.3}_{-4.7}$	SNU
GNO	$62.9 \pm 5.4 \pm 2.5$	SNU
SAGE	$69.1^{+4.3}_{-4.2}$	SNU



Nachweis von Neutrinos mit Super-Kamiokande

Im Gegensatz zu atmosph. Neutrinos: $\nu_e + e^- \rightarrow e^- + \nu_e$ (elastische Streuung)



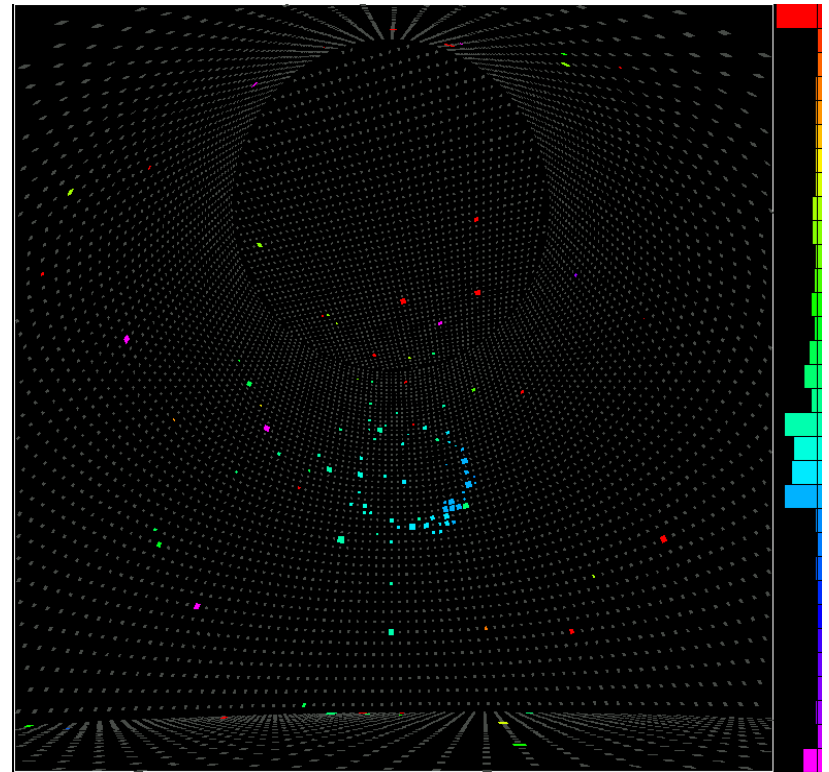
Nachweis der Neutrinos:

ν_e erzeugt ein e^-

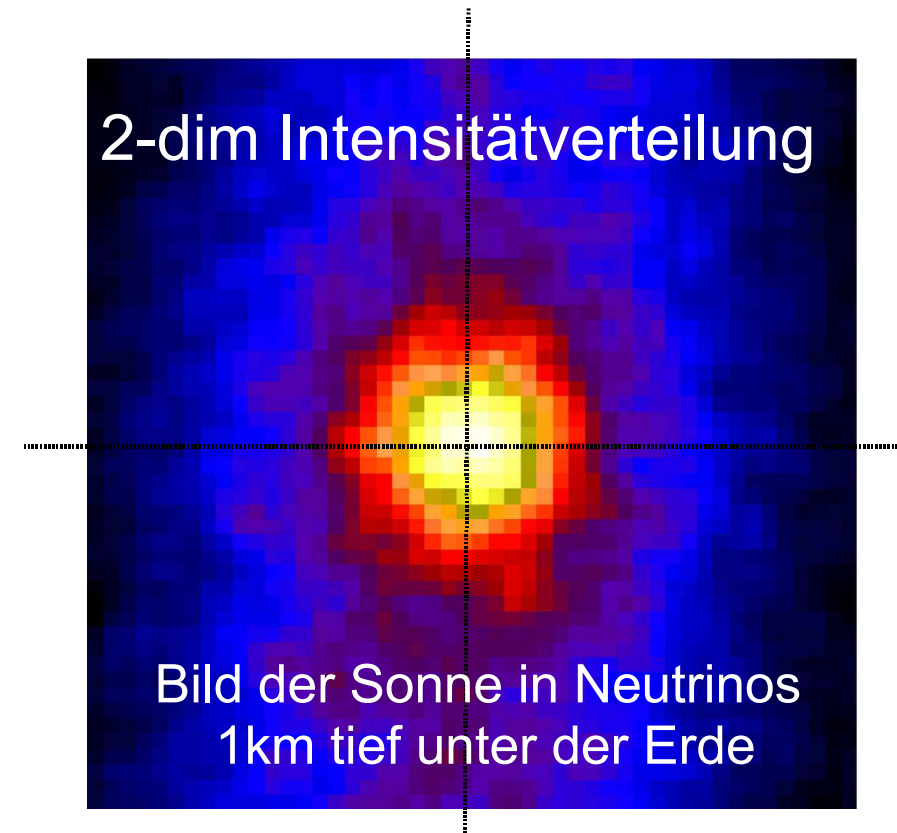
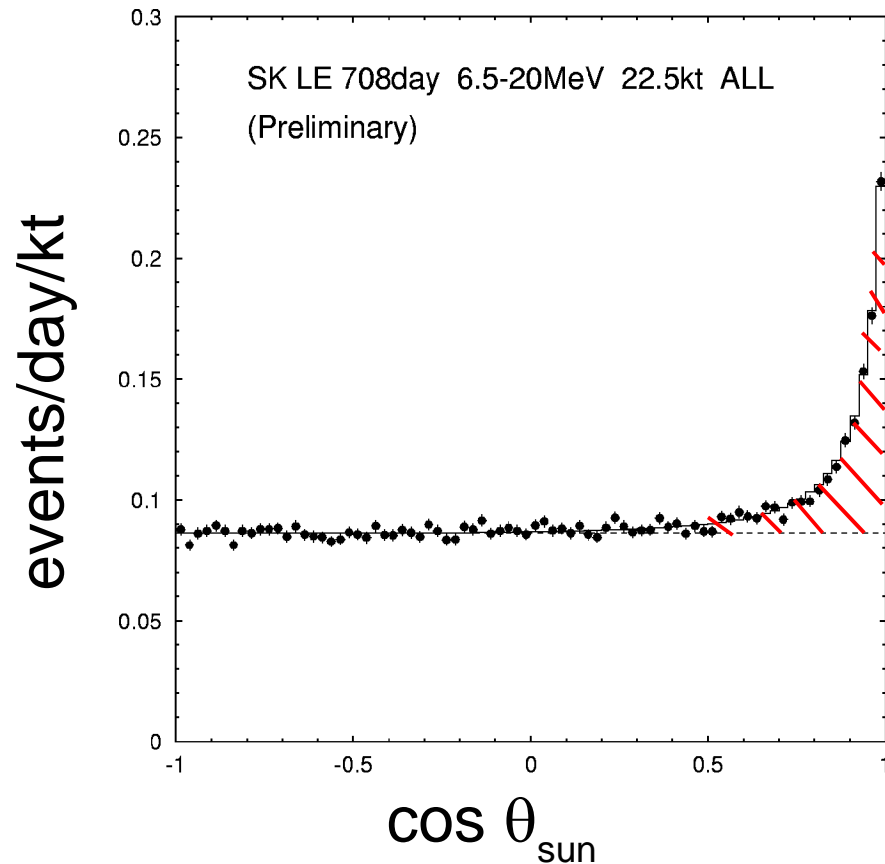
$$v(e^-) > c/n$$

Cherenkov-Kegel:

⇒ Richtung und Energie



Bestimmung des Signals über Winkelverteilung

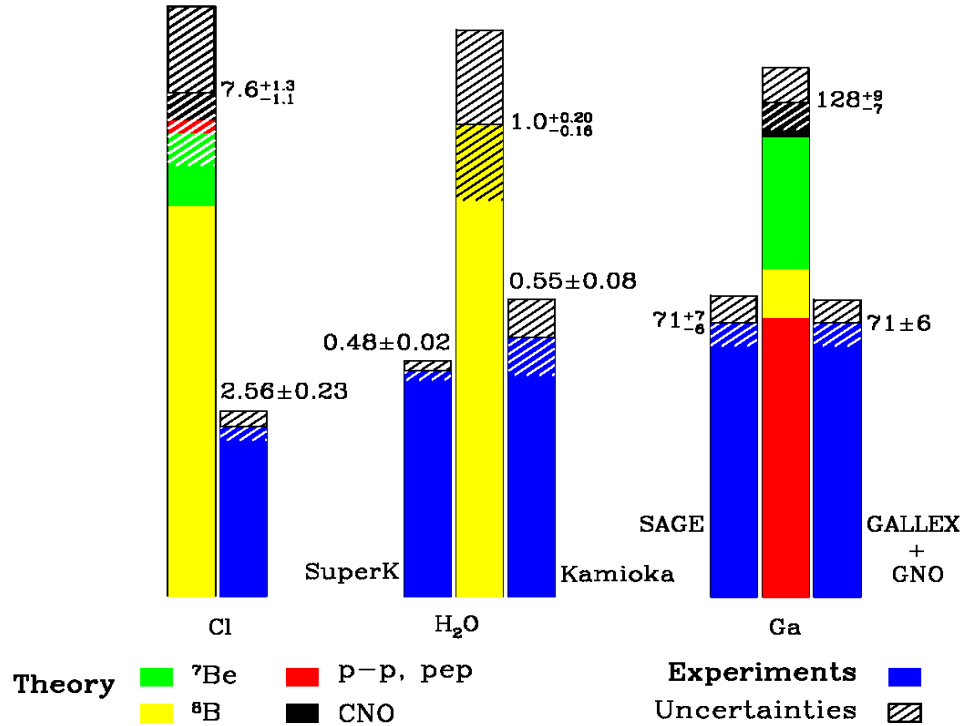


⇒ ν_e kommen wirklich von der Sonne
(erster direkter Beweis der Kernfusion im Inneren
der Sonne durch Kamiokande 1990)
aber deutlich zu wenig:

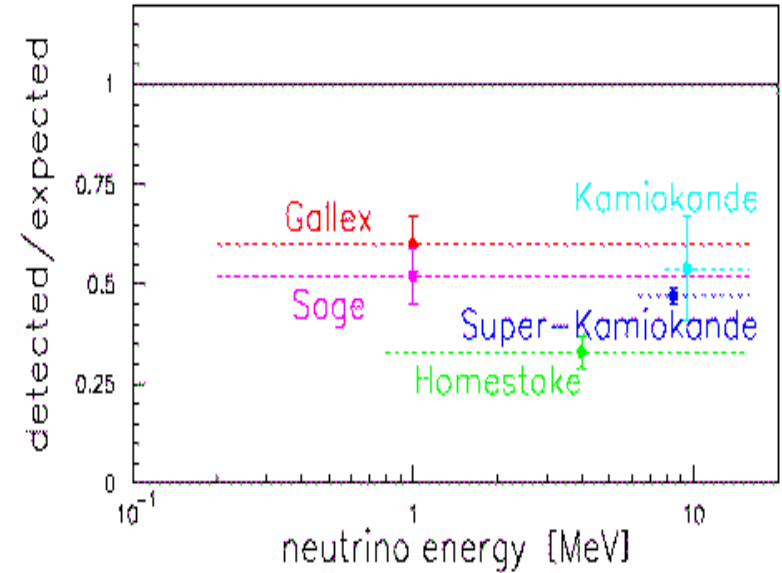
$$\# \nu_{\text{gemessen}} / \# \nu_{\text{erwartet}} = 0.47 \pm 0.20$$

Exp. solare Neutrinoraten vor SNO: solares ν -Problem

Total Rates: Standard Model vs. Experiment
Bahcall-Pinsonneault 2000



Exp. haben unterschiedliche Energieschwellen



Reduktion: $\approx 1/3$ $\approx 1/2$ $\approx 2/3$

Was ist falsch ?

- Experimente ?
- Sonnenmodell ? (aber die verschiedenen Reduktionen können nicht durch Änderungen der Einzelflüsse einfach erklärt werden)
- Annahmen über Neutrinos (Neutrinooszillationen) ?

Neutrinooszillation und solares Neutrino­problem

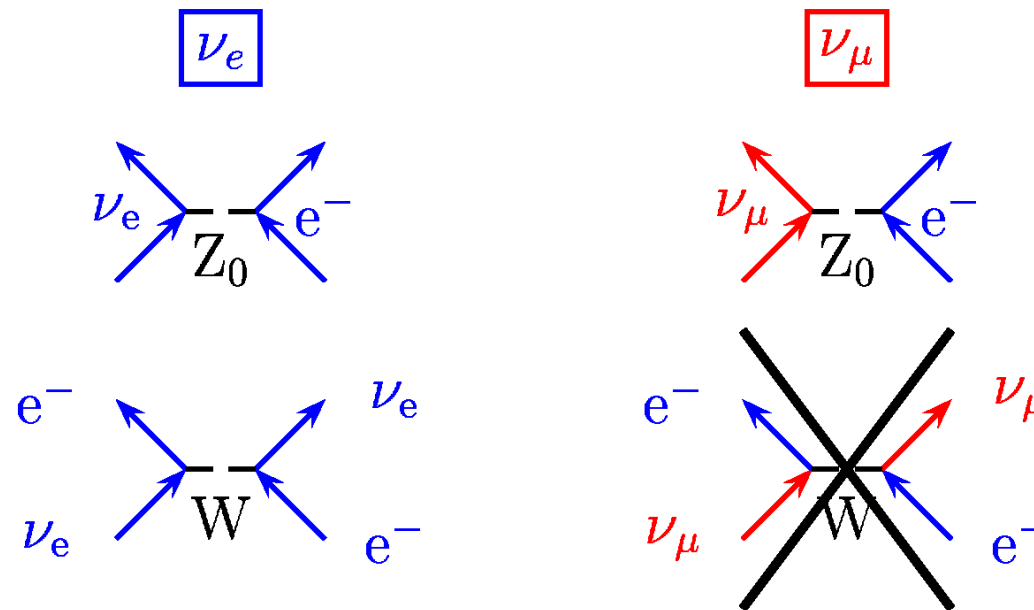
Starke Auslöschung bei Chorexperiment ($\approx 1/3 < 1/2$)

\Rightarrow Abstand Sonne-Erde = $1.44 \cdot 10^{11} \text{ m} \approx \lambda_{\text{osc}}$, mit $E_\nu \approx 10 \text{ MeV}$

$\Rightarrow \Delta m^2 = 10^{-10} \text{ eV}^2$ (\Rightarrow Finetuning-Problem)

Lösung: **Materie-verstärkte Oszillation in Materie**
(MSW-Effekt, Mikheyev-Smirnov-Wolfenstein)

Vorwärtsstreuung von ν an e^-



- \rightarrow Unterschiedlicher "Brechungsindex" für ν_e und ν_μ
- \rightarrow Zusätzlicher Phasenunterschied in der Ausbreitung
- \rightarrow Neutrinooszillation

MSW-Effekt

Vakuumoszillationen:

$$P(\nu_e \rightarrow \nu_\mu) = \left| \begin{pmatrix} 0 \\ 1 \end{pmatrix} \underbrace{\begin{pmatrix} \cos \theta & \sin \theta \\ -\sin \theta & \cos \theta \end{pmatrix}}_U \underbrace{\begin{pmatrix} e^{-im_1^2/2p \cdot t} & 0 \\ 0 & e^{-im_2^2/2p \cdot t} \end{pmatrix}}_{e^{-i\mathcal{H}_i t}} \underbrace{\begin{pmatrix} \cos \theta & -\sin \theta \\ \sin \theta & \cos \theta \end{pmatrix}}_{U^{-1}} \begin{pmatrix} 1 \\ 0 \end{pmatrix} \right|^2$$

$$\mathcal{H} = \sqrt{p^2 + m^2} \approx p + m^2/2p = \mathcal{H}_0 + \mathcal{H}_i$$

Mit Materieeffekt:

Zusätzliche CC-Wechselwirkung für ν_e : $\mathcal{H}_{CC} = \sqrt{2} \cdot G_F N_e$

$$\mathcal{H}_{tot} = \mathcal{H}_i + \tilde{\mathcal{H}}_{CC} = \underbrace{\begin{pmatrix} m_1^2/2p & 0 \\ 0 & m_2^2/2p \end{pmatrix}} + U^{-1} \begin{pmatrix} \sqrt{2}G_F N_e & 0 \\ 0 & 0 \end{pmatrix} U$$

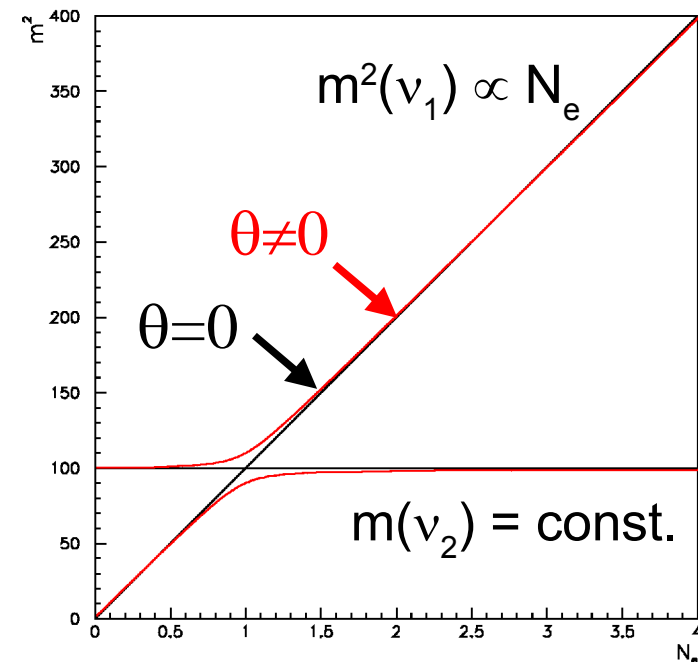
$$:= \begin{pmatrix} m_{1m}^2/2p & 0 \\ 0 & m_{2m}^2/2p \end{pmatrix}$$

mit $\tan(2\theta_m) = \tan(2\theta) \cdot \left(1 - \frac{\lambda_{osc}}{\lambda_0 \cos(2\theta)}\right)^{-1}$

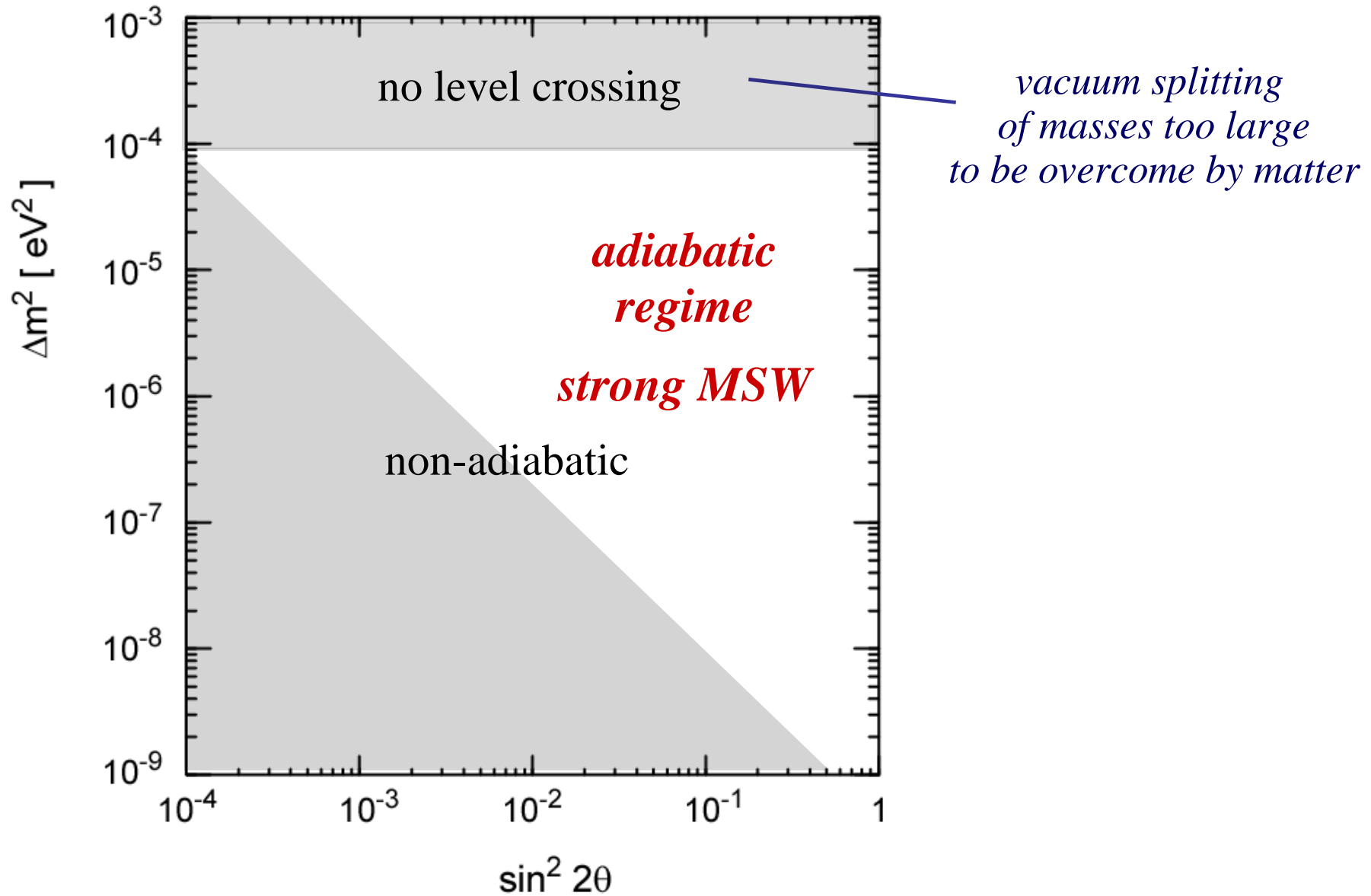
$$\lambda_m = \lambda_{osc} \cdot \frac{\sin(2\theta_m)}{\sin(2\theta)}$$

$$P(\nu_e \rightarrow \nu_\mu) = 1 - \sin^2(2\theta_m) \sin^2 \frac{\pi L}{\lambda_m}$$

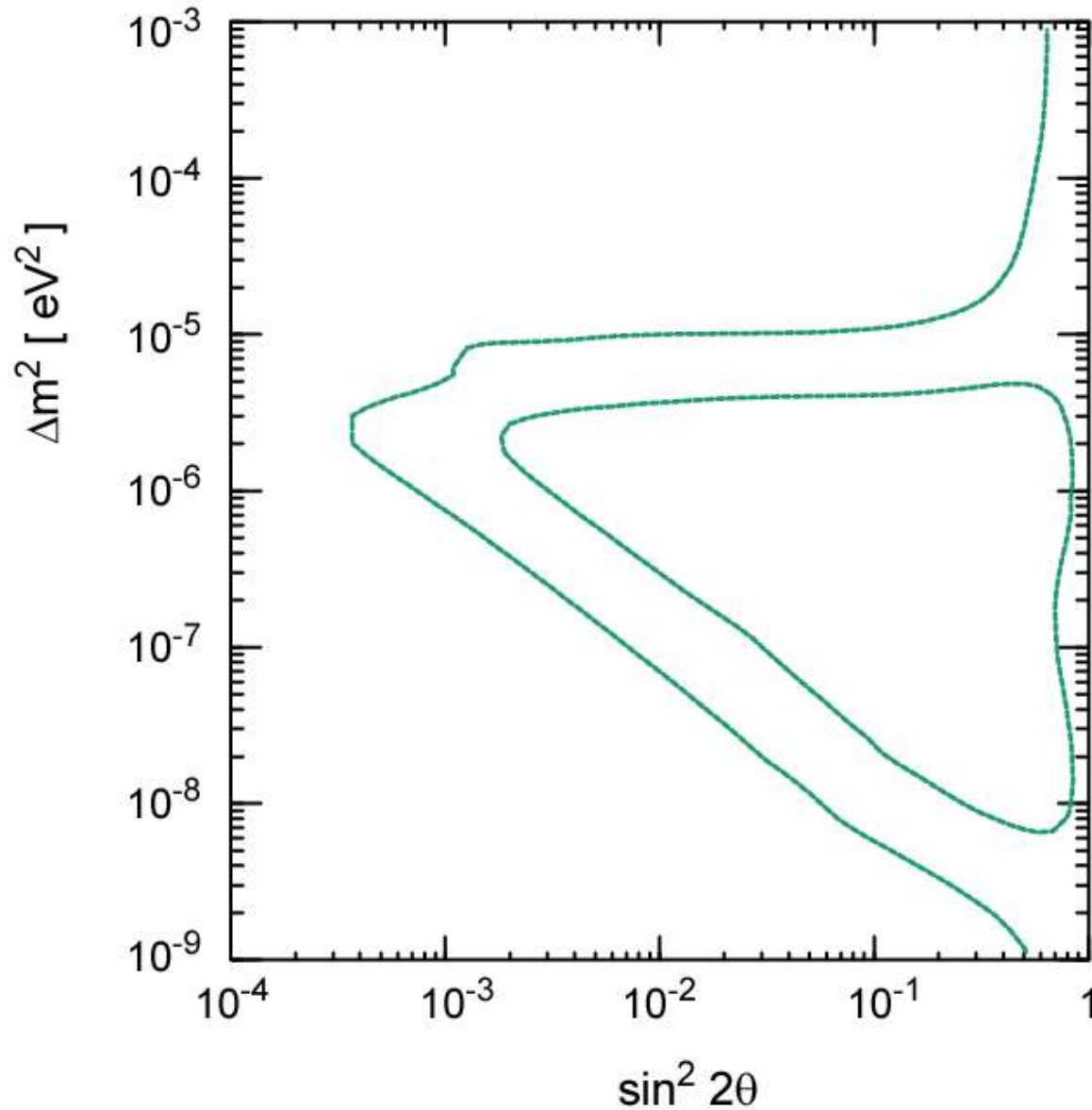
MSW Effekt



MSW-Effekt und Oszillation solarer Neutrinos



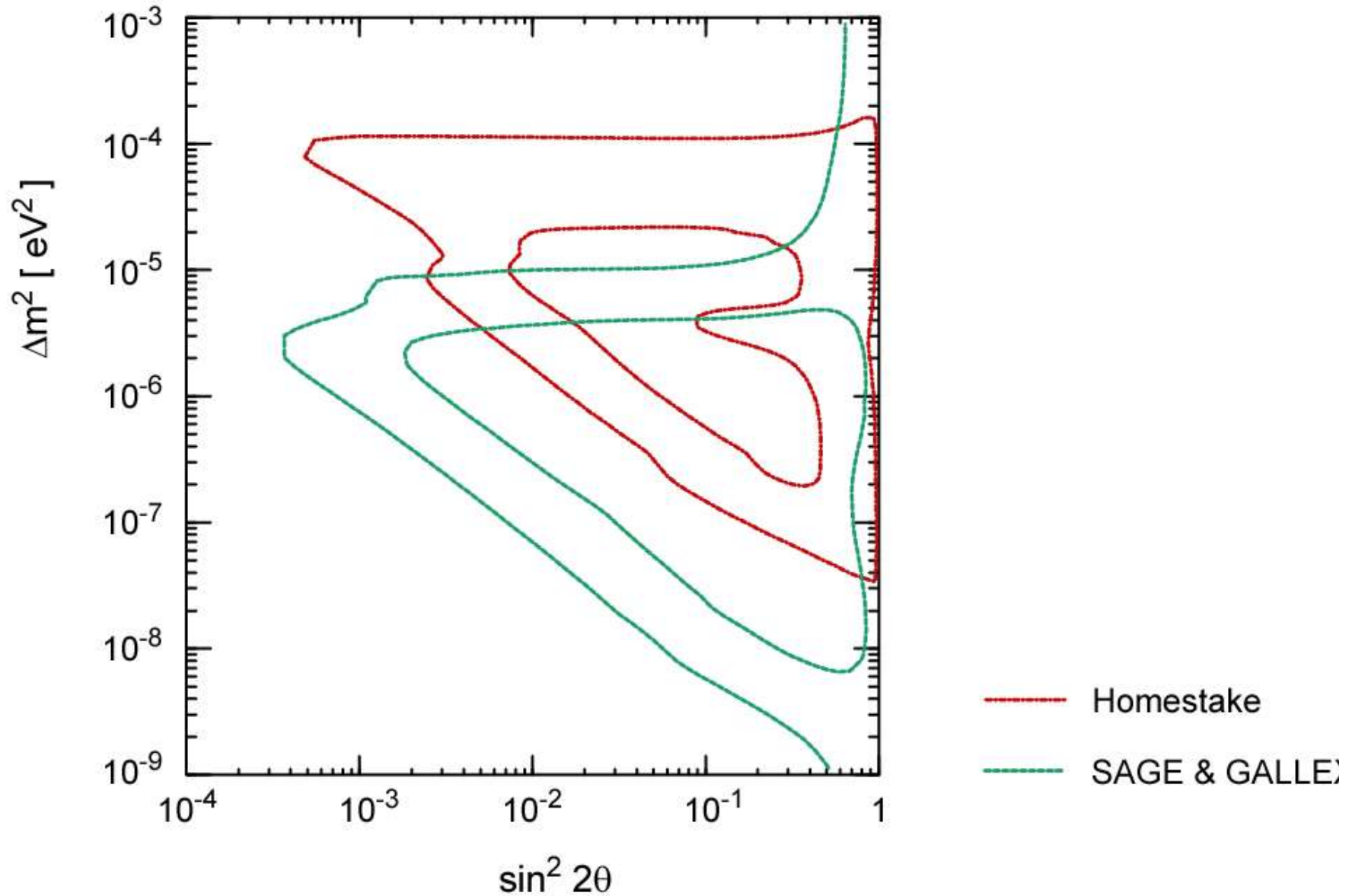
MSW-Effekt und Oszillation solarer Neutrinos



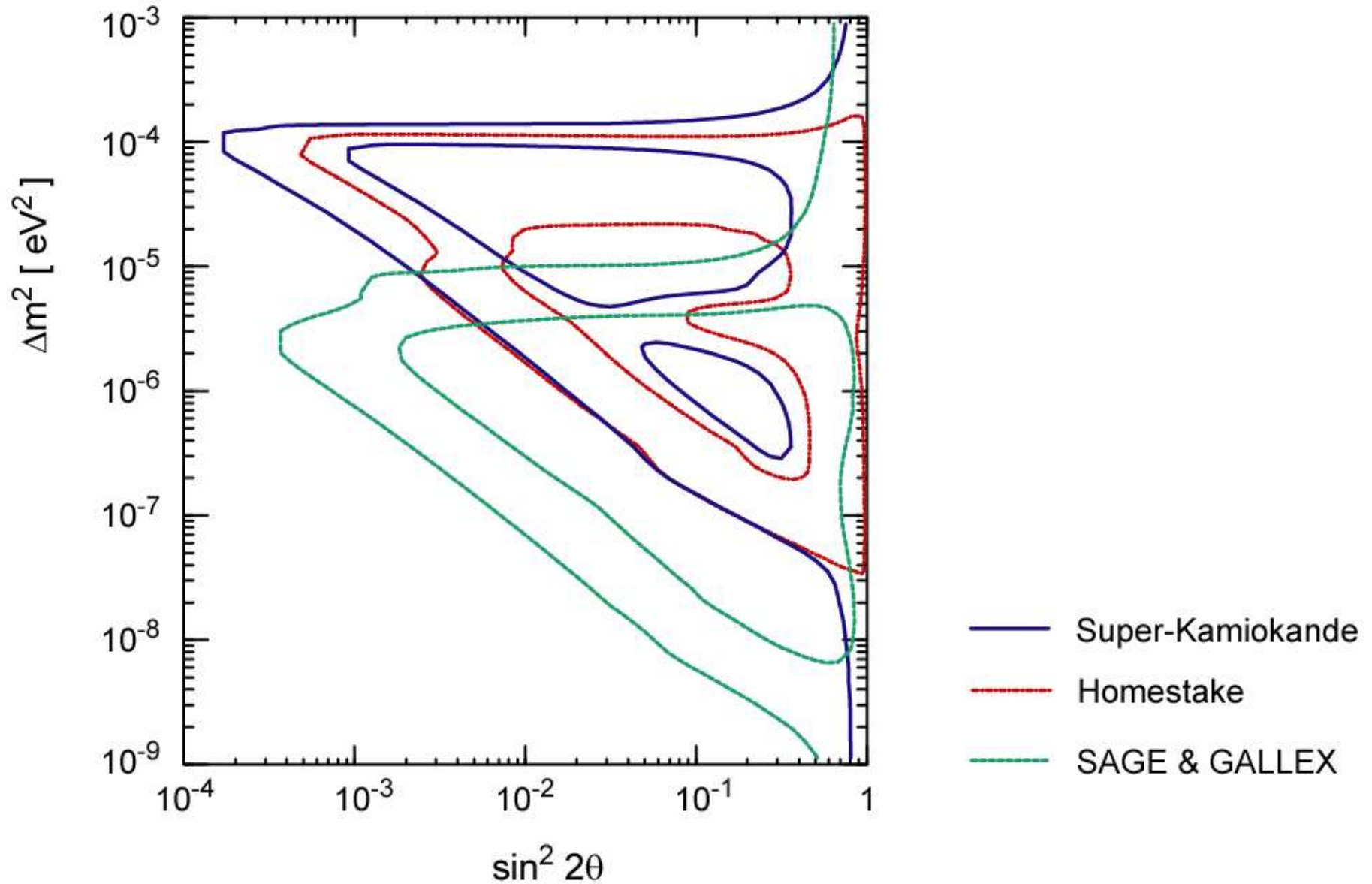
Eine Dreiecksrandfläche
entspricht einer
bestimmten Auslöschung

— SAGE & GALLEX

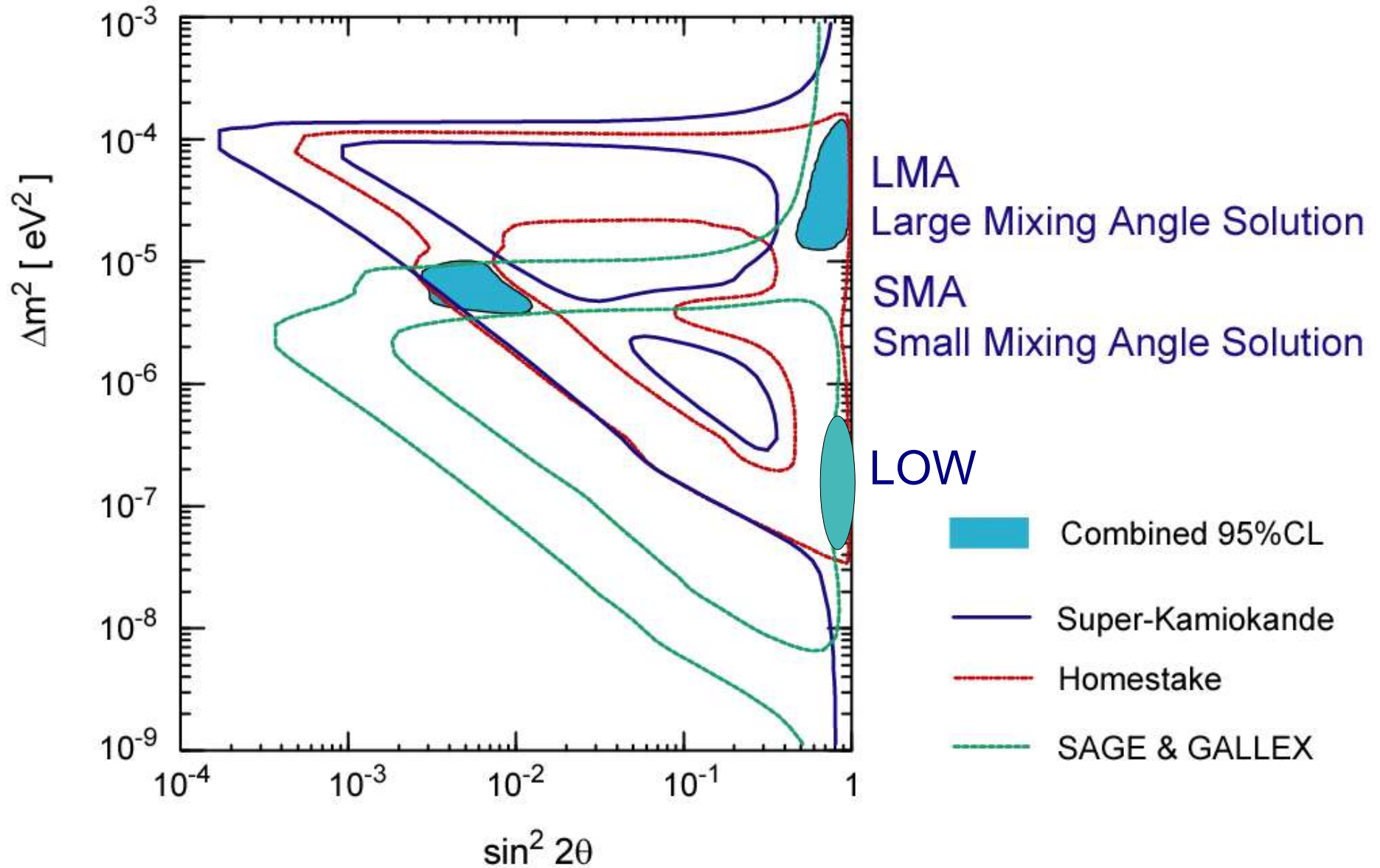
MSW-Effekt und Oszillation solarer Neutrinos



MSW-Effekt und Oszillation solarer Neutrinos

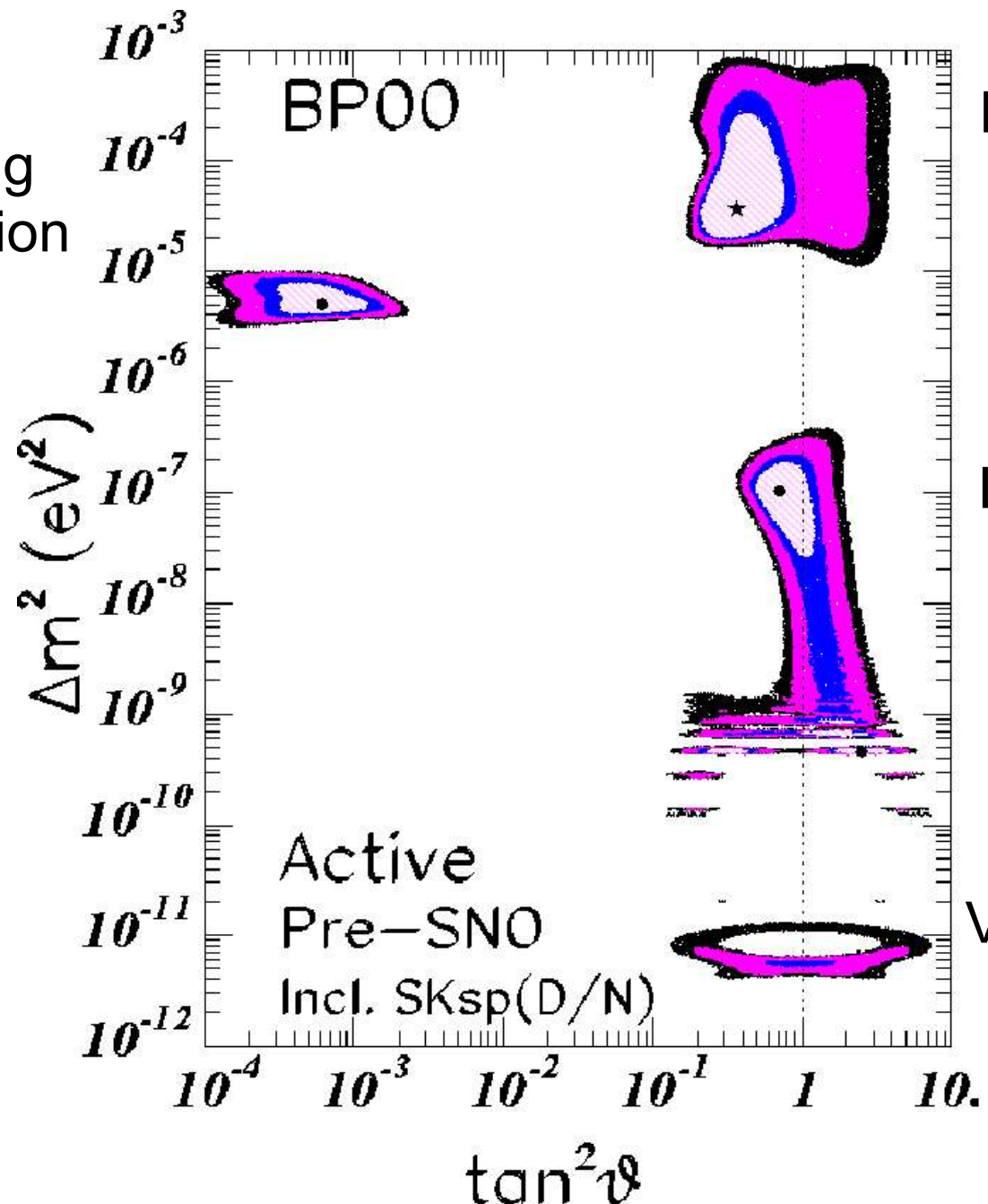


MSW-Effekt und Oszillation solarer Neutrinos



MSW-Effekt und Vakuumoszillations-Lösungen für solare Neutrinos

Small Mixing Angle solution (SMA)



Large Mixing Angle solution (LMA)

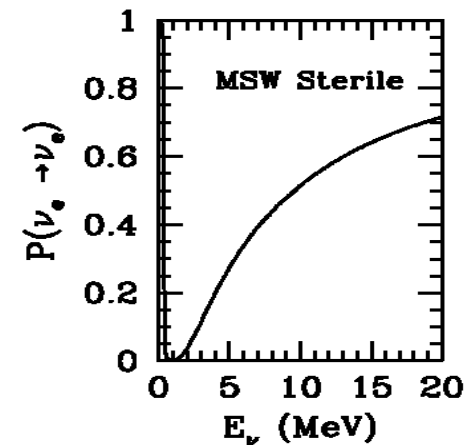
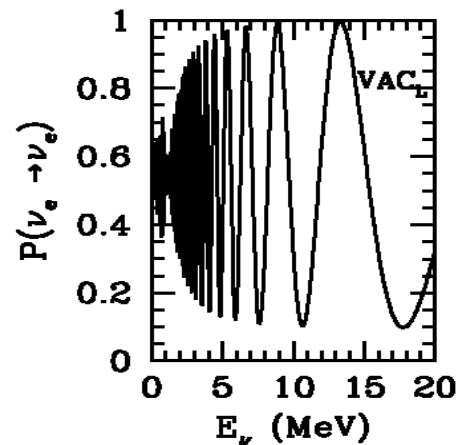
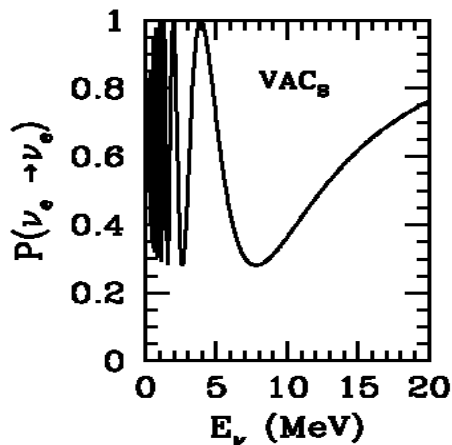
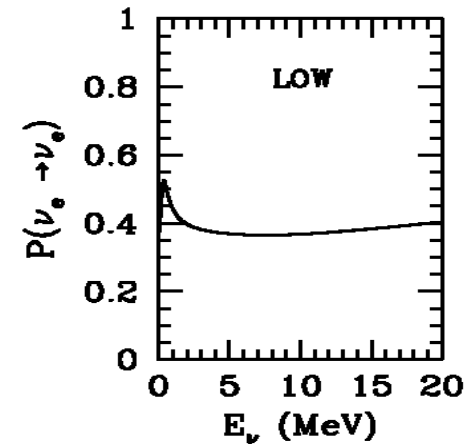
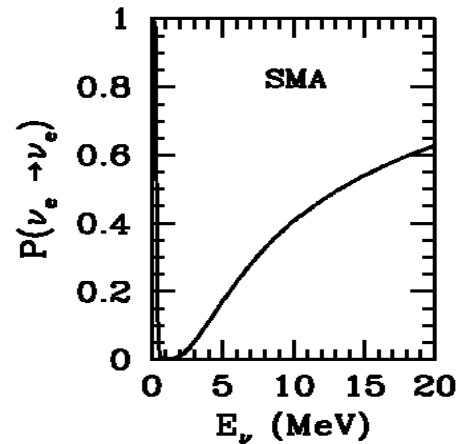
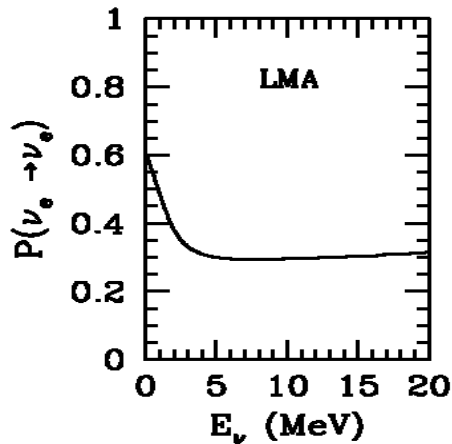
LOW solution (LOW)

Vacuum Oscillation solution (VO)

Solare Neutrinoexperimente der nächsten Generation

Anforderungen:

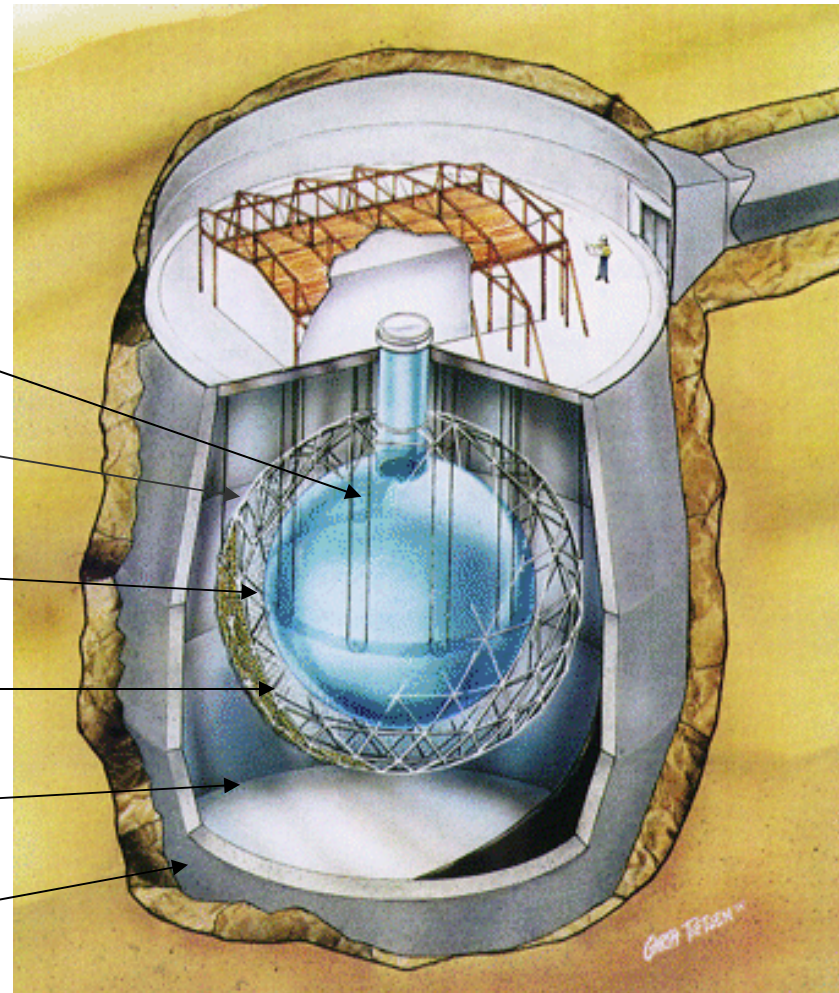
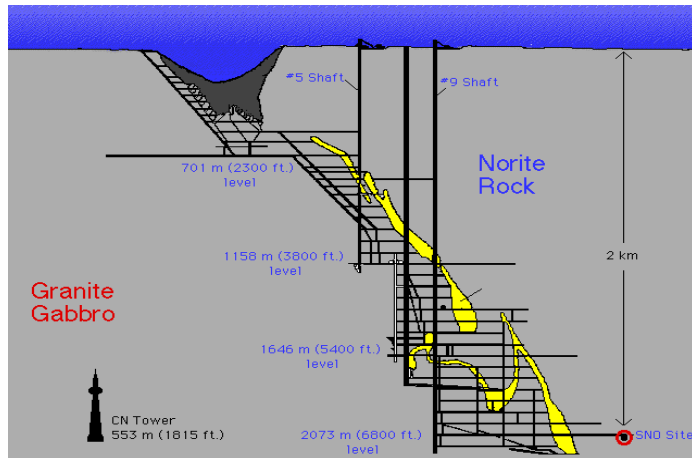
- Echtzeit (Tag/Nacht-Asymmetrie, L Variation)
- Spektrale Information



- Flavour Information, zeige: $\nu_e \rightarrow \nu_x$

Das Sudbury Neutrino Observatory SNO

Creighton Mine: 2km tief
in Sudbury, Ontario, Kanada



1000 t D₂O

Haltestruktur für 9500
Lichtdetektoren
(Photomultiplier)

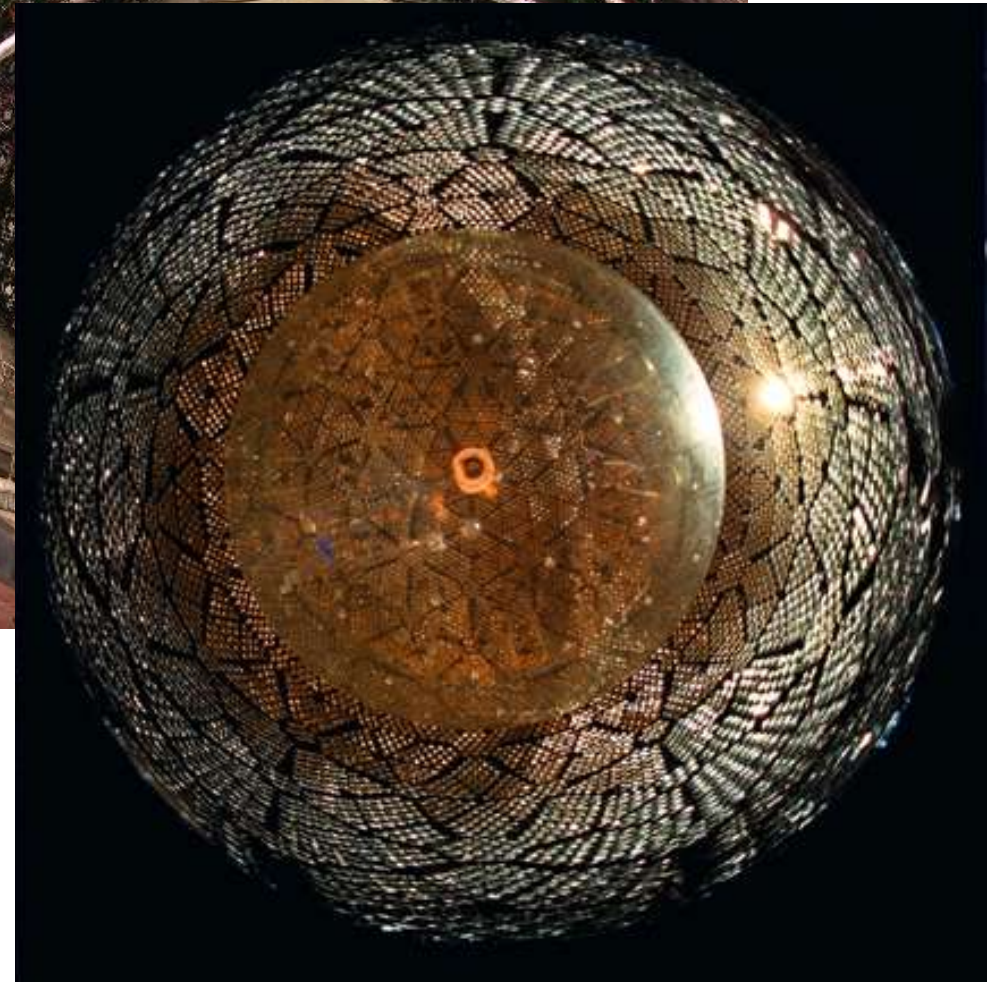
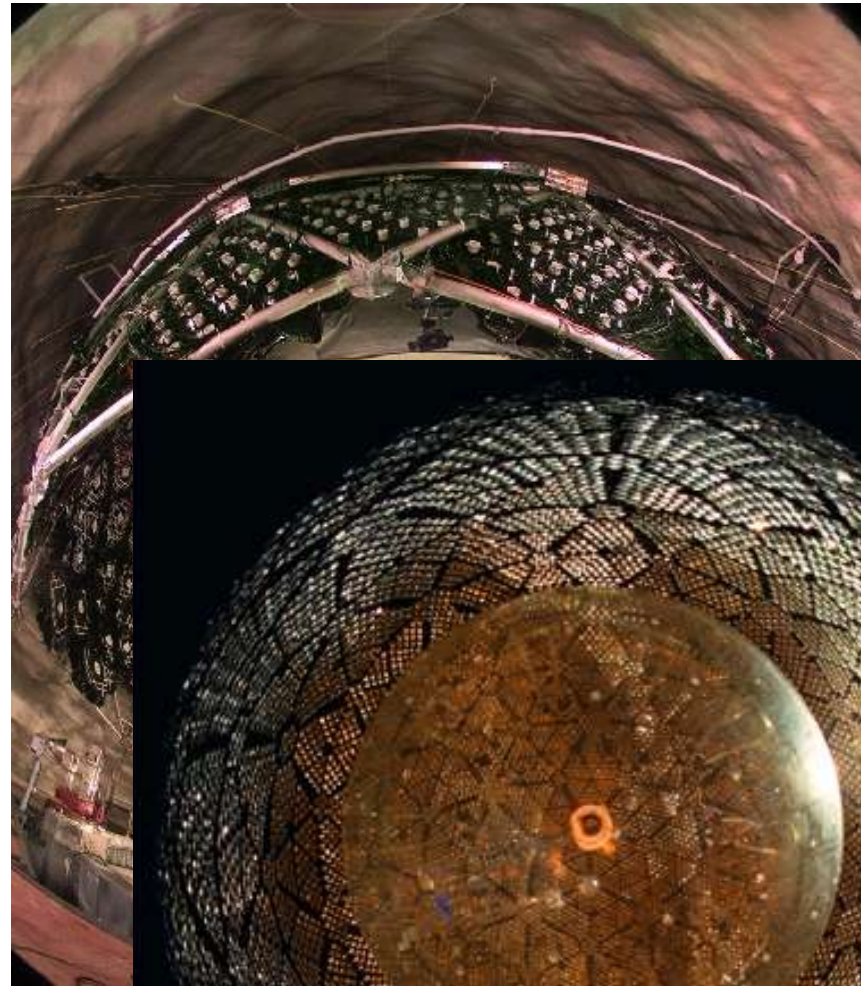
12 m Diameter
Acrylic Vessel

1700 t Innere
Abschirmung, H₂O

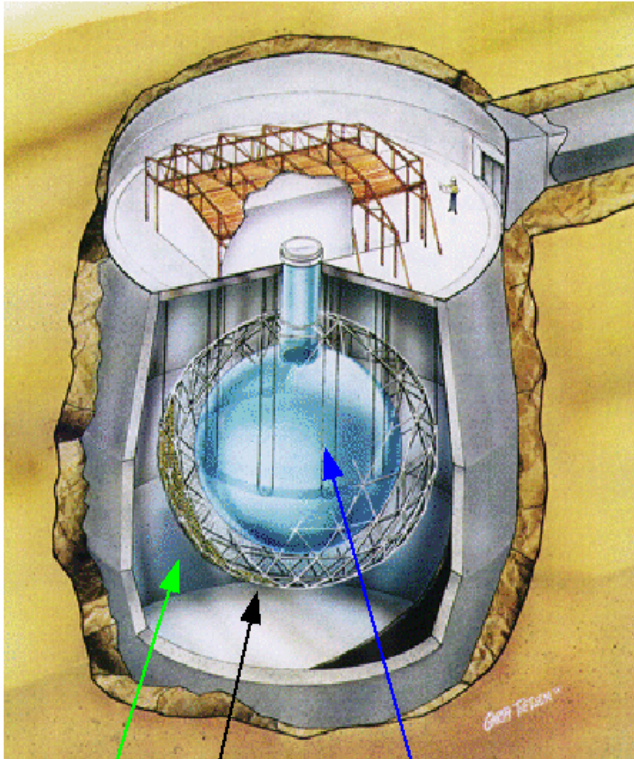
5300 t äußere
Abschirmung, H₂O

Urylon Versiegelung

SNO während der Konstruktion (in einem Klasse 2000 Reinraum)

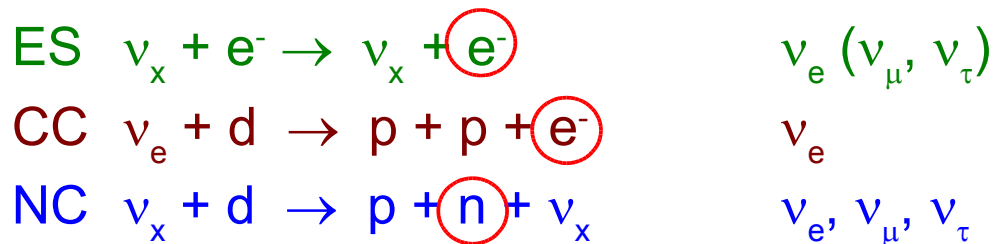


Das Sudbury Neutrino Observatory SNO

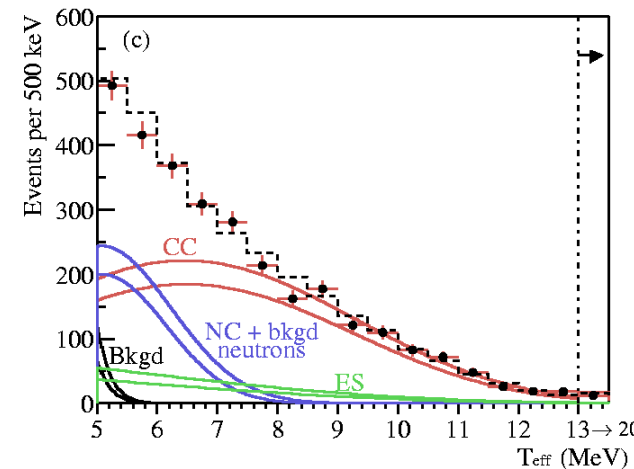
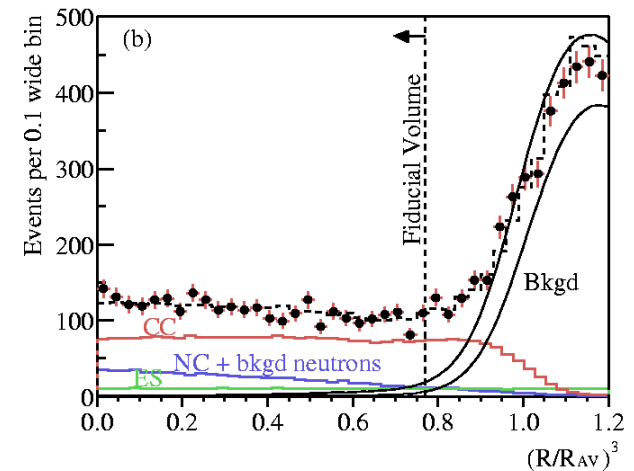
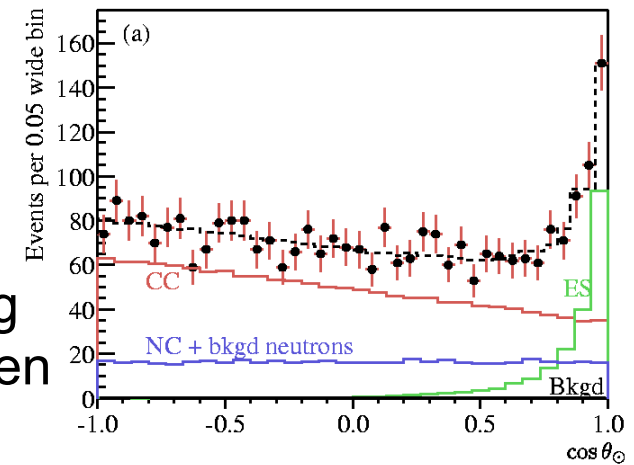


1000 t D_2O
 9500 8" PMTs
 5300 t H_2O

Wasser-Cherenkov-Detektor D_2O :



Unterscheidung
 der verschiedenen
 Reaktionen:



Neutrino fluxes from SNO (PRL89 (2002) 011301)

Standard solar model [$10^6 \text{ cm}^{-2}\text{s}^{-1}$]:

Measured fluxes [$10^6 \text{ cm}^{-2}\text{s}^{-1}$]:

$$\Phi_{\text{SSM}} = 5.05^{+1.01}_{-0.81}$$

$$\Phi_{\text{CC}} = 1.76^{+0.06}_{-0.05} \quad ^{+0.09}_{-0.09}$$

$$\Phi_{\text{ES}} = 2.39^{+0.24}_{-0.23} \quad ^{+0.12}_{-0.12}$$

$$\Phi_{\text{NC}} = 5.09^{+0.44}_{-0.43} \quad ^{+0.46}_{-0.43}$$

Neutrino fluxes:

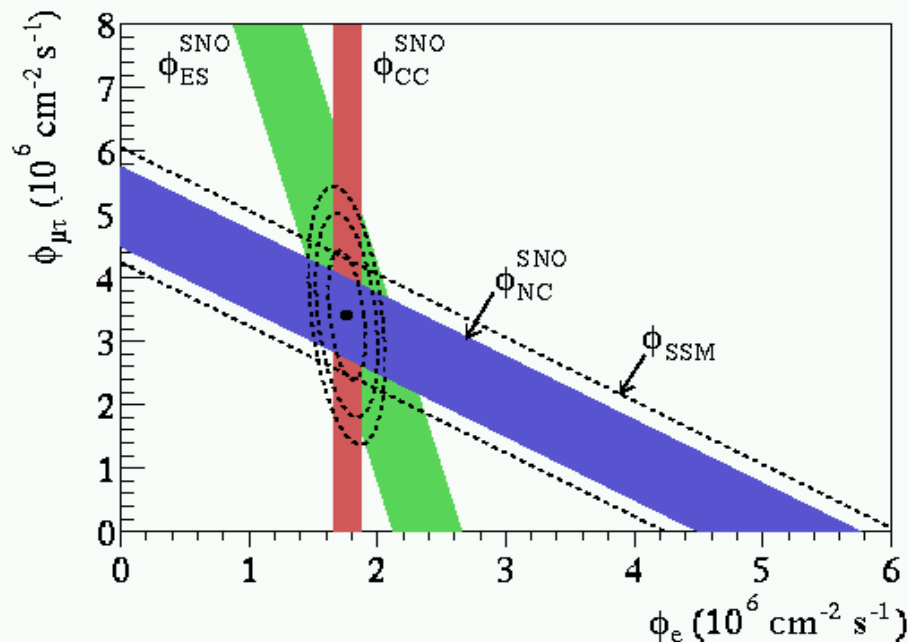
$$\Phi_e = \Phi(\nu_e), \quad \Phi_{\mu\tau} = \Phi(\nu_\mu) + \Phi(\nu_\tau)$$

Relations:

$$\Phi_{\text{CC}} = \Phi_e$$

$$\Phi_{\text{ES}} = \Phi_e + 0.154 \Phi_{\mu\tau}$$

$$\Phi_{\text{NC}} = \Phi_e + \Phi_{\mu\tau}$$



$$\Phi_e = 1.76^{+0.06}_{-0.05} \quad ^{+0.09}_{-0.09}$$

$$\Phi_{\mu\tau} = 3.41^{+0.45}_{-0.45} \quad ^{+0.48}_{-0.45} \quad (\neq 0 \text{ with } 5.3 \sigma)$$

$\Rightarrow \nu$ do oscillate

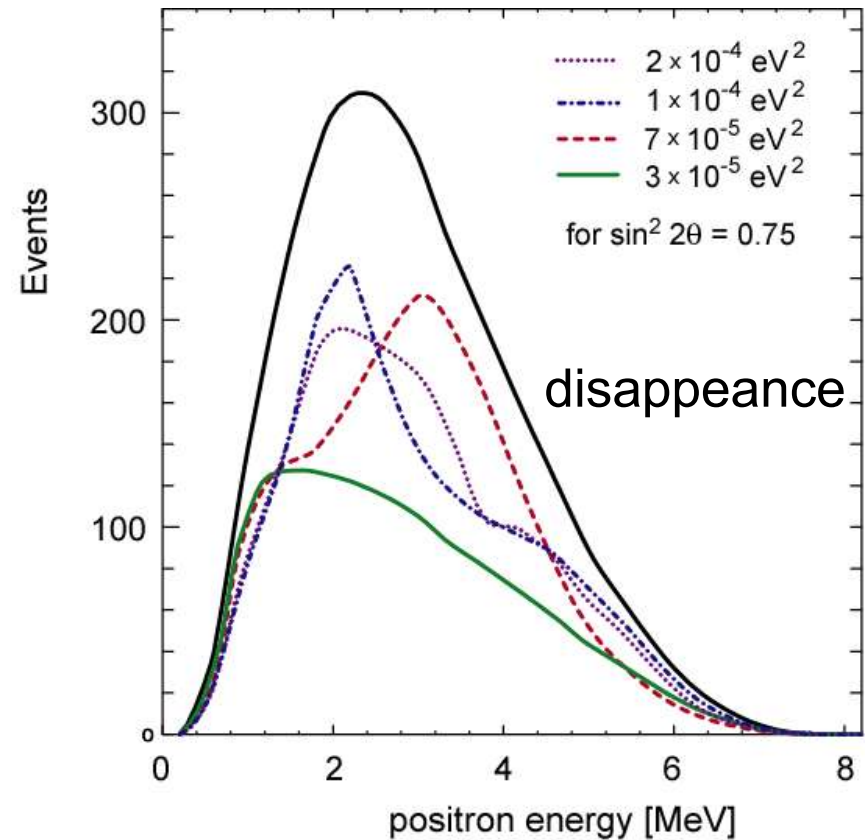
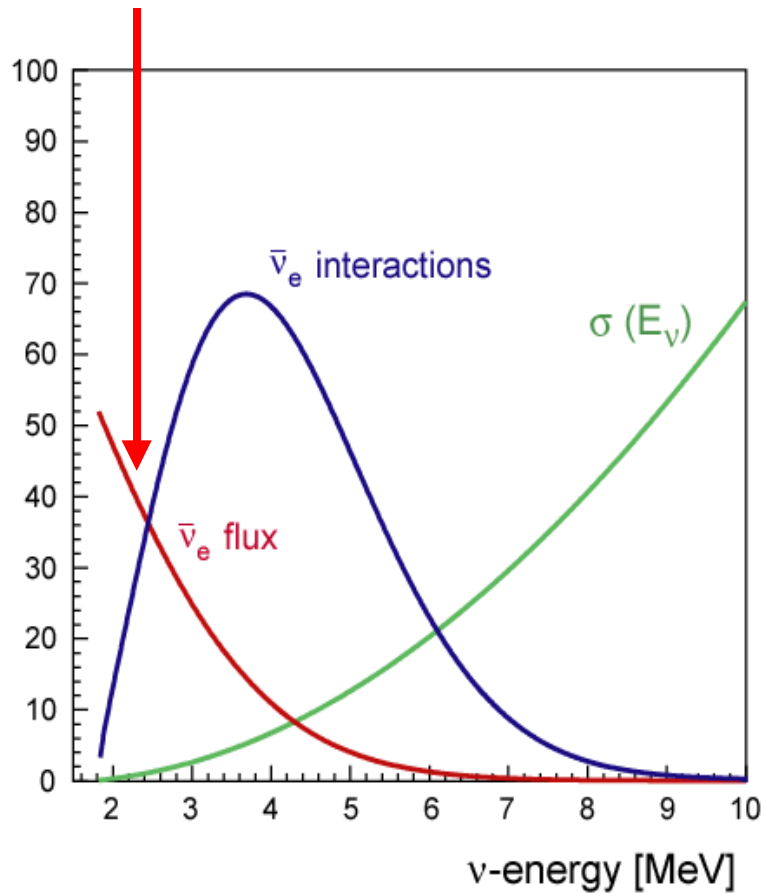
$$\Phi_{e\mu\tau} = 5.09^{+0.44}_{-0.43} \quad ^{+0.46}_{-0.43} \approx \Phi_{\text{SSM}}$$

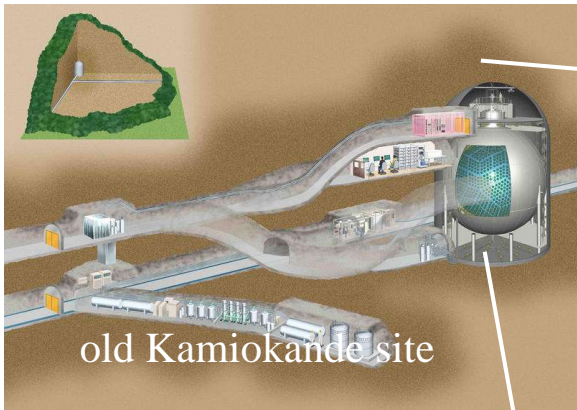
\Rightarrow no solar ν deficit

Reaktor ν -Experimente

Inverser β -Zerfall: $\bar{\nu}_e + p \rightarrow e^+ + n - 1.80 \text{ MeV}$

Summe von β -Spektren der Spaltprodukte





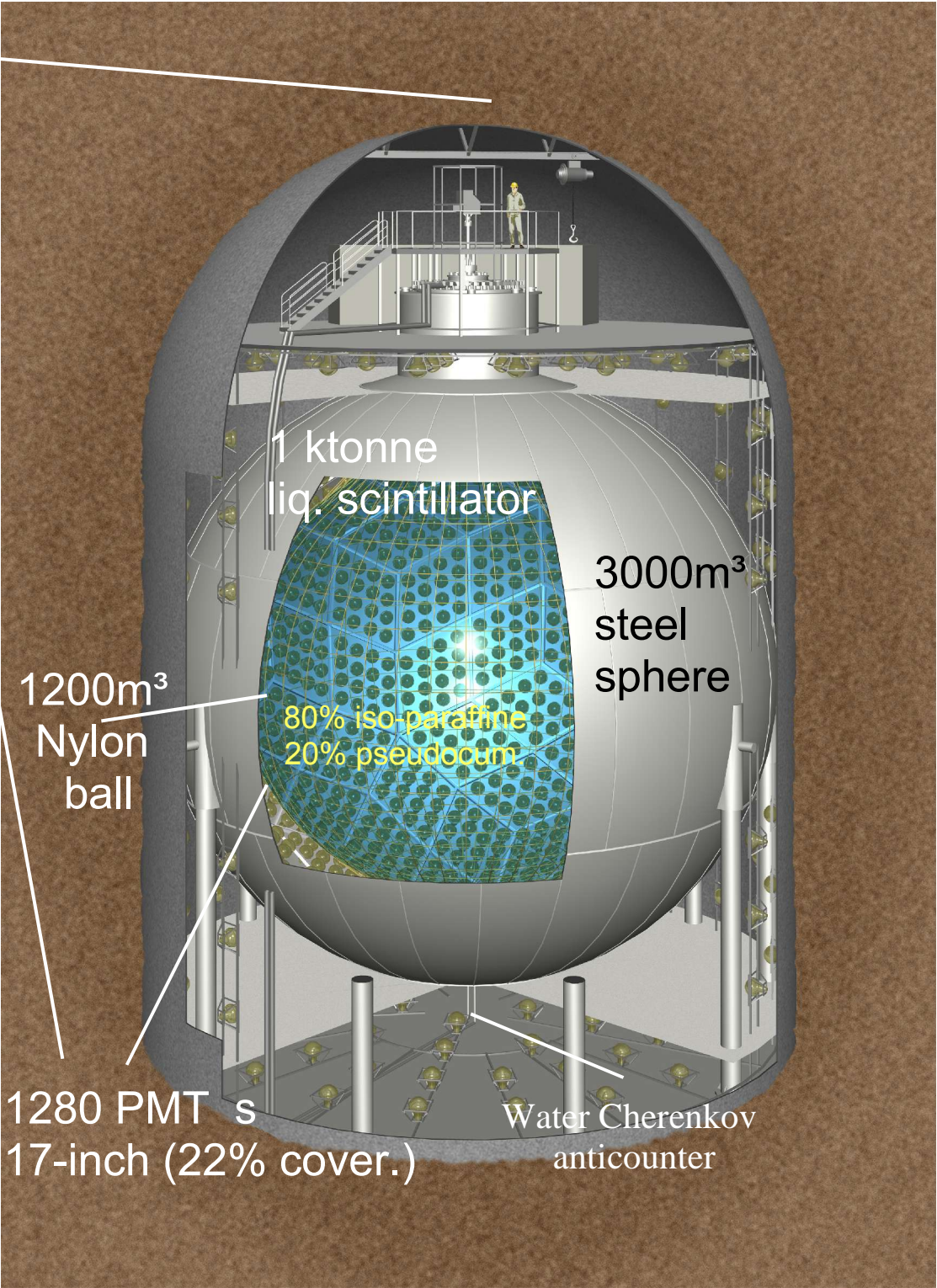
old Kamiokande site

KamLAND

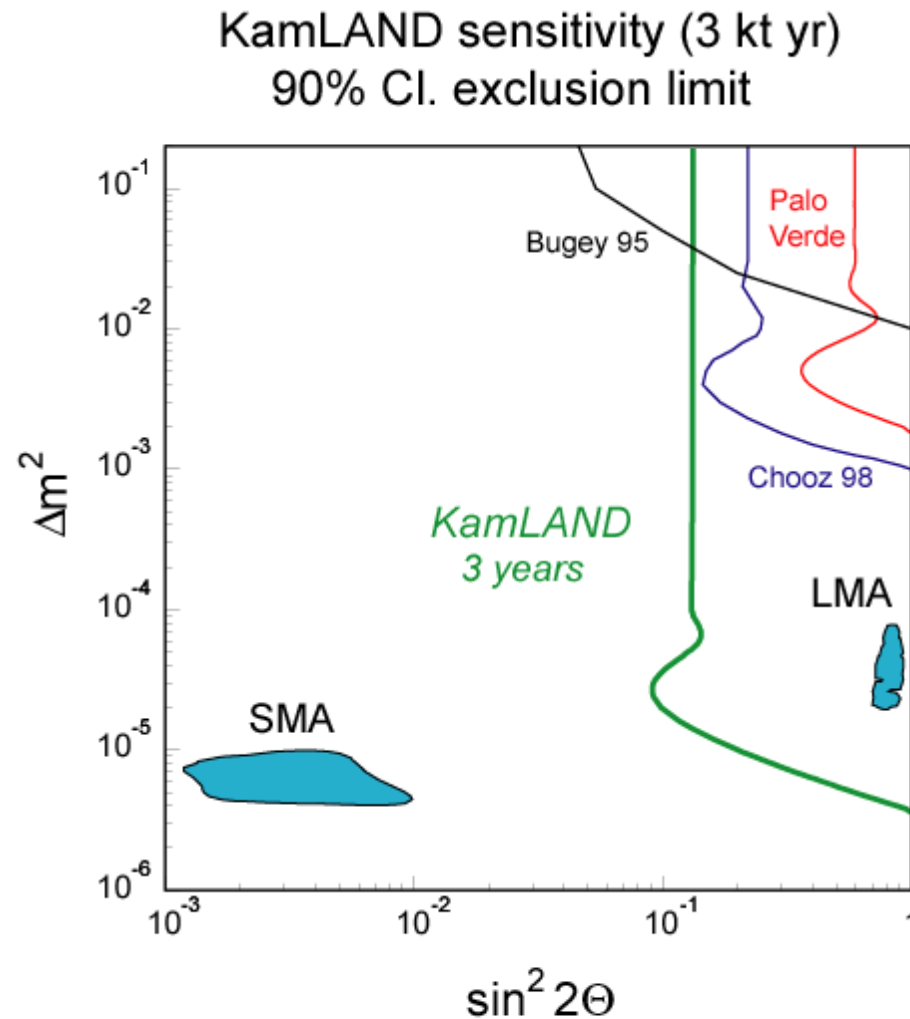
**Kamioka Liquid Scintillator
Anti-Neutrino Detector**

**J-US long-baseline
reactor oscillation experiment:
disappearance of reactor ν_e s?**

aim: **experimental test of
LMA solution of solar ν
using terrestrial neutrinos
(25% of world electr. power)**

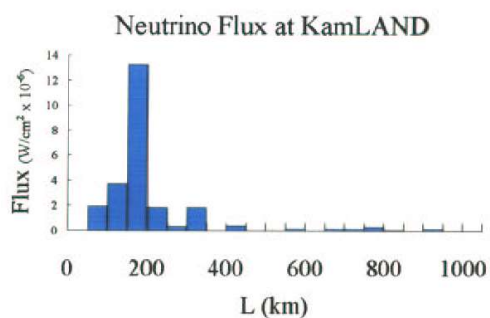
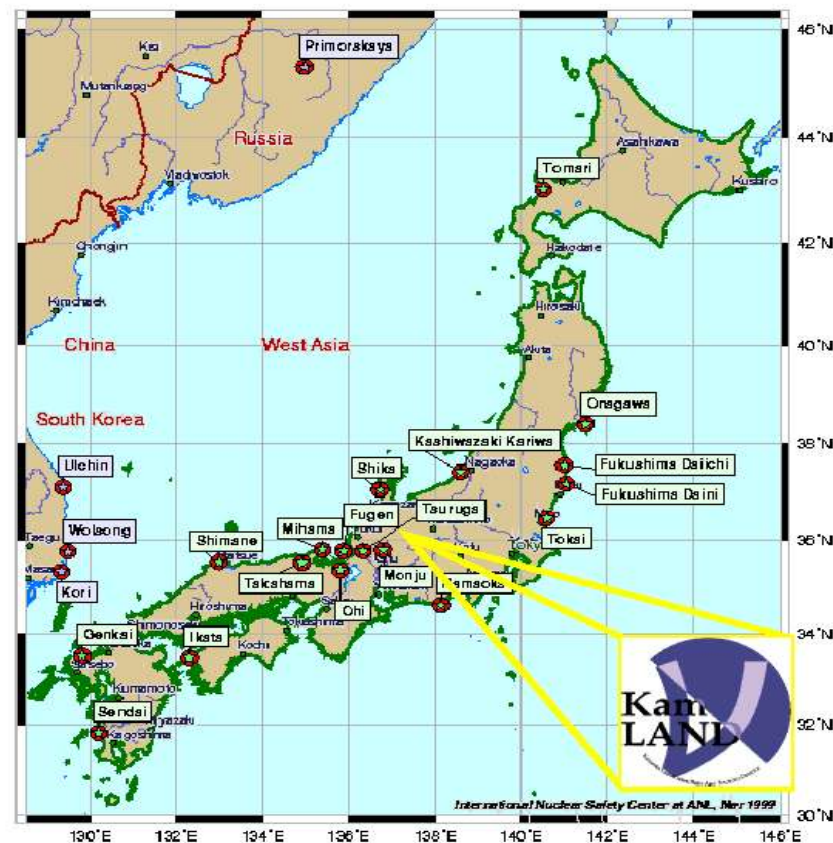
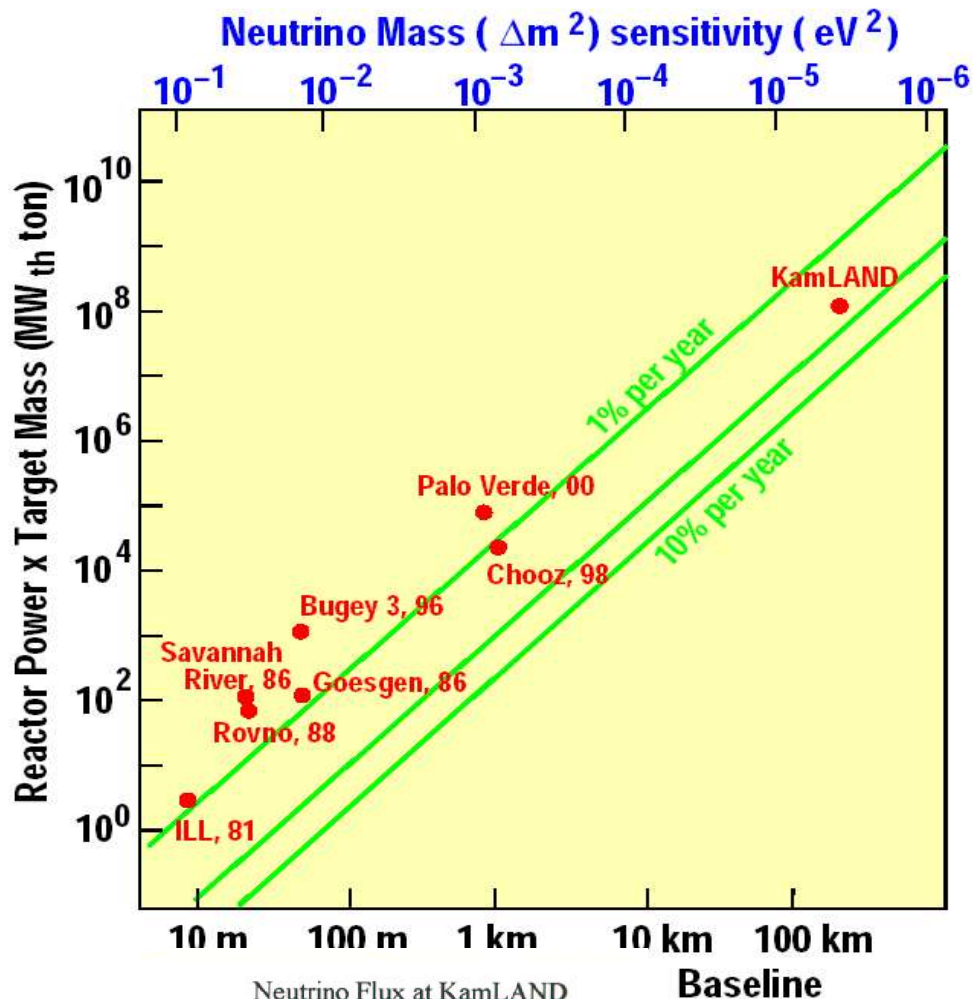


KamLAND: long base-line Reaktorneutrinoexperiment



Erster Labortest von LMA !

Benutze alle japanischen und koreanischen Reaktoren für KamLAND



KamLAND: Evidenz für $\bar{\nu}_e$ disappearance

Start Datennahme: Febr. 2002

Ergebnis von Neutrino 2004, Juni 2004

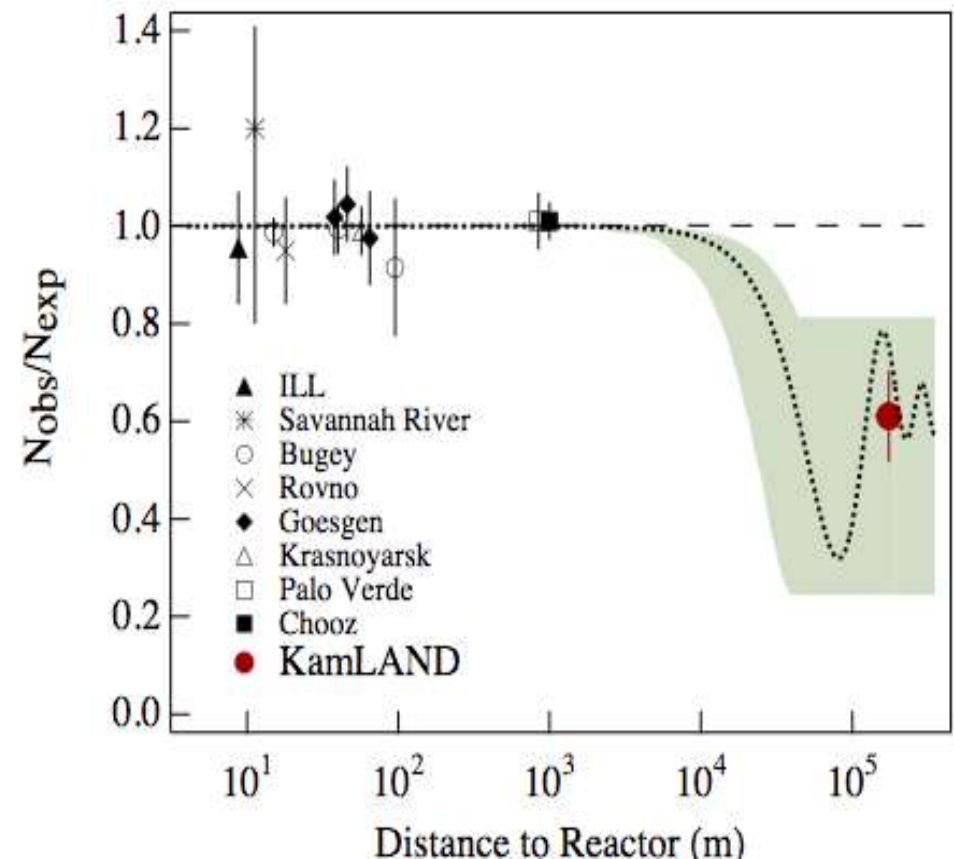
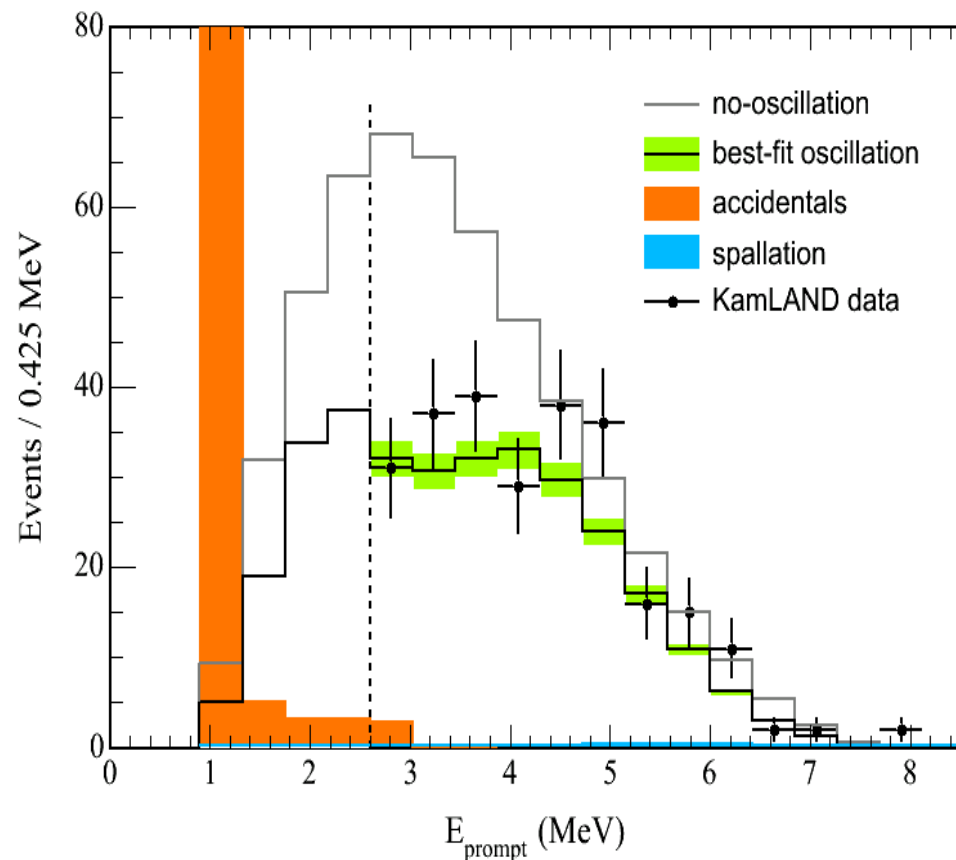
Expected #events: 365 \pm 24

Background #events: 7.5 \pm 1.3 \Rightarrow R = 0.686 \pm 0.044 \pm 0.045

Observed #events: 258

515.1 days of data taking

145.1 days of data taking

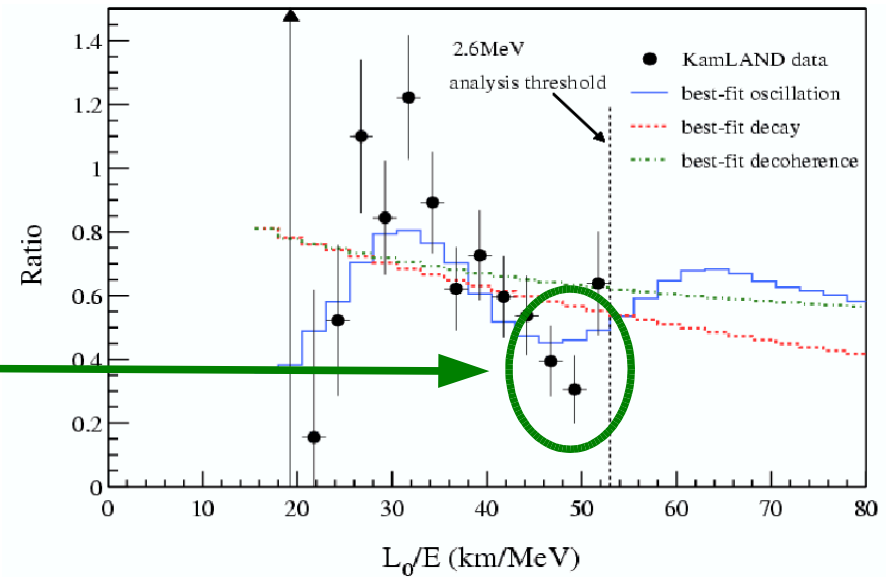


KamLAND und solare Neutrinoexperimente

KamLAND (Reaktor- ν)

(G. Gratta, *Neutrino 2004*)

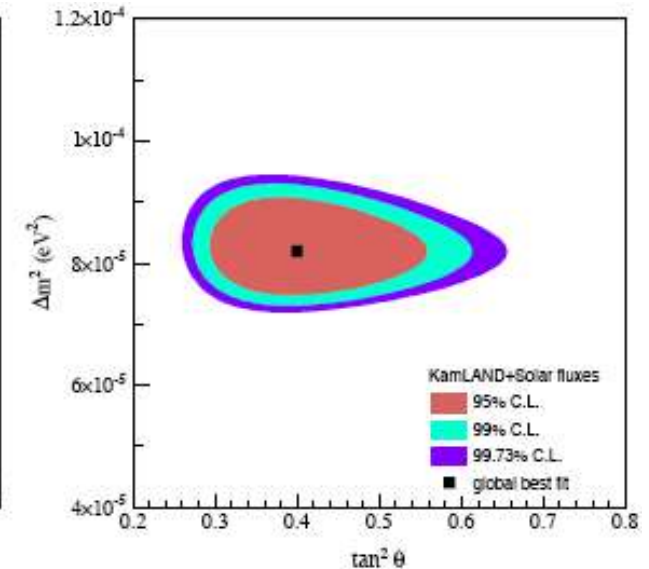
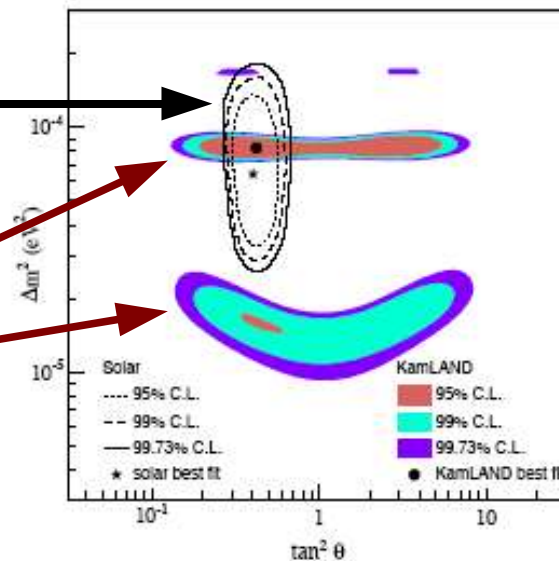
Oszillatorischer Charakter



Übereinstimmung der Oszillationsparameter

Solare Neutrinos
(SNO et al.)

Reaktor Neutrinos
(KamLAND)



Ergebnisse der Oszillationsexperimente mit atmosphärischen und Beschleunigerneutrinos

Atmosphärische Neutrinos:

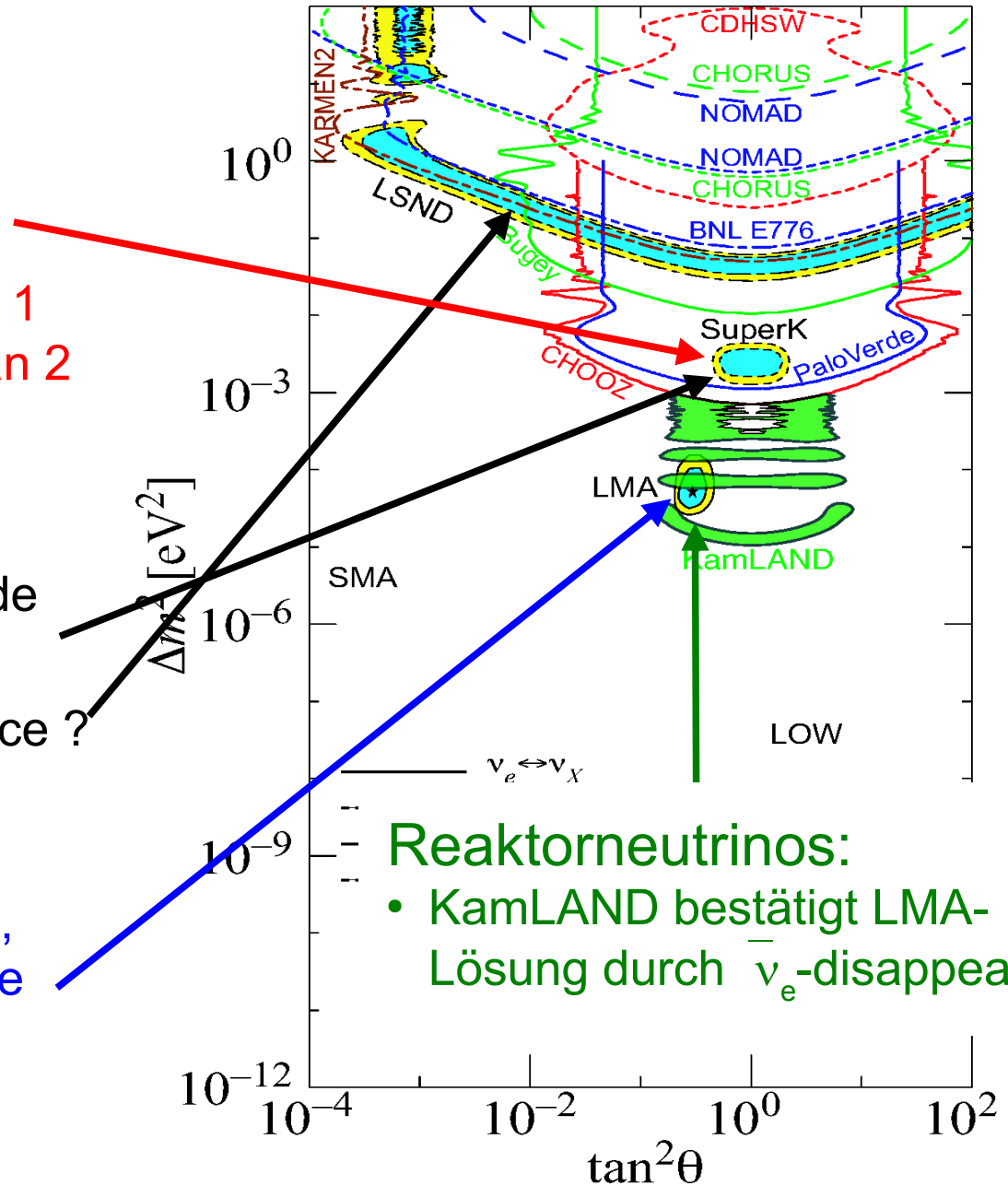
- Super-Kamiokande
- $\nu_\mu \rightarrow \nu_\tau$ -Oszillation:
 $\Delta m^2 \approx 2 \times 10^{-3} \text{ eV}^2$ und $\sin^2(2\theta) \approx 1$
- bestätigt durch MACRO, Soudan 2

Beschleunigerneutrinos:

- K2K bestätigt Super-Kamiokande durch ν_μ -Disappearance
- Sieht LSND $\bar{\nu}_\mu \rightarrow \bar{\nu}_e$ -Appearance?

Solare Neutrinos:

- Homestake, Gallex, Sage, GNO, Kamiokande, Super-Kamiokande
- SNO: $\nu_e \rightarrow \nu_{\mu\tau}$ -Oszillation:
 $\Delta m^2 \approx 8 \times 10^{-5} \text{ eV}^2$ und $\theta \approx 32^\circ$

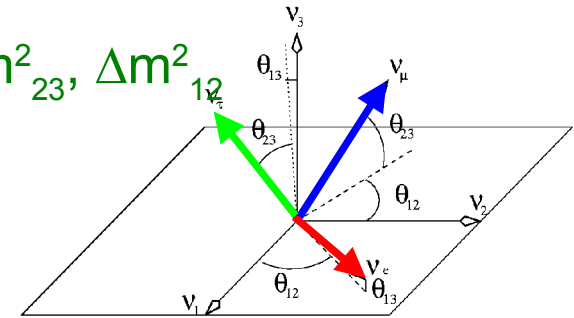
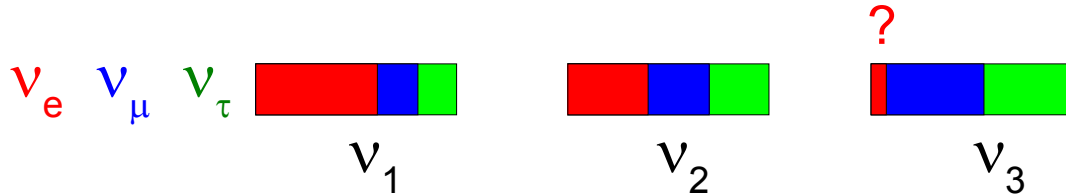


Reaktorneutrinos:

- KamLAND bestätigt LMA-Lösung durch $\bar{\nu}_e$ -disappearance

Status und Ausblick der Oszillationsexperimente

Resultate der neuesten Oszillationsexperimente: Θ_{23} , Θ_{12} , Δm^2_{23} , Δm^2_{12}



mit Neutrinomischungsmatrix, i.a. komplex (2 Majorana-, 1 CP-Phase):

$$U = \underbrace{\begin{pmatrix} c_{12}c_{13} & s_{12}c_{13} & s_{13}e^{-i\delta} \\ -s_{12}c_{23} - c_{12}s_{23}s_{13}e^{i\delta} & c_{12}c_{23} - s_{12}s_{23}s_{13}e^{i\delta} & s_{23}c_{13} \\ s_{12}s_{23} - c_{12}c_{23}s_{13}e^{i\delta} & -c_{12}s_{23} - s_{12}c_{23}s_{13}e^{i\delta} & c_{23}c_{13} \end{pmatrix}}_{\text{wie CKM-Matrix}} \cdot \underbrace{\begin{pmatrix} e^{i\alpha_1/2} & 0 & 0 \\ 0 & e^{i\alpha_2/2} & 0 \\ 0 & 0 & 1 \end{pmatrix}}_{\text{Majoranaphasen, spielen bei Osz. keine Rolle}}$$

Was fehlt noch:

- 1) genauere Bestimmung der quadratischen Massendifferenzen und Mischungswinkel
- 2) Θ_{13}
- 3) komplexe Phase δ

3 Flavor-Neutrinooszillation

Generelle 3-Flavor Oszillationsformel (ohne Materieeffekt):

$$P(\nu_\alpha \rightarrow \nu_\beta) = \left| \sum_i U_{\beta i} \exp^{-i(E_i t)} U_{\alpha i}^* \right|^2$$

Reaktor disappearance:

$$P(\bar{\nu}_e \rightarrow \bar{\nu}_e) = 1 - 4|U_{e1}|^2|U_{e2}|^2 \cdot \sin^2 \frac{\Delta m_{12}^2 L}{4E} \\ - 4|U_{e1}|^2|U_{e3}|^2 \cdot \sin^2 \frac{\Delta m_{13}^2 L}{4E} \\ - 4|U_{e2}|^2|U_{e3}|^2 \cdot \sin^2 \frac{\Delta m_{23}^2 L}{4E}$$

solare: $\Delta m_{12}^2 = \Delta m_{\text{solar}}^2$

atmosph: $\Delta m_{13}^2 \approx \Delta m_{\text{atm}}^2 \approx \Delta m_{23}^2$

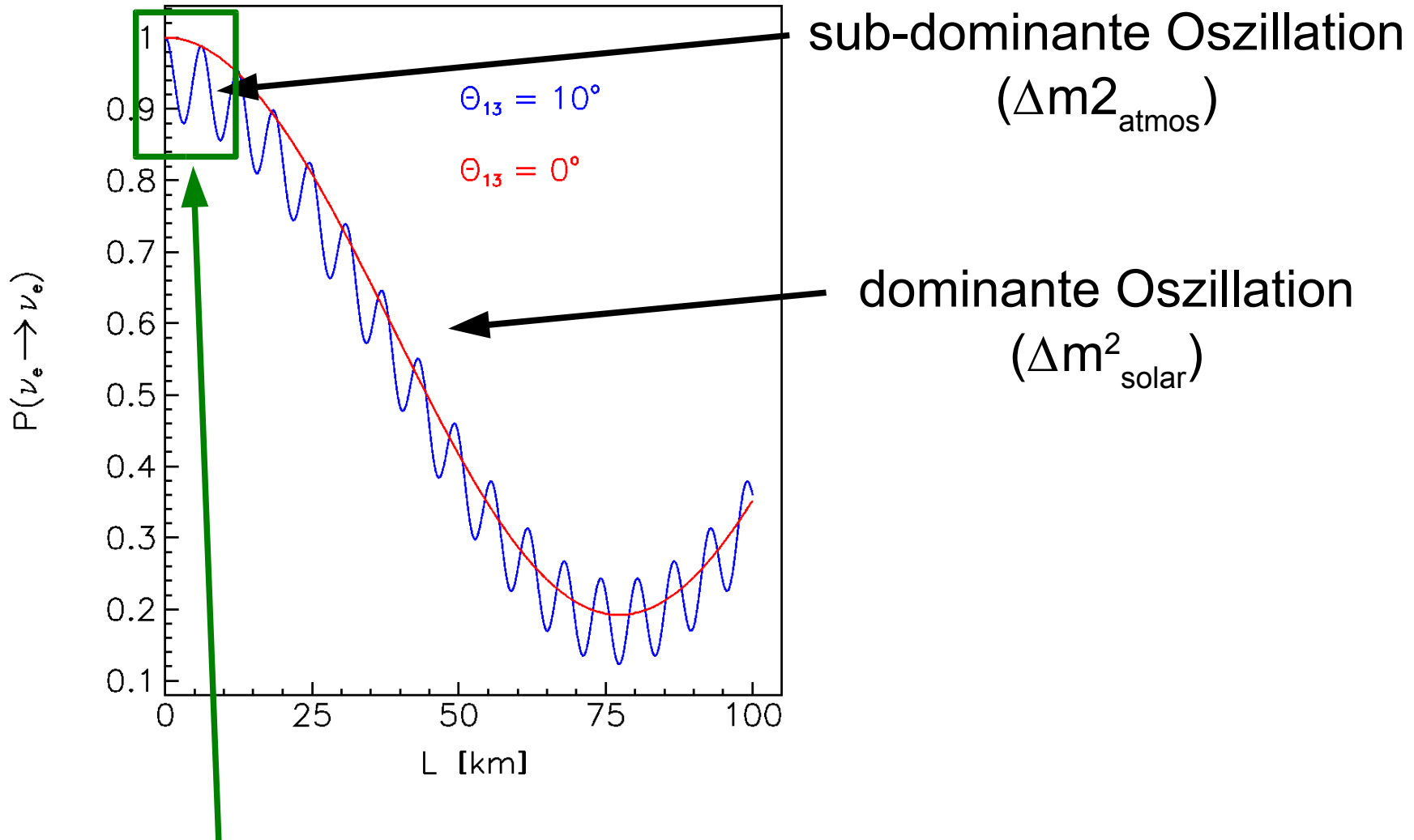
$$= 1 - \sin^2(2\theta_{13}) \sin^2 \frac{\Delta m_{\text{atm}}^2 L}{4E} - \cos^4(\theta_{13}) \sin^2(2\Theta_{\text{solar}}) \sin^2 \frac{\Delta m_{\text{solar}}^2 L}{4E}$$

mit Neutrinomischungsmatrix, i.a. komplex (2 Majorana-, 1 CP-Phase):

$$U = \underbrace{\begin{pmatrix} c_{12}c_{13} & s_{12}c_{13} & s_{13}e^{-i\delta} \\ -s_{12}c_{23} - c_{12}s_{23}s_{13}e^{i\delta} & c_{12}c_{23} - s_{12}s_{23}s_{13}e^{i\delta} & s_{23}c_{13} \\ s_{12}s_{23} - c_{12}c_{23}s_{13}e^{i\delta} & -c_{12}s_{23} - s_{12}c_{23}s_{13}e^{i\delta} & c_{23}c_{13} \end{pmatrix}}_{\text{wie CKM-Matrix}} \cdot \underbrace{\begin{pmatrix} e^{i\alpha_1/2} & 0 & 0 \\ 0 & e^{i\alpha_2/2} & 0 \\ 0 & 0 & 1 \end{pmatrix}}_{\text{Majoranaphasen, spielen bei Osz. keine Rolle}}$$

Bestimmung von Θ_{13}

$E_\nu = 5 \text{ MeV}$



Messe Reaktor $\bar{\nu}_e$ disappearance: $L \approx 1 \text{ km}$

Neutrinoflussbestimmung mit nahem identischem Detektor,
z.B. Double-CHOOZ-Experiment

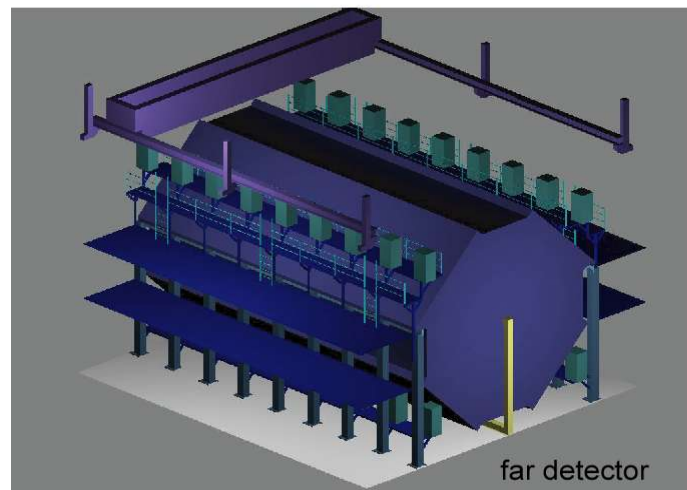
Im Aufbau befindliche long baseline Experimente

Fermilab → Sudan (730 km): MINOS: ab 2005
Suche nach ν_μ disappearance und
indirekter ν_τ appearance (NC/CC):



MINOS *Main Injector Neutrino Oscillation Search*

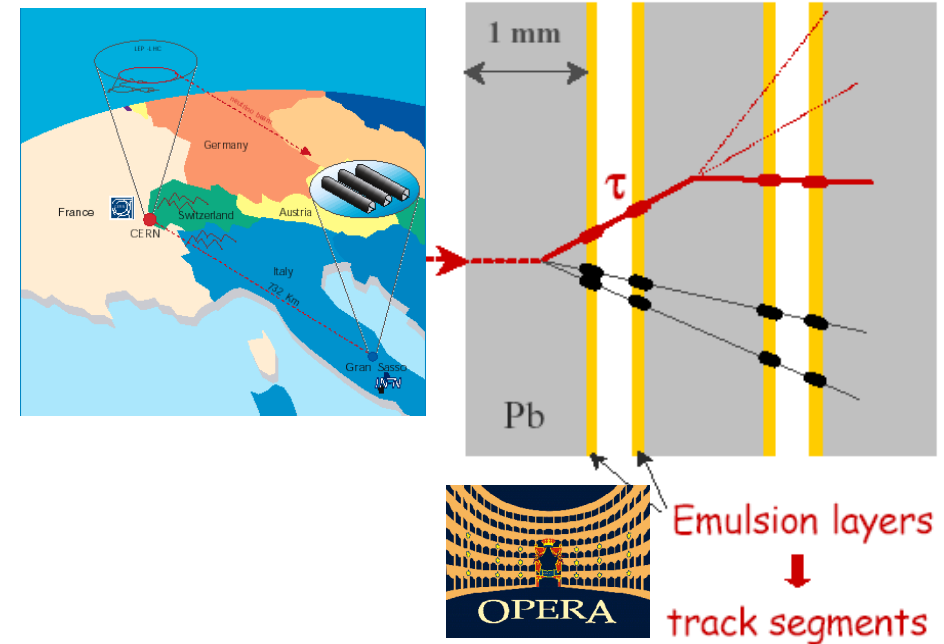
LBL experiment (ν_μ -disappearance) FermiLab-Soudan (732 km)
Main Injector 120 GeV p: 5×10^{13} ppp / 1.9 s horns, 675 m decay tunnel



- near detector:
300 m from beam stop
- far detector :
5.4 kton iron - scintillator
sampling calorimeter
- Magnetized Fe Plates
- Scintillator Strips
with WLS read out

CERN → Gran Sasso (732 km), ab 2006
ICARUS: Suche nach ν_μ disappearance
und indirekter ν_τ appearance

OPERA: direkte ν_τ appearance



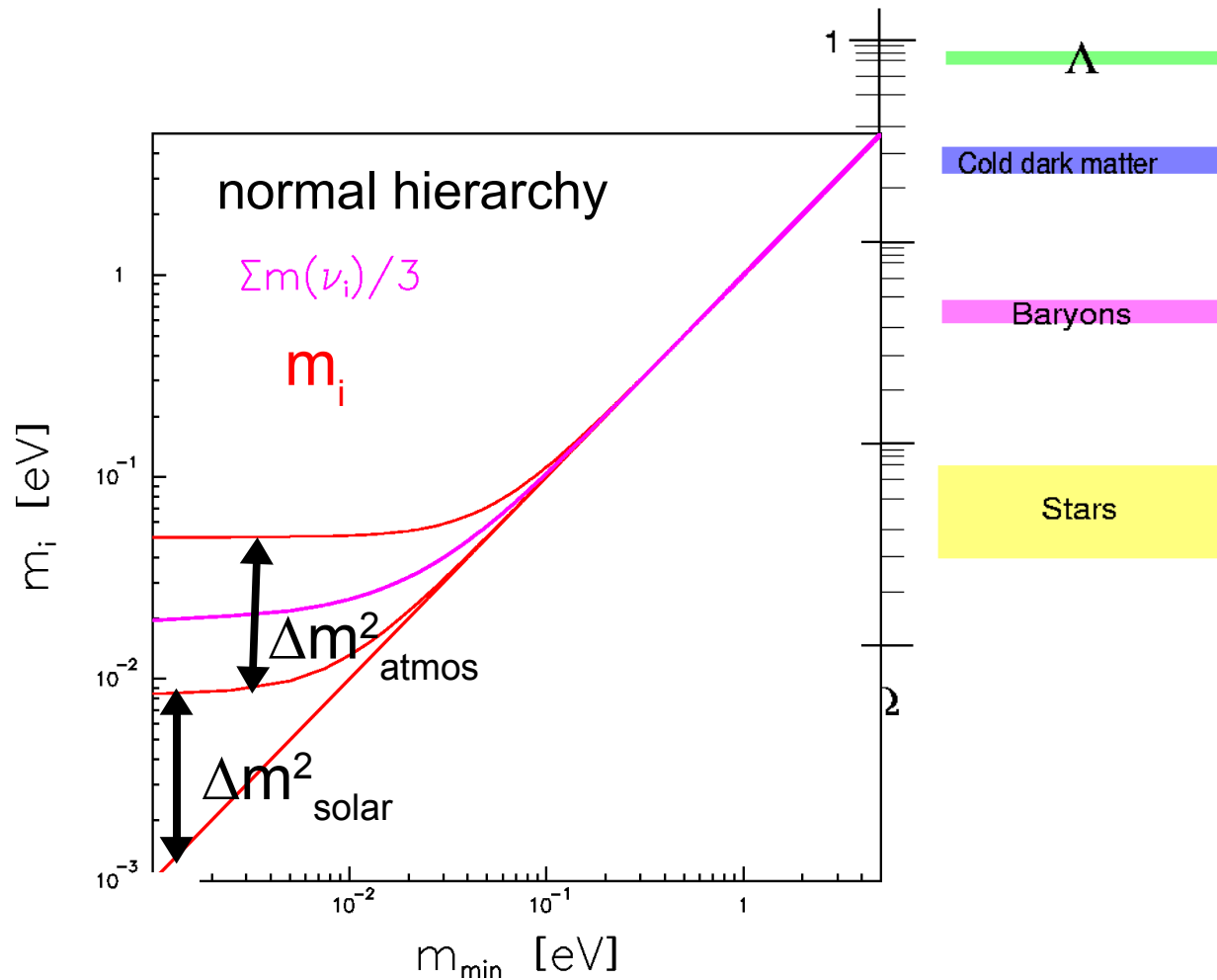
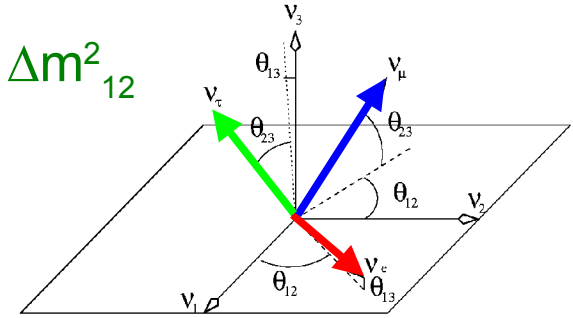
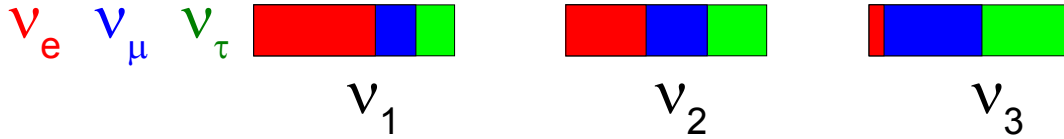
Bestätigung des LSND-Signals:
MiniBoone am Fermilab (seit 2003)

Alle (außer Miniboone) haben auch
 Θ_{13} -Empfindlichkeit

JPARC, ab 2008/9:
JAERI/Tokai → Super-Kamiokande

Absolute ν mass determination

Results of recent oscillation experiments: Θ_{23} , Θ_{12} , Δm^2_{23} , Δm^2_{12}

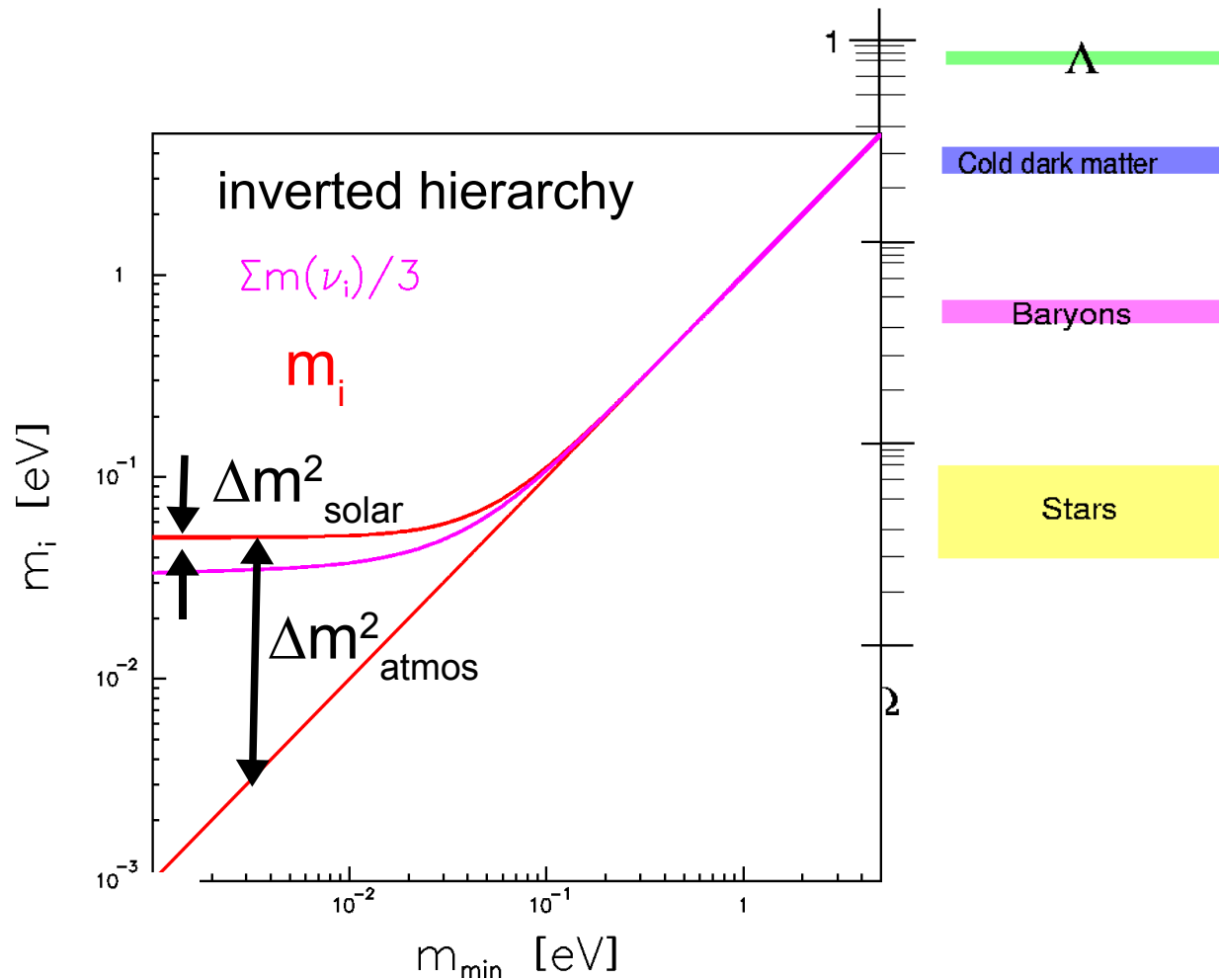
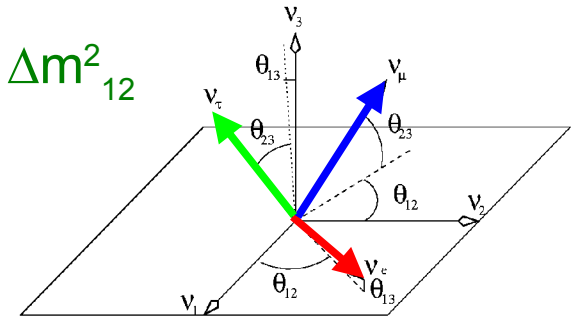
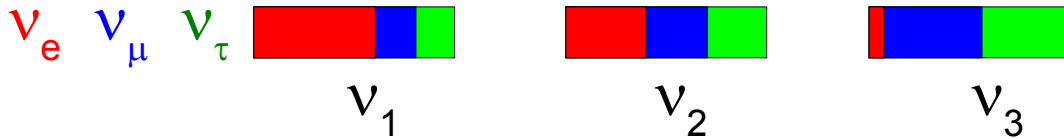


Motivation:

- 1) distinguish hierarchical and degenerate masses (\rightarrow theory beyond SM)
- 2) check cosmological relevance (\rightarrow ν hot Dark Matter)

Absolute ν mass determination

Results of recent oscillation experiments: Θ_{23} , Θ_{12} , Δm^2_{23} , Δm^2_{12}

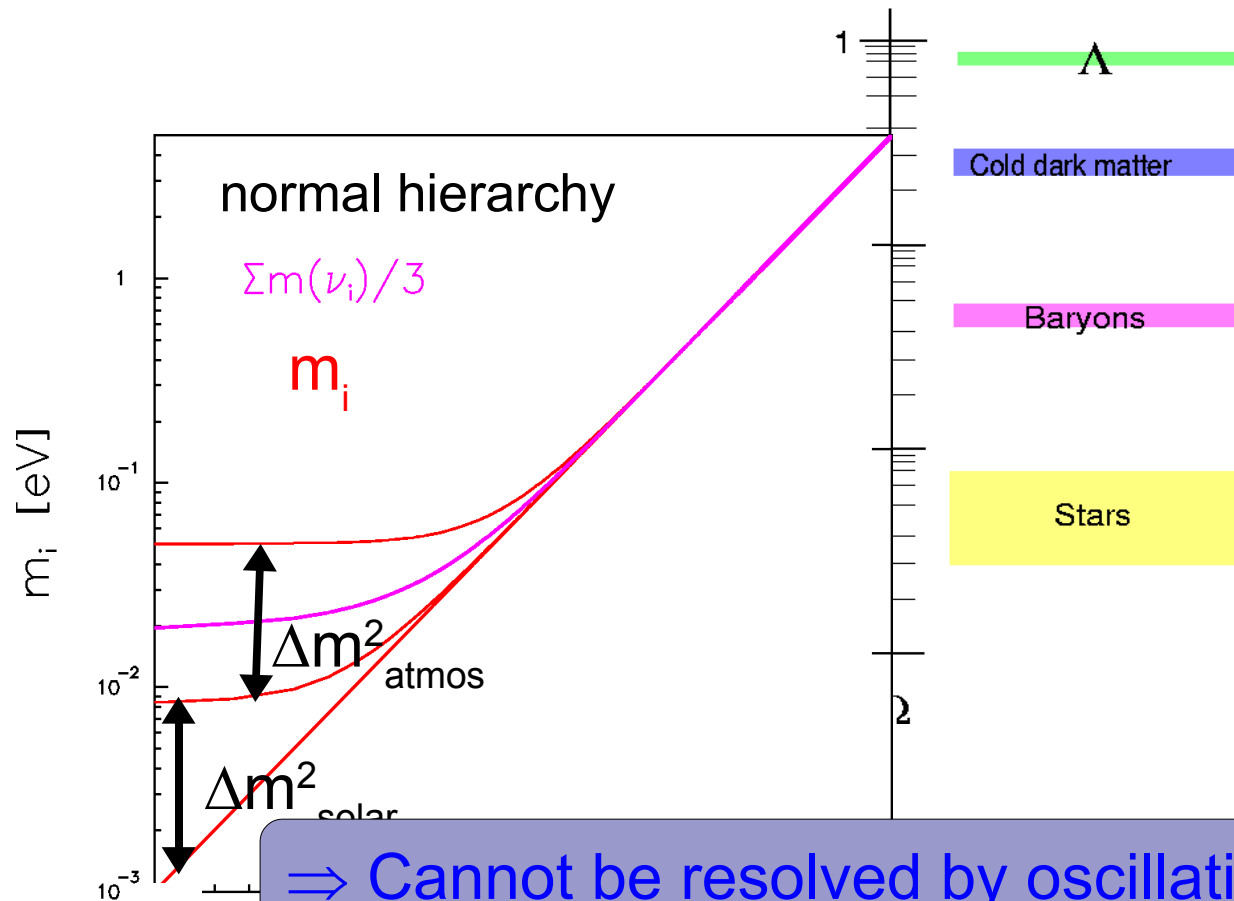
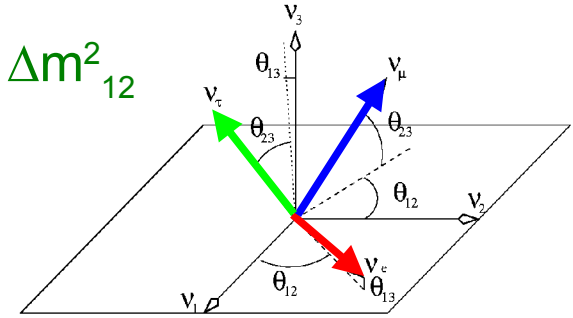
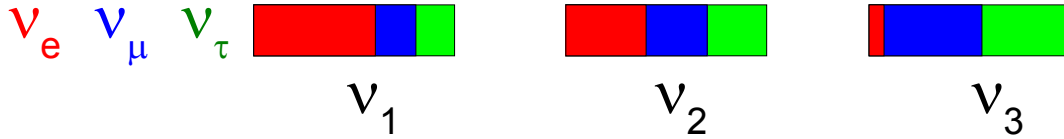


Motivation:

- 1) distinguish hierarchical and degenerate masses
(\rightarrow theory beyond SM)
- 2) check cosmological relevance
($\rightarrow \nu$ hot Dark Matter)

Absolute ν mass determination

Results of recent oscillation experiments: Θ_{23} , Θ_{12} , Δm^2_{23} , Δm^2_{12}



Motivation:

- 1) distinguish hierarchical and degenerate masses
(\rightarrow theory beyond SM)
- 2) check cosmological relevance
($\rightarrow \nu$ hot Dark Matter)

\Rightarrow Cannot be resolved by oscillation experiments !
 need absolute neutrino mass scale !

Das Karlsruher Tritium Neutrinoexperiment KATRIN



(Letter of Intent: hep-ex/0109033)



Physikalisches Ziel:

Sensitivität auf Neutrinomassenskala: $m(\nu) \approx 0.2 \text{ eV}$

- **Höhere Energieauflösung: $\Delta E \approx 1 \text{ eV}$**

da $E/\Delta E \sim A_{\text{spectrometer}}$

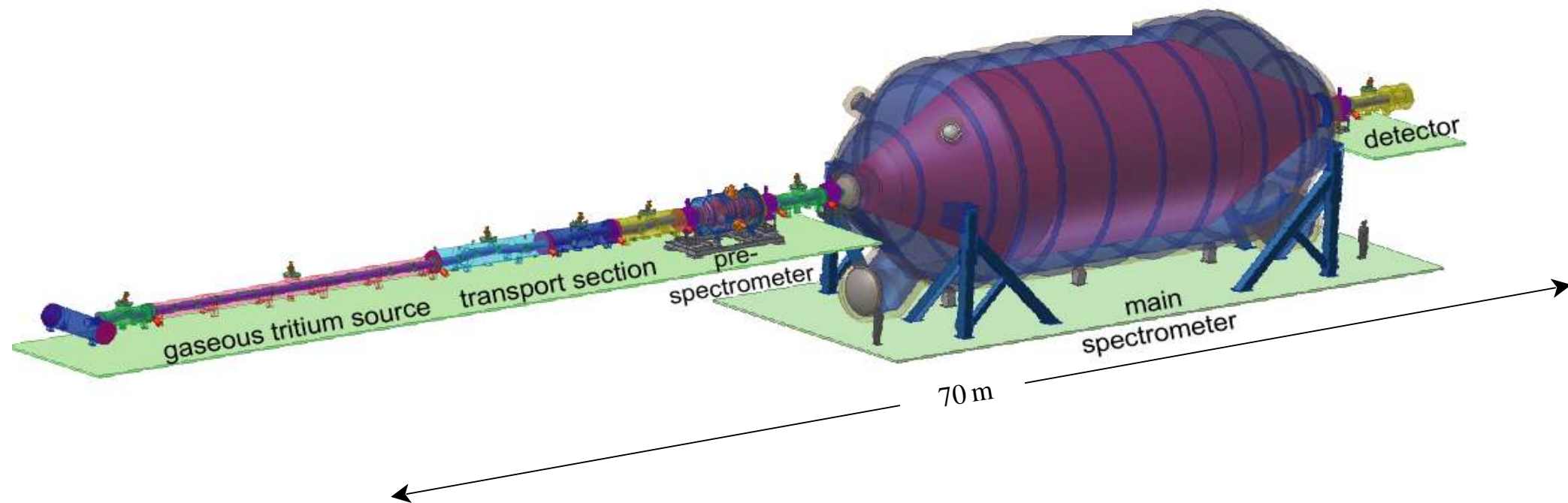
\Rightarrow größeres Spektrometer

- **Relevanter Bereich unterhalb des Endpunkts ist kleiner**

noch weniger Zählrate $dN/dt \sim A_{\text{spectrometer}}$

\Rightarrow größeres Spektrometer

neu, seit 12/2002
 $\varnothing 10\text{m}$



Zusammenfassung

Atmosphärische Neutrinos

- Neutrinooszillation $P(\nu_\alpha \rightarrow \nu_\beta) = \sin^2(2\theta) \cdot \sin^2(\Delta m^2 L/4E)$
⇒ Neutrinos mischen und haben Masse !

Beschleunigernerutrinos

- atmosphärische Neutrinooszillation bestätigt
- Keine weiteren starken Evidenzen für Neutrinooszillation (LSND: $\bar{\nu}_\mu \rightarrow \bar{\nu}_e$?)

Solare Neutrinos

- Rätsel des zu geringen Flusses gelöst: Neutrinooszillation

Reaktorneutrinos

- Bestätigung der solaren Neutrinooszillation durch KamLAND (long baseline)

Aufgaben für die Zukunft:

- Absolute Neutrinomassenskala (→ KATRIN)
- Dirac- oder Majorana-Neutrinos (→ $0\nu\beta\beta$)
- Genauere Parameter der Mischungsmatrix (→ Double-Chooz, long baseline, ...)